

# The combinatorics of some exclusion model in physics

Roma  
8 July 2013

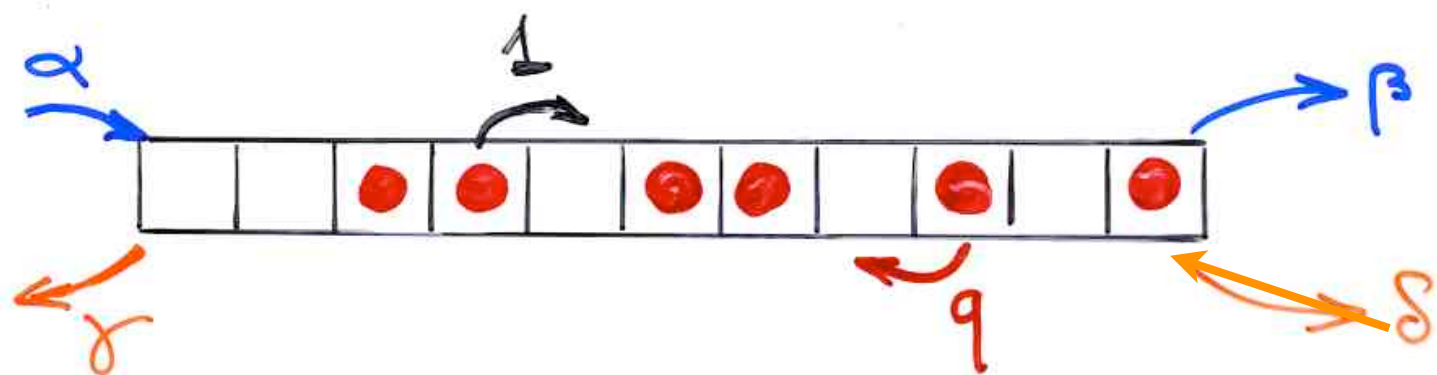
Xavier G. Viennot  
CNRS, Bordeaux, France

The PASEP algebra

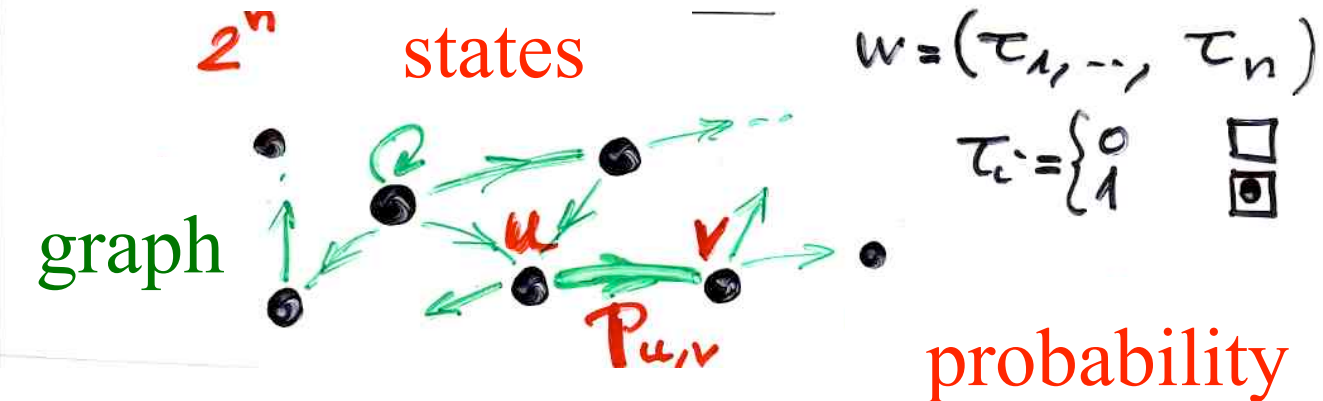
$$DE = qED + E + D$$

The PASEP

**ASEP**  
**TASEP**  
**PASEP**



# Markov chains



$S$  :

states

$$M = \left( P_{u,v} \right)_{u,v \in S}$$

probabilities matrix  
(stochastic)

$$\pi = (P_u, \dots)$$

vector (time  $t$ )

$$\pi \cdot M$$

vector (time  $t+1$ )



$$P_v^{(t+1)} = \sum_u P_u^{(t)} P_{u,v}$$

$t+1$                           time  $t$

stationary probabilities

$$\pi \cdot M = \pi$$

unicity

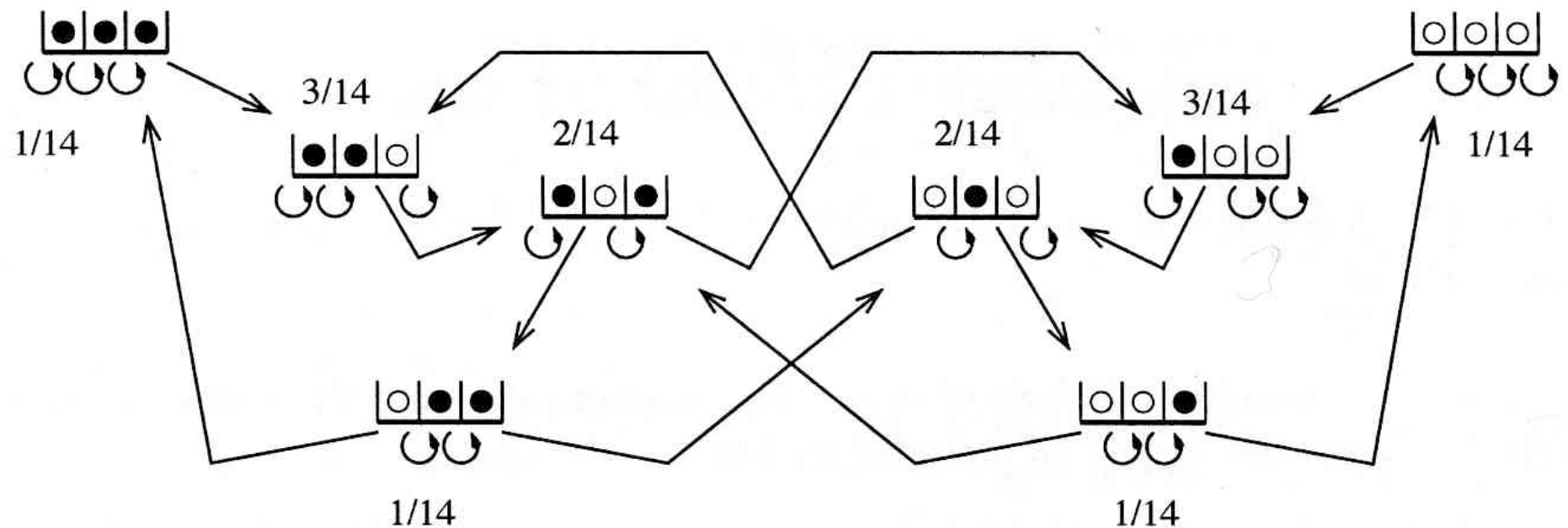
eigenvector

$M^T$  eigenvalue 1

time  $\rightarrow \infty$



$$P_v = \sum_u P_u P_{u,v}$$



non-equilibrium

statistical  
mechanics

.. relaxation → stationary state

states

$$\tau = (\tau_1, \tau_2, \dots, \tau_n)$$

$$\tau_i = \begin{cases} 1 & \text{site } i \text{ occupied} \\ 0 & \text{site } i \text{ empty} \end{cases}$$

unique  
stationary  
state

$$\frac{d}{dt} P_n(\tau_1, \dots, \tau_n) = 0$$

Derrida, Evans, Hakim, Pasquier (1993)

## boundary induced phase transitions

molecular diffusion

linear array of enzymes

biopolymers

traffic flow

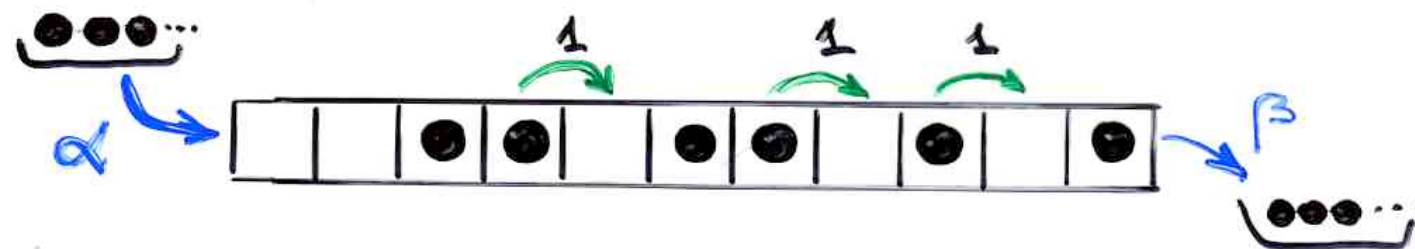
-----

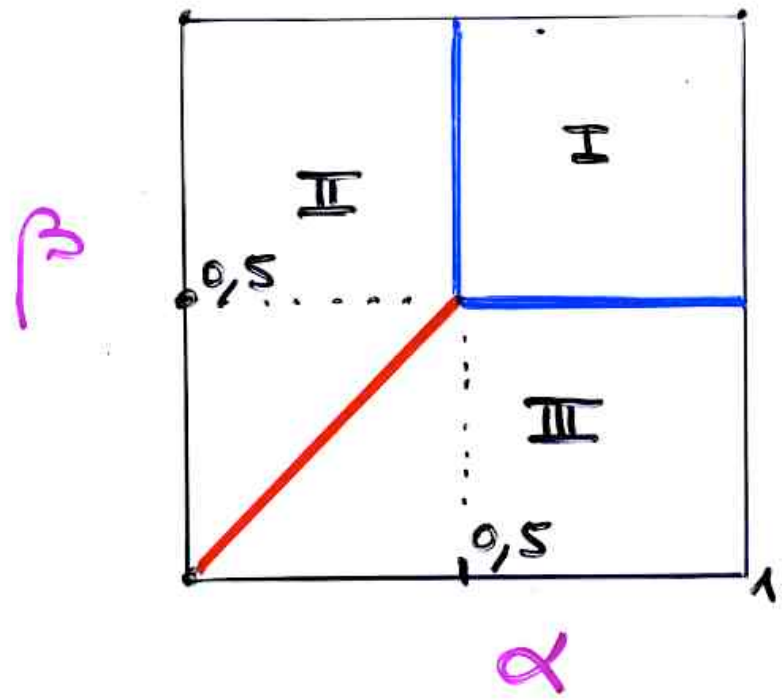
formation of shocks

---

# TASEP

"totally asymmetric exclusion process"





$n \rightarrow \infty$

$\rho = \langle \tau_i \rangle =$  *taux moyen d'occupation*  
 i.e. loin des bords

- |       |                    |
|-------|--------------------|
| (I)   | $\rho = 1/2$       |
| (II)  | $\rho = \alpha$    |
| (III) | $\rho = 1 - \beta$ |

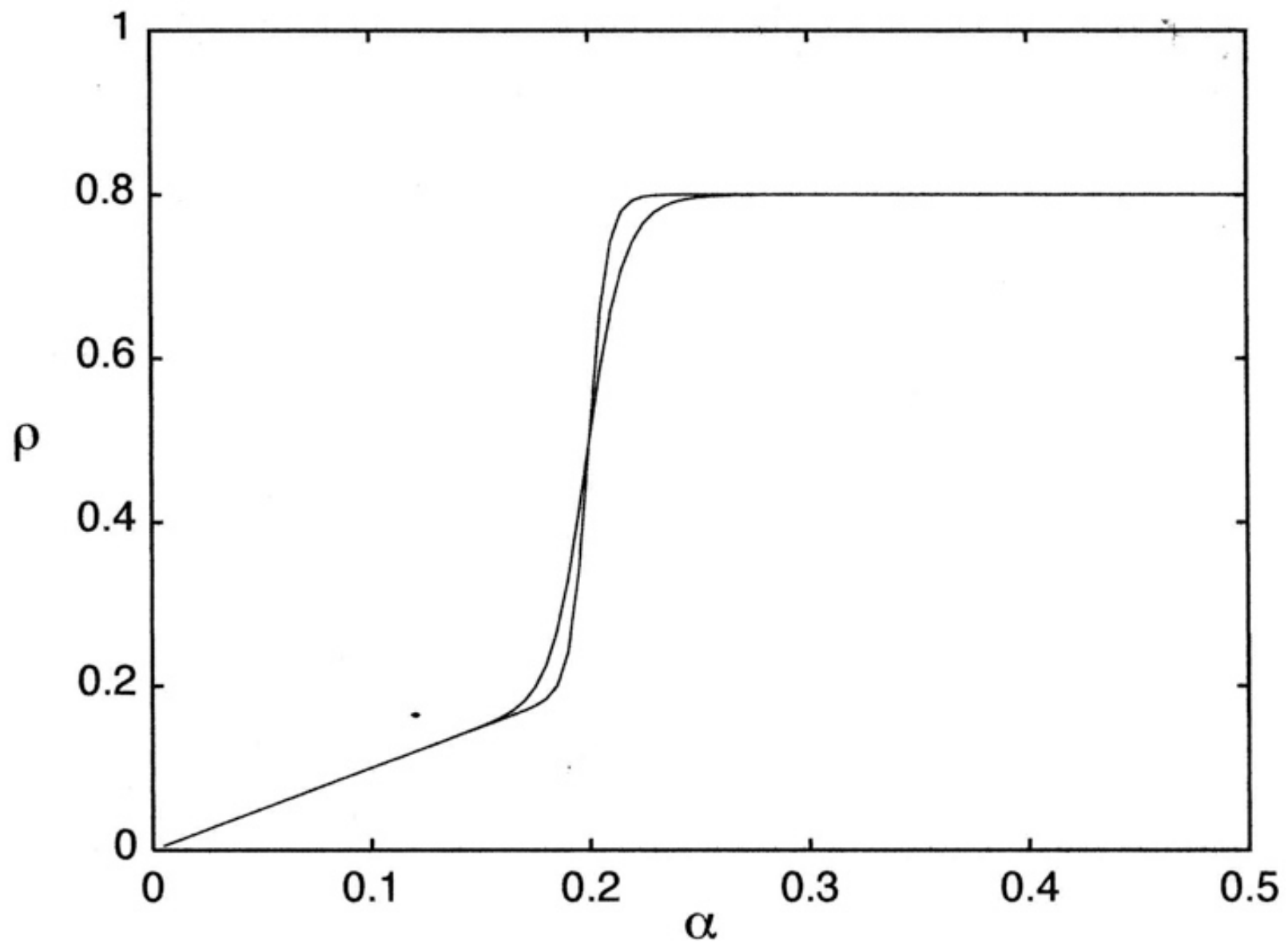
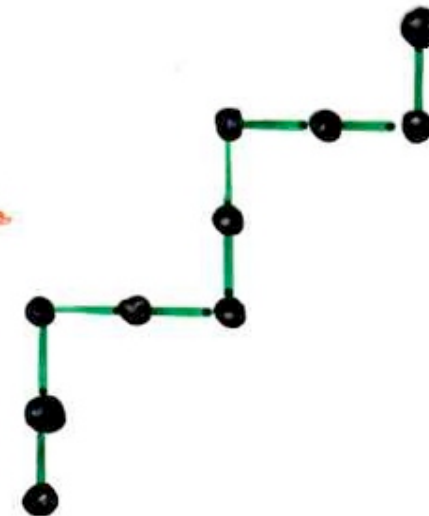
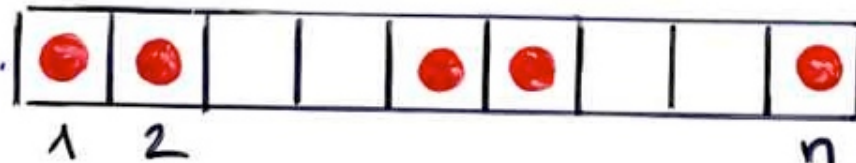


Figure 2: The average occupation  $\rho = \langle \tau_{(N+1)/2} \rangle$  of the central site versus  $\alpha$  for  $N = 61$  and  $N = 121$  when  $\beta = .2$ .

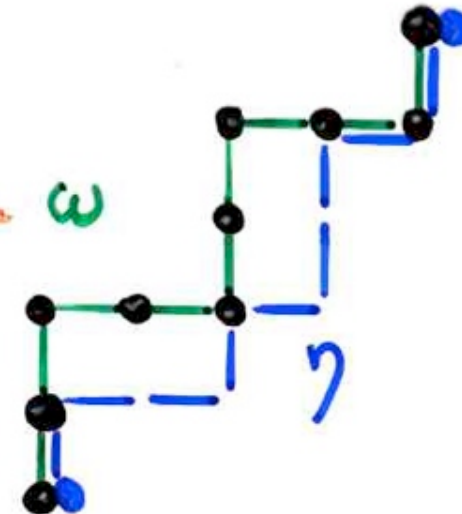
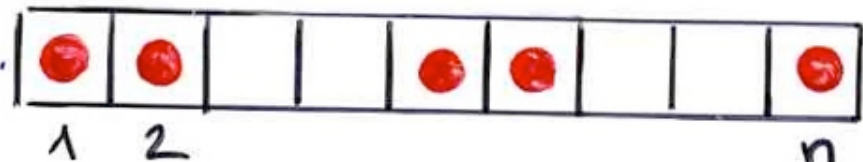
state  $s = (\tau_1, \dots, \tau_n)$



$$P_n(s) =$$

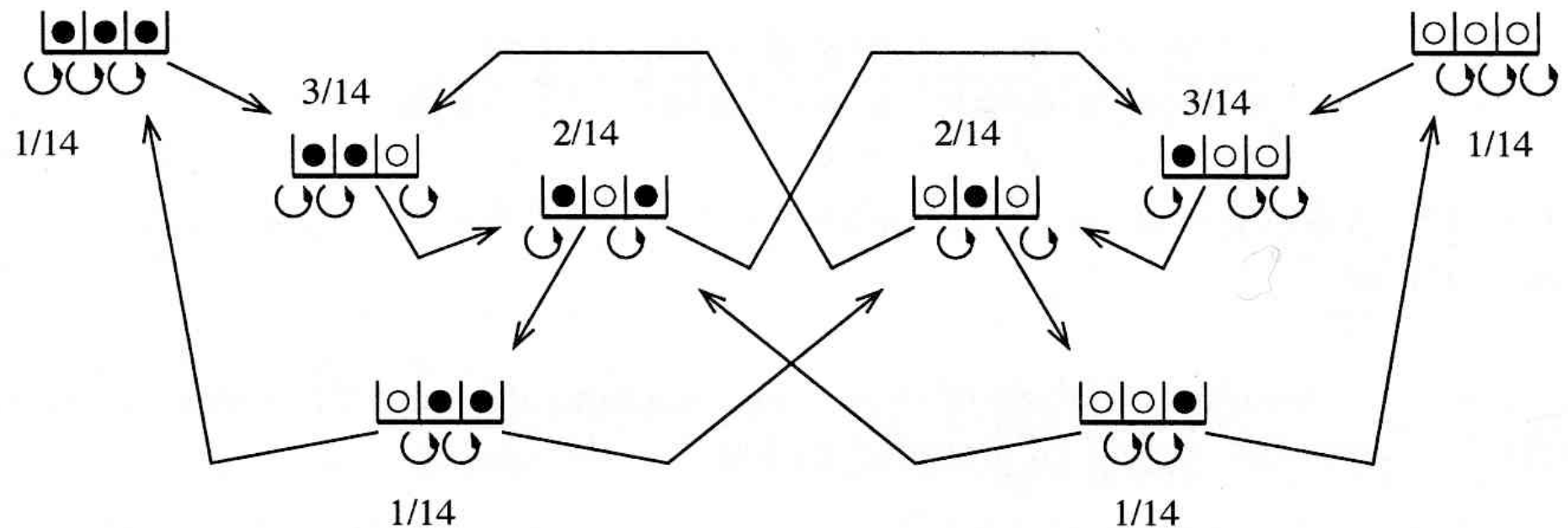
Shapiro, Zeilberger, 1982

state  $\omega = (\tau_1, \dots, \tau_n)$

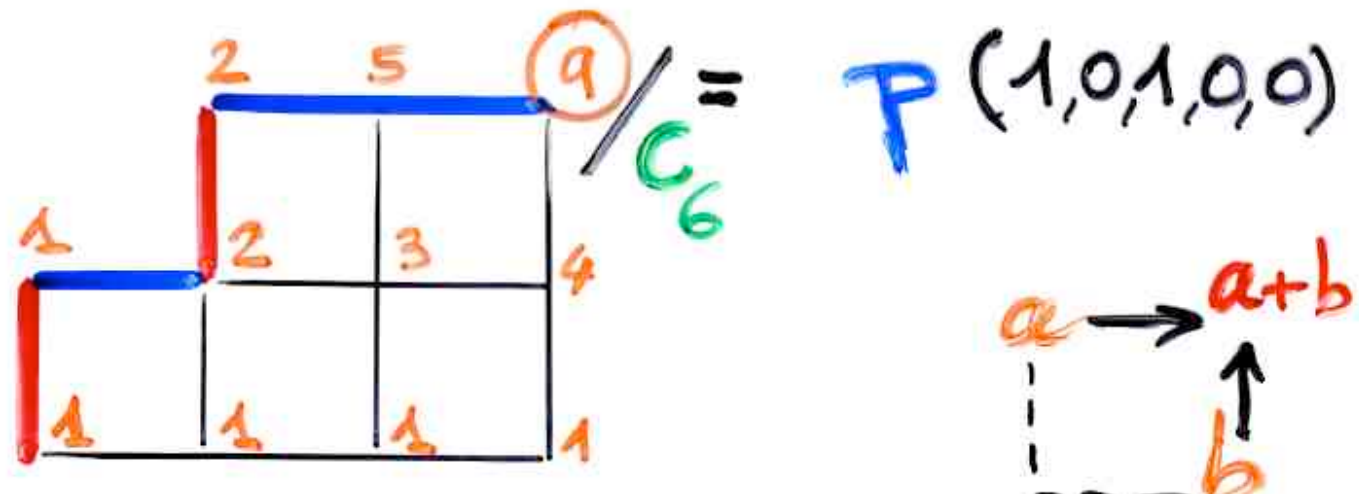


$$P_n(\omega) = \frac{1}{C_{n+1}} \left( \text{number of paths } \gamma \text{ below the path associated to } \omega \right)$$

Shapiro, Zeilberger, 1982



$$\Delta = (1, 0, 1, 0, 0) \quad \lambda = (1, 2, 2)$$



# Combinatorics of the PASEP

## TASEP

Brak, Essam (2003), Duchi, Schaeffer, (2004),  
Angel (2005), XGV, (2007)

## (P) ASEP

Brak, Corteel, Essam, Parviainen, Rechnitzer (2006)  
Corteel, Williams (2006) (2008) (2009) XGV, (2008)  
Corteel, Stanton, Stanley, Williams (2010)

Derrida, ...

Mallick, .... Golinelli, Mallick (2006)


 Orthogonal polynomials  
 Sasamoto (1999)  
 Blythe, Evans, Colaiori, Eosler (2000)

$\alpha, \beta, q$        $\gamma = \delta = 1$   
 q-Hermite polynomial

$$D = \frac{1}{1-q} + \frac{1}{\sqrt{1-q}} \hat{a}$$

$$E = \frac{1}{1-q} + \frac{1}{\sqrt{1-q}} \hat{a}^+$$

$$\hat{a} \hat{a}^+ - q \hat{a}^+ \hat{a} = 1$$


 Uchiyama, Sasamoto, Wadati (2003)  
 $\alpha, \beta, \gamma, \delta, q$

Askey-Wilson polynomials

The Matrix Ansatz

Derrida, Evans, Hakim, Pasquier 1993

$$P_n(\tau_1, \dots, \tau_n) = f_n(\tau_1, \dots, \tau_n) / Z_n$$

$$Z_n = \sum_{\tau} f_n(\tau_1, \dots, \tau_n)$$

partition  
function

Derrida, Evans, Hakim, Pasquier (1993)

"matrix ansatz"

$D$   $E$  matrices,

$V$  column vector,  $W$  row vector

$$\left\{ \begin{array}{l} DE = qED + D + E \\ (\beta D - \gamma E)|V\rangle = |V\rangle \\ \langle W|(\alpha E - \gamma D) = \langle W| \end{array} \right.$$

Then

$$f_n(\tau_1, \dots, \tau_n)$$

Derrida, Evans, Hakim, Pasquier (1993)

"matrix ansatz"

$D$   $E$  matrices,

✓ column vector,

$w$

row vector

$q=0$

TASEP

$$\left\{ \begin{array}{l} DE = \boxed{\quad} + D + E \\ (\beta D - \boxed{\quad}) |V\rangle = |V\rangle \\ \langle W| (\alpha E - \boxed{\quad}) = \langle W| \end{array} \right.$$

Then

$$f_n(\tau_1, \dots, \tau_n) = \langle W | \prod_{i=1}^n (\tau_i D + (1-\tau_i) E) | V \rangle$$

examples:

TASEP

$$\left\{ \begin{array}{l} DE = D + E \\ D|V\rangle = \beta |V\rangle \\ \langle W|E = \alpha \langle W| \end{array} \right.$$

examples:

TASEP

$$D = \begin{bmatrix} 0 & \bar{\beta} & 0 & \cdots \\ \bar{\beta} & 0 & -1 & \cdots \\ 0 & -1 & 0 & \cdots \\ \vdots & \vdots & \vdots & \ddots \end{bmatrix}$$

(infinite matrices)

$$E = \begin{bmatrix} \bar{\alpha}^1 & 0 & 0 & \cdots \\ \bar{\alpha}^2 & \bar{\beta} & 0 & \cdots \\ \bar{\alpha}^3 & \bar{\beta}^2 & \bar{\beta} & \cdots \\ \vdots & \vdots & \vdots & \ddots \end{bmatrix}$$

$$\bar{\beta} = \frac{1}{\beta}, \quad \bar{\alpha} = \frac{1}{\alpha}$$

$$\langle w | = (1, 0, -1, -)^\top$$

$$| v \rangle = (1, 1, -1, -)^\top$$

$$D = \begin{bmatrix} 0 & 1 & 0 & \cdots \\ 1 & 0 & -1 & \cdots \\ 0 & -1 & 0 & \cdots \\ \vdots & \vdots & \vdots & \ddots \end{bmatrix}$$

(infinite matrices)

$$E = \begin{bmatrix} \bar{\beta} & 1 & 0 & \cdots \\ \bar{\beta} & 0 & 1 & \cdots \\ \vdots & \vdots & \vdots & \ddots \end{bmatrix}$$

$$\langle w | = (1, 0, \dots)^\top$$

$$| v \rangle = (1, \bar{\alpha}, \bar{\alpha}^2, \dots)^\top$$

examples:

TASEP

$$D = \begin{bmatrix} \bar{\beta} & \kappa & & \\ & 1 & & \\ & & 1 & \\ & & & 1 \end{bmatrix} \quad E = \begin{bmatrix} \bar{\alpha} & \bar{\beta} & 0 & \dots & 0 \\ \kappa & 1 & & & \\ & 0 & 1 & & \\ & & 0 & 1 & \\ & & & 0 & 1 \end{bmatrix}$$

(infinite matrices)

$$\langle w | = (1, 0, \dots) \quad | v \rangle = (1, 0, \dots)$$

$$\bar{\alpha} = \frac{1}{\alpha}$$

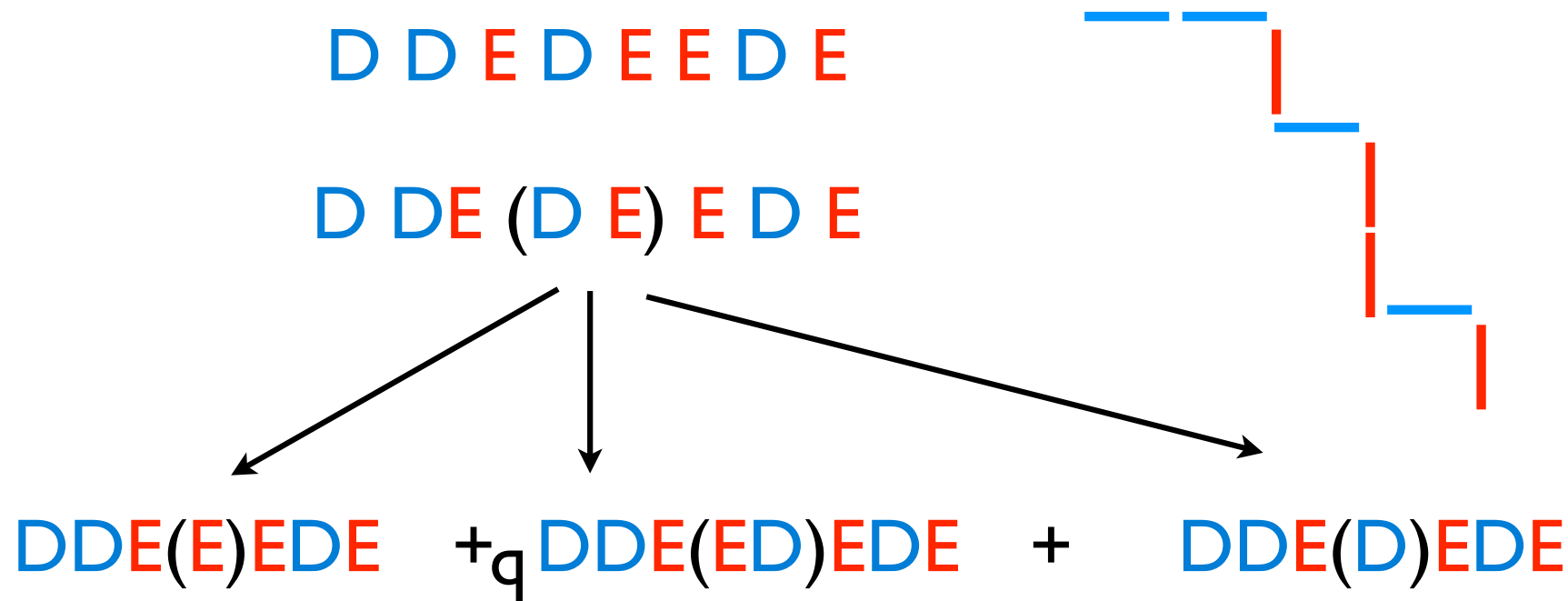
$$\bar{\beta} = \frac{1}{\beta}$$

$$\kappa^2 = \bar{\alpha} + \bar{\beta} - \bar{\alpha}\bar{\beta}$$

The PASEP algebra

$$DE = qED + E + D$$

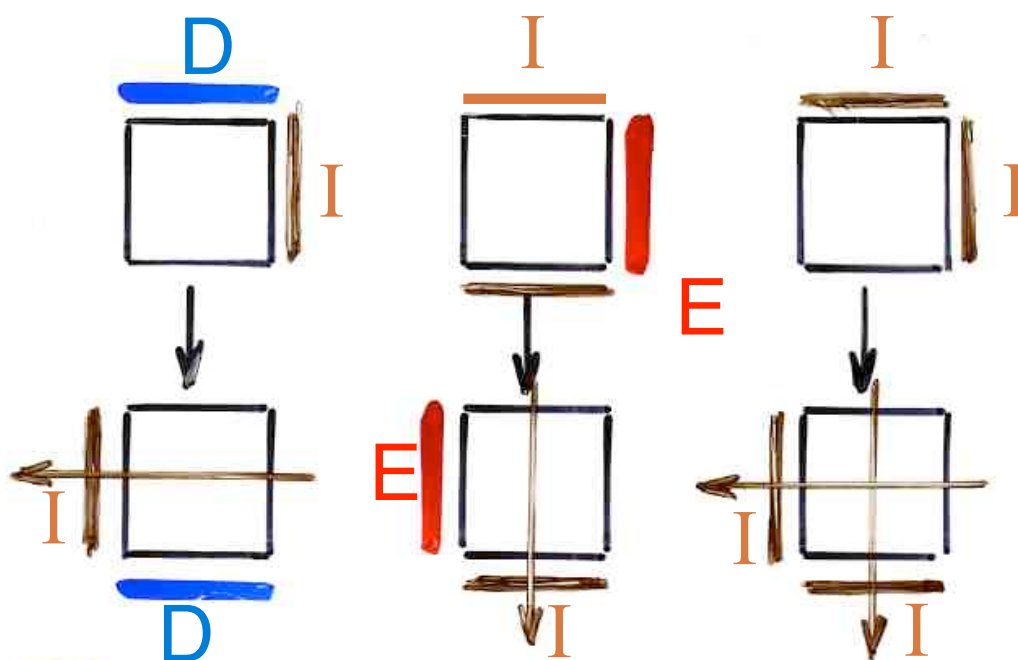
$$w = \sum_{i,j \geq 0} c_{i,j} E^i D^j$$



Proof: "planarization" of the rewriting rules

$$\boxed{D} \mid E \rightarrow q \boxed{E} \mid \boxed{\cancel{X}} + E \mid \boxed{I} + I \mid \boxed{D}$$

$\boxed{I}$  identity

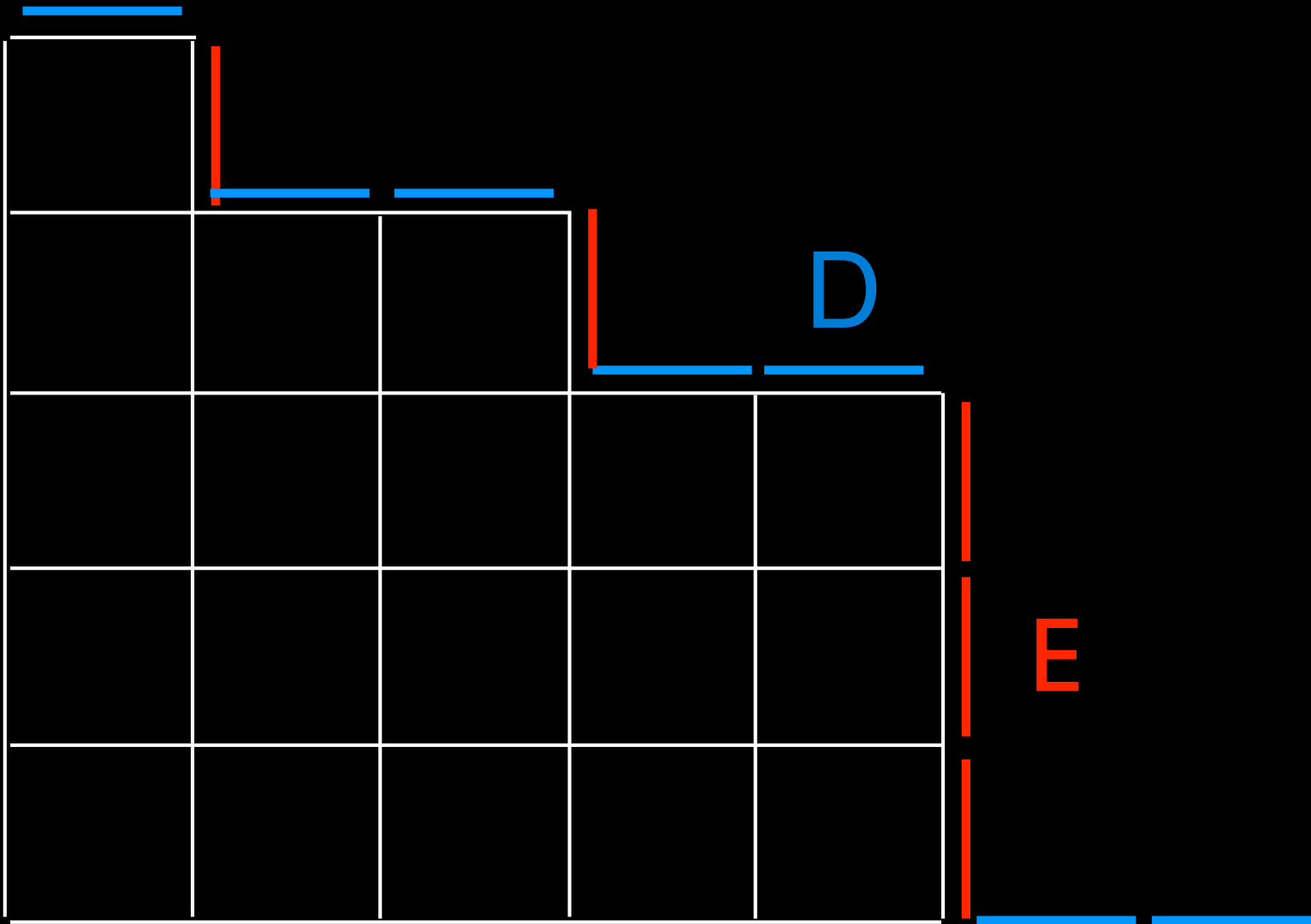


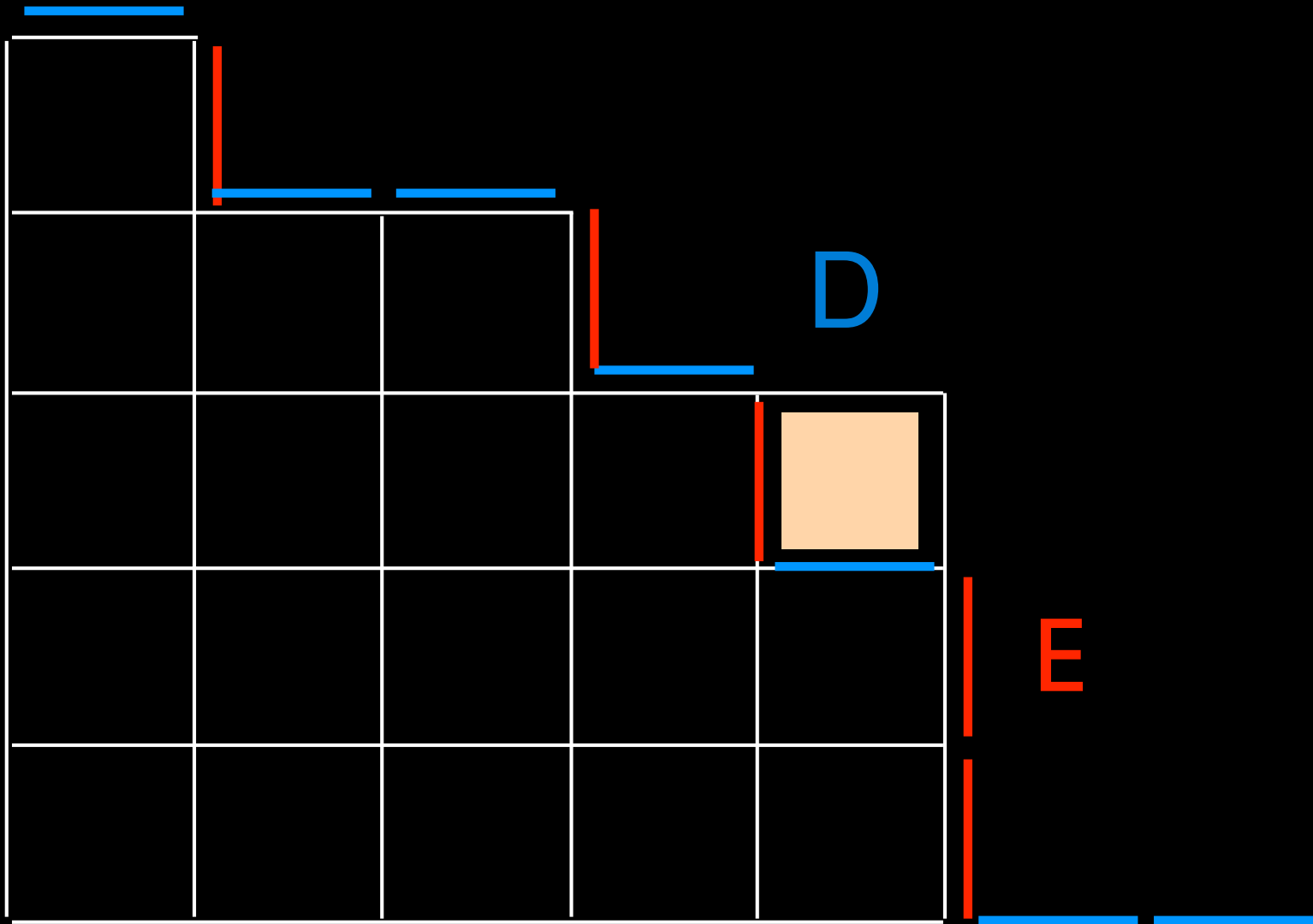
$$DE = qED + EI_h + I_v D$$

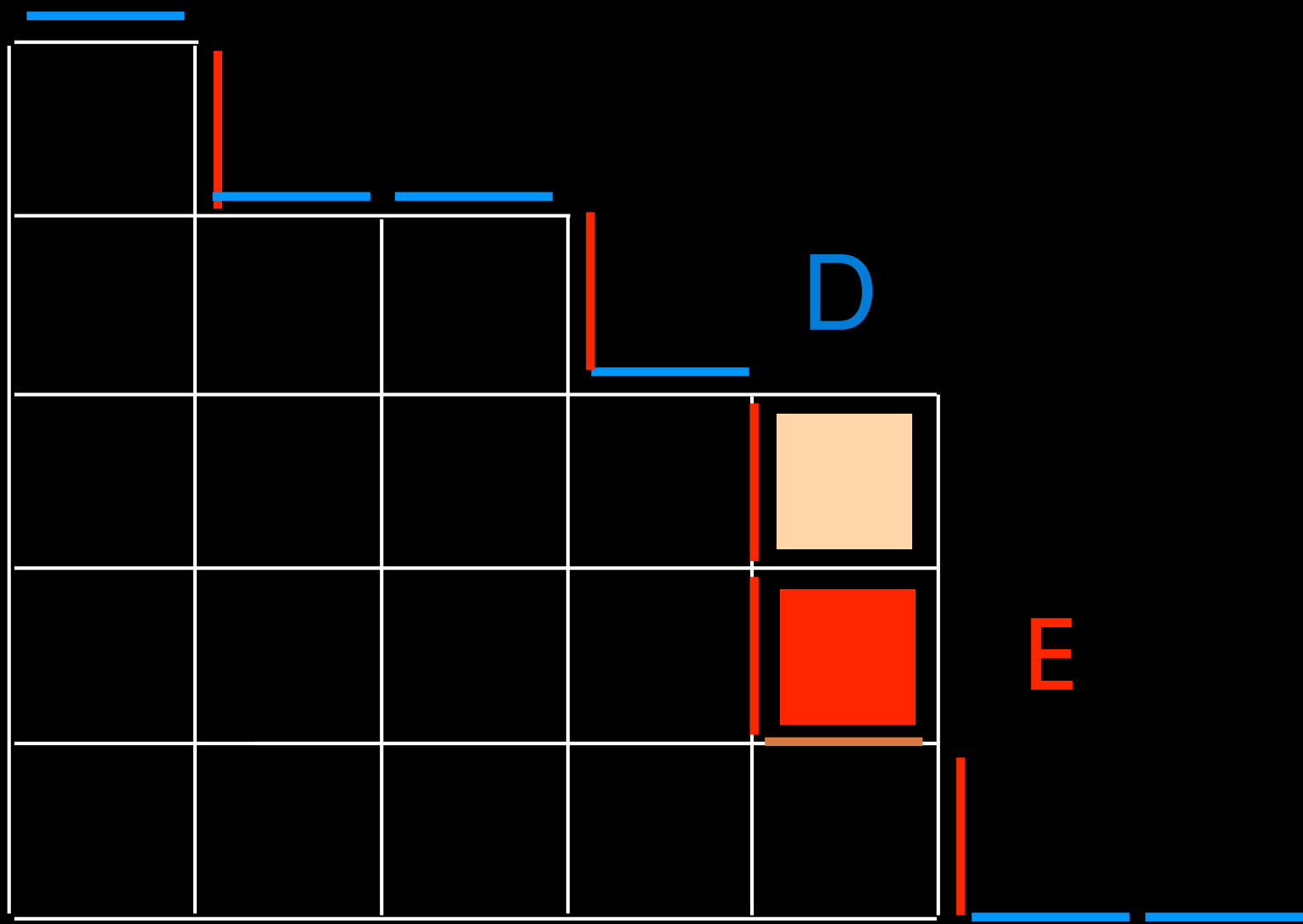
$$DI_v = I_v D$$

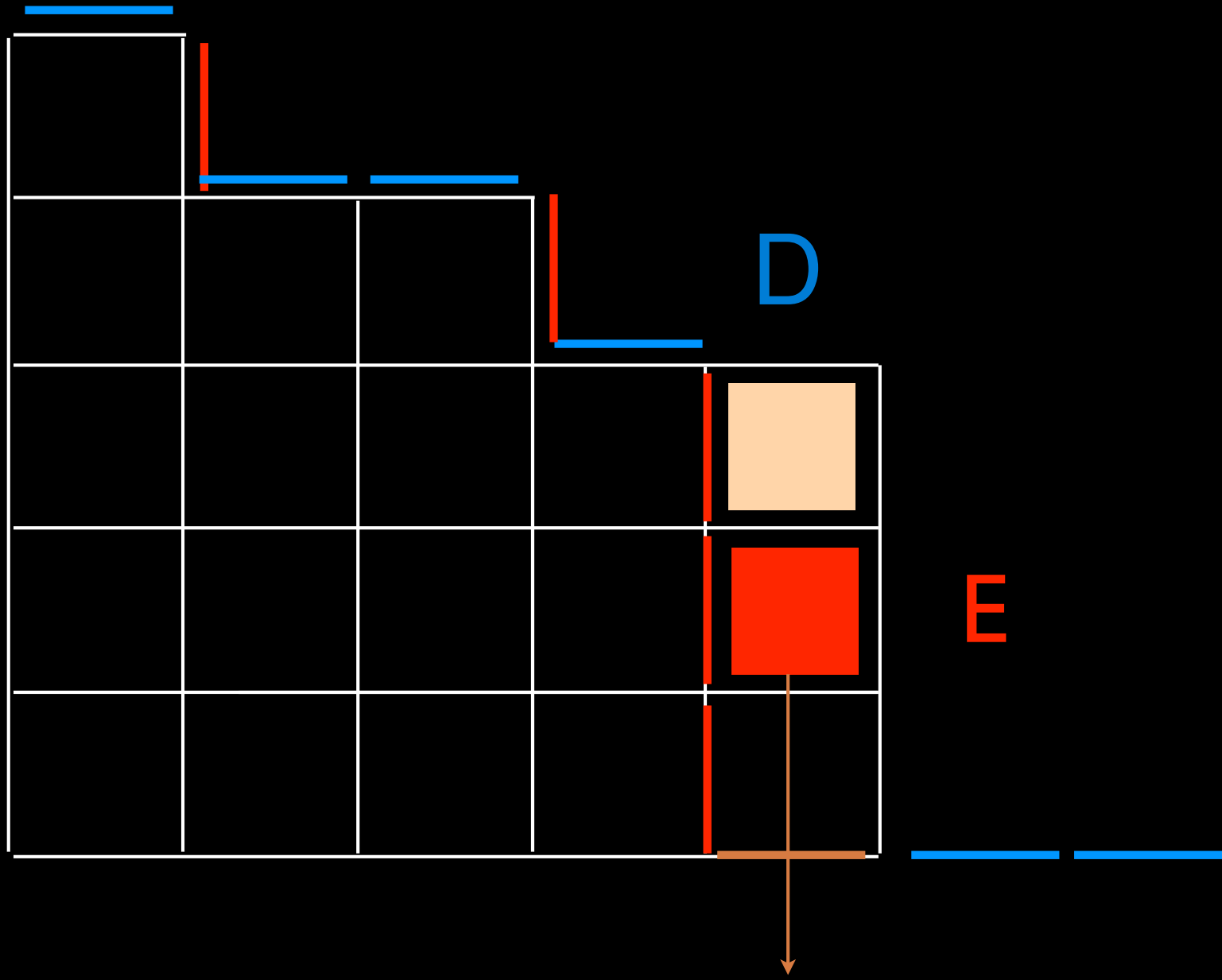
$$I_h E = EI_h$$

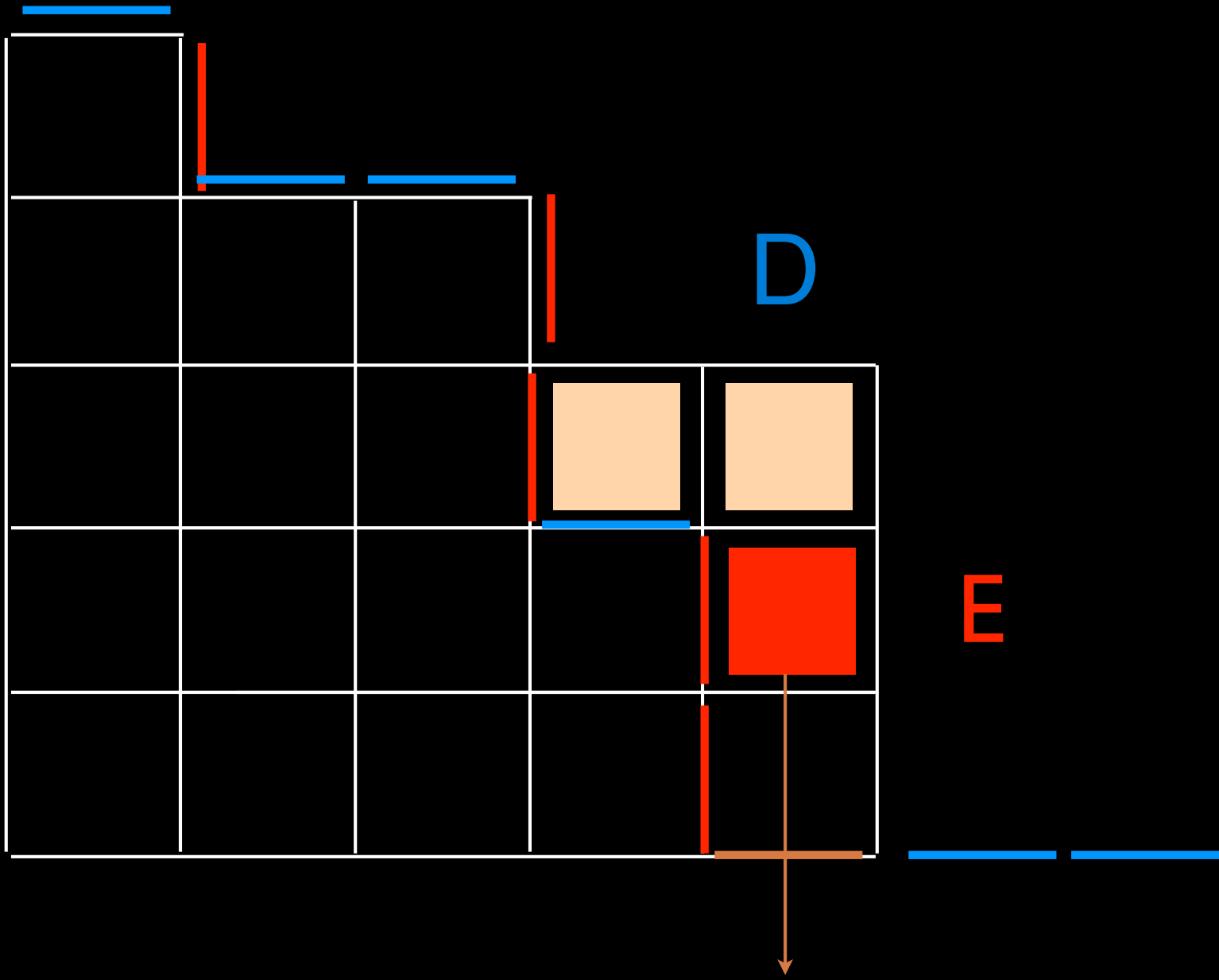
$$I_h I_v = I_v I_h$$

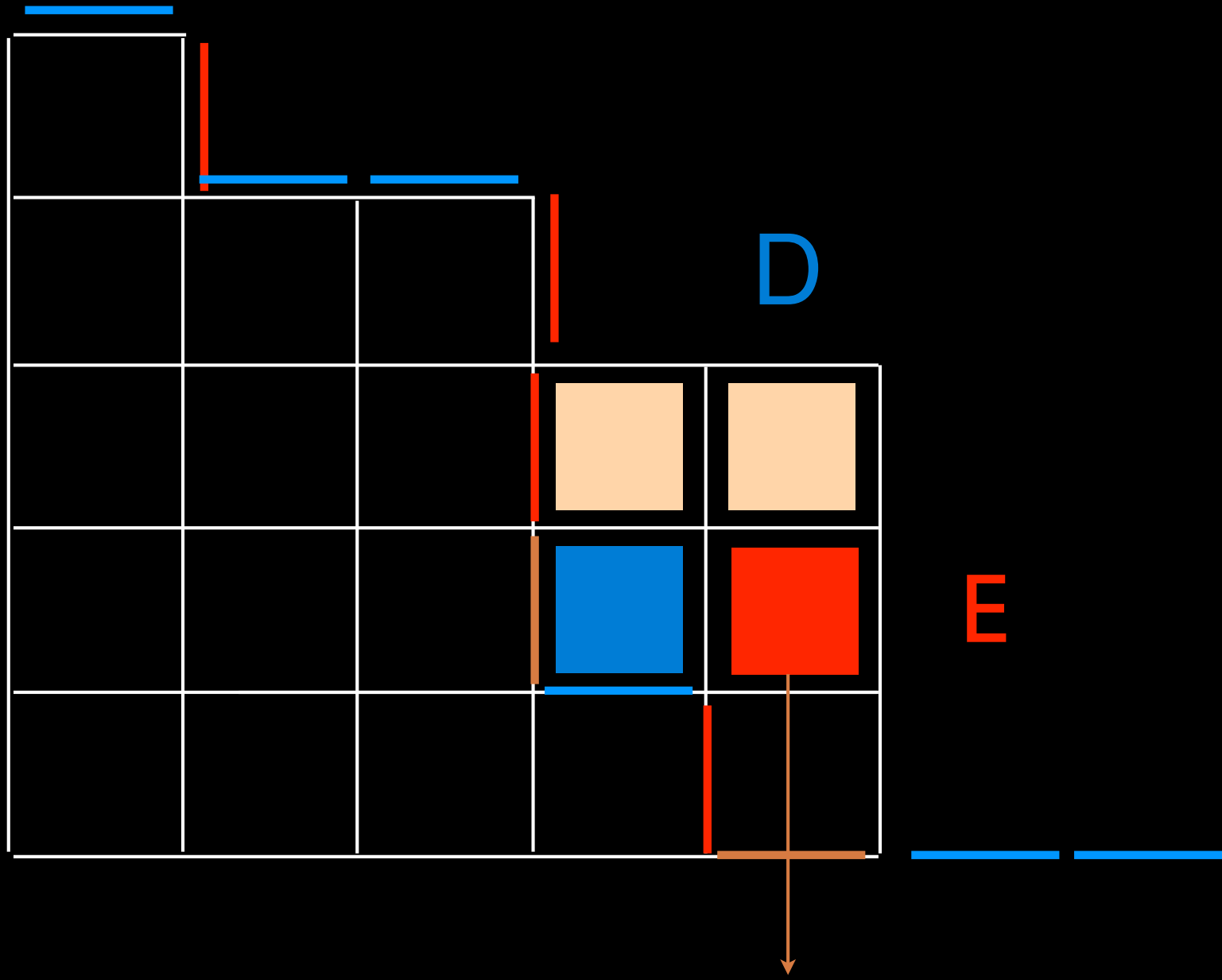


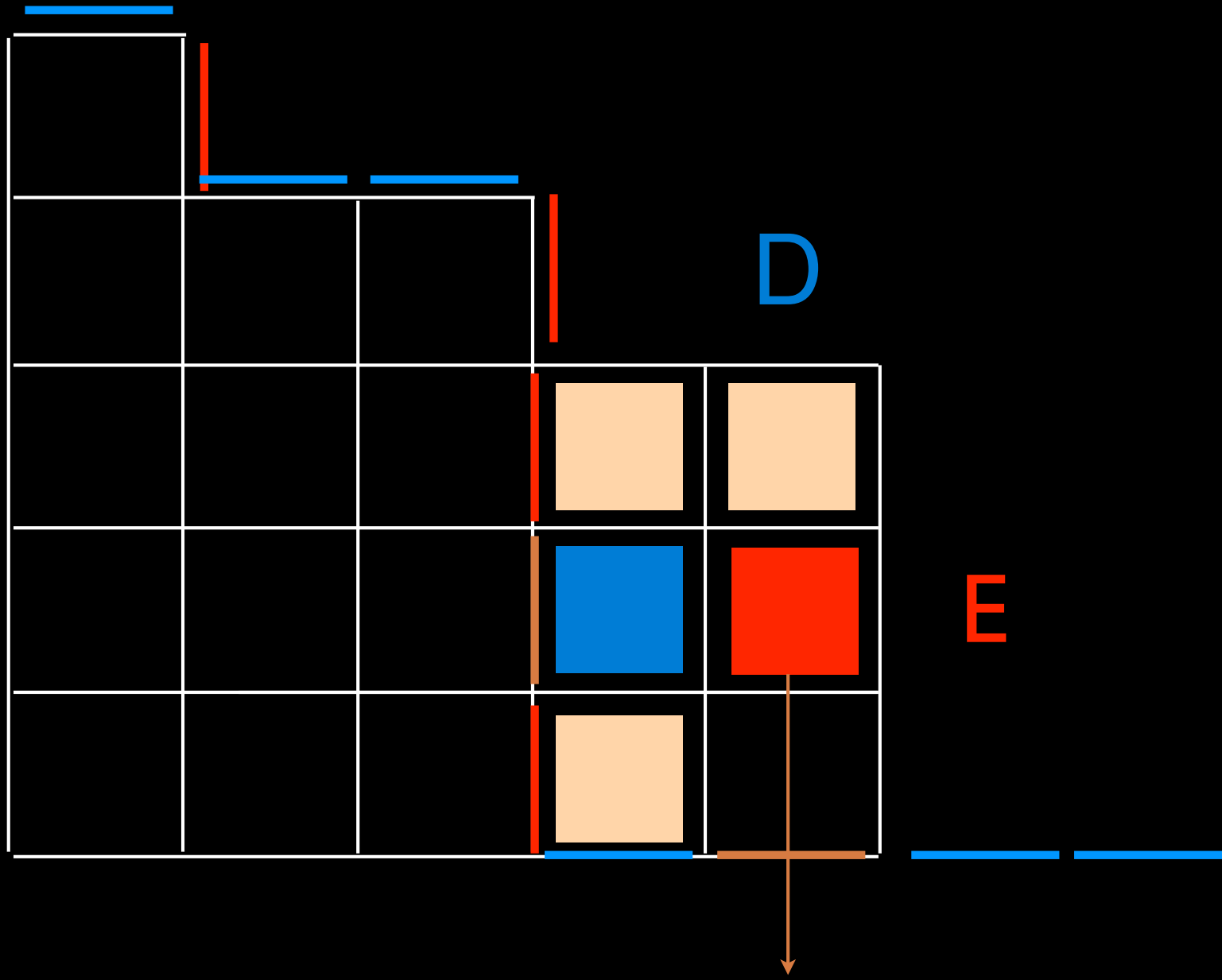


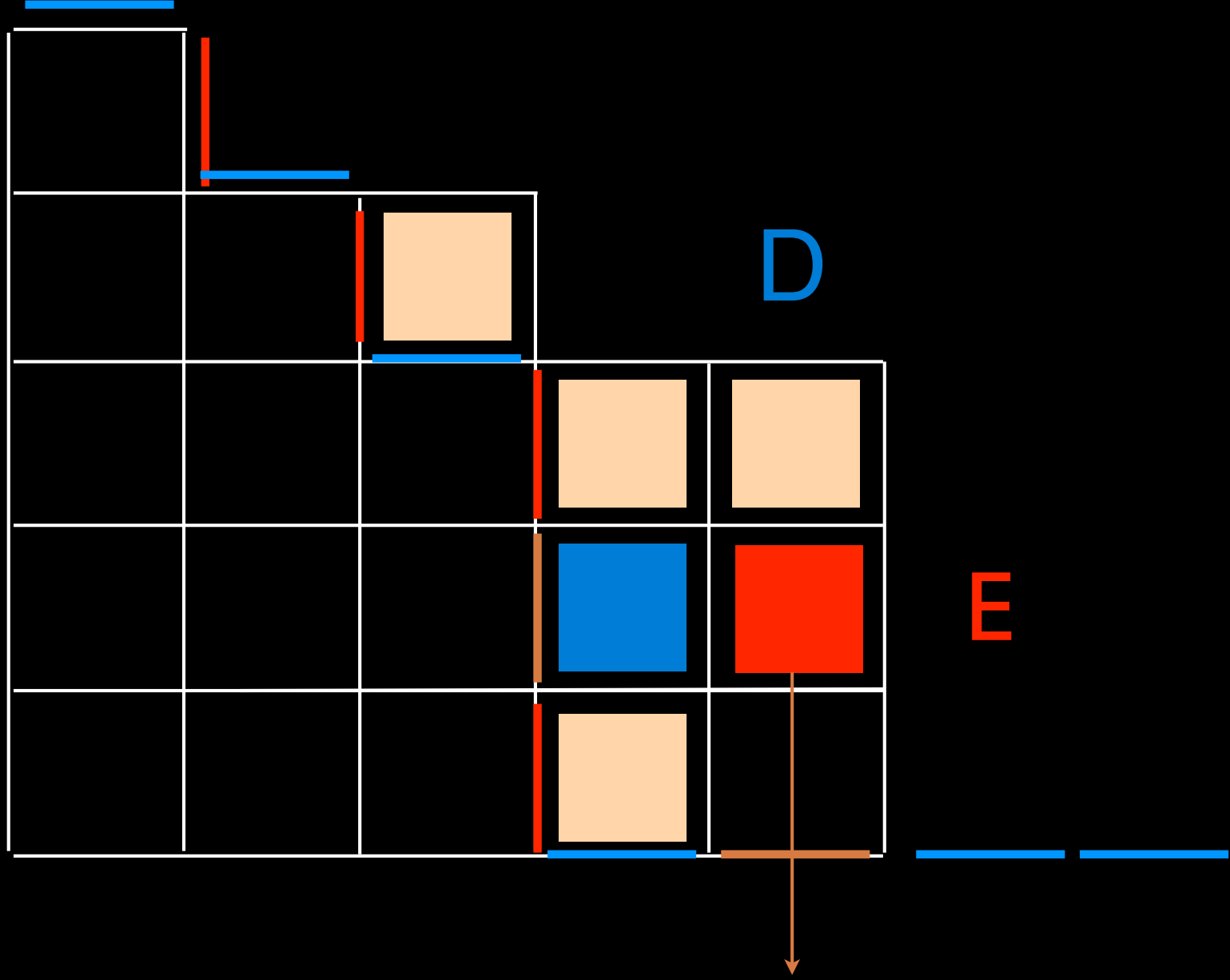


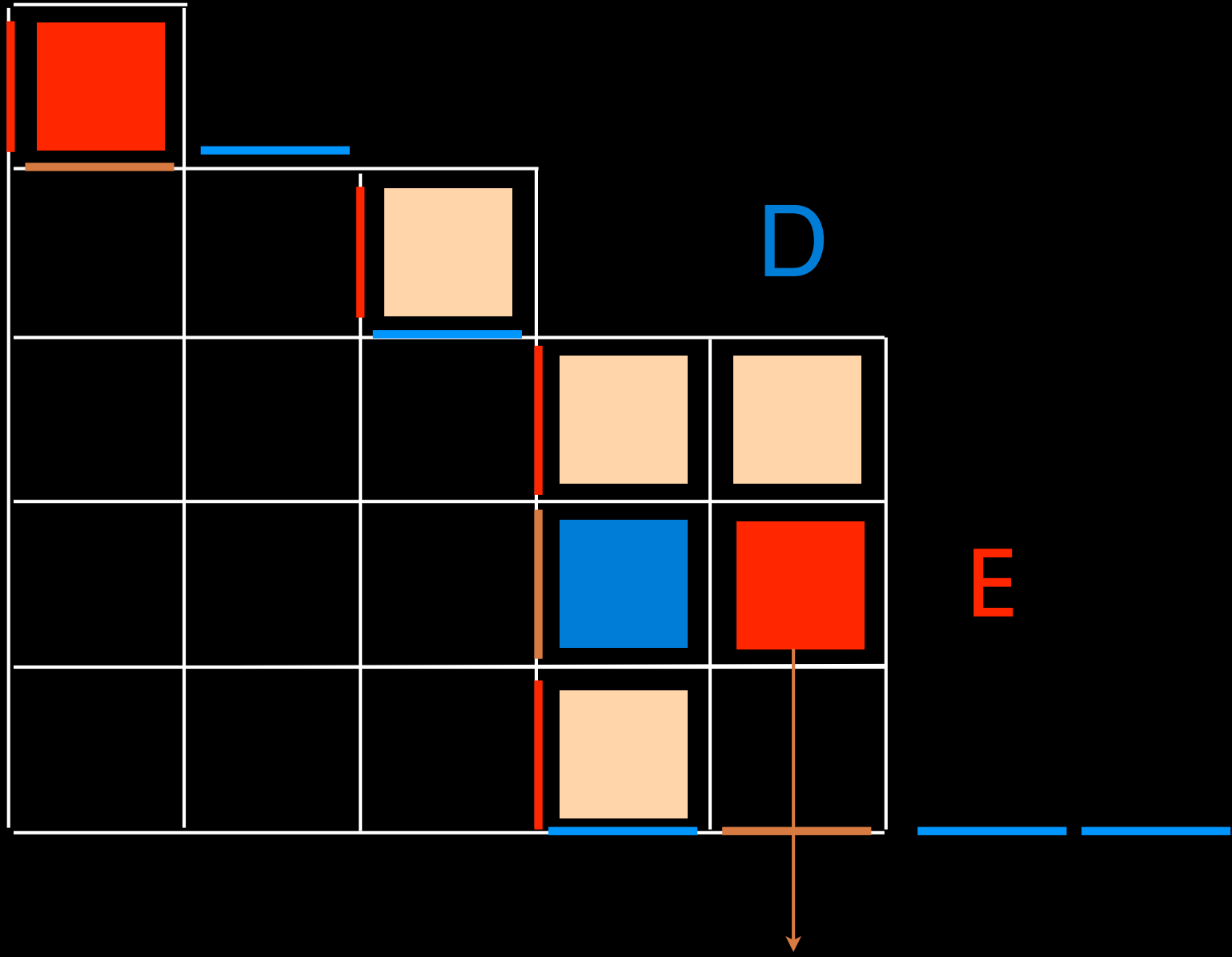


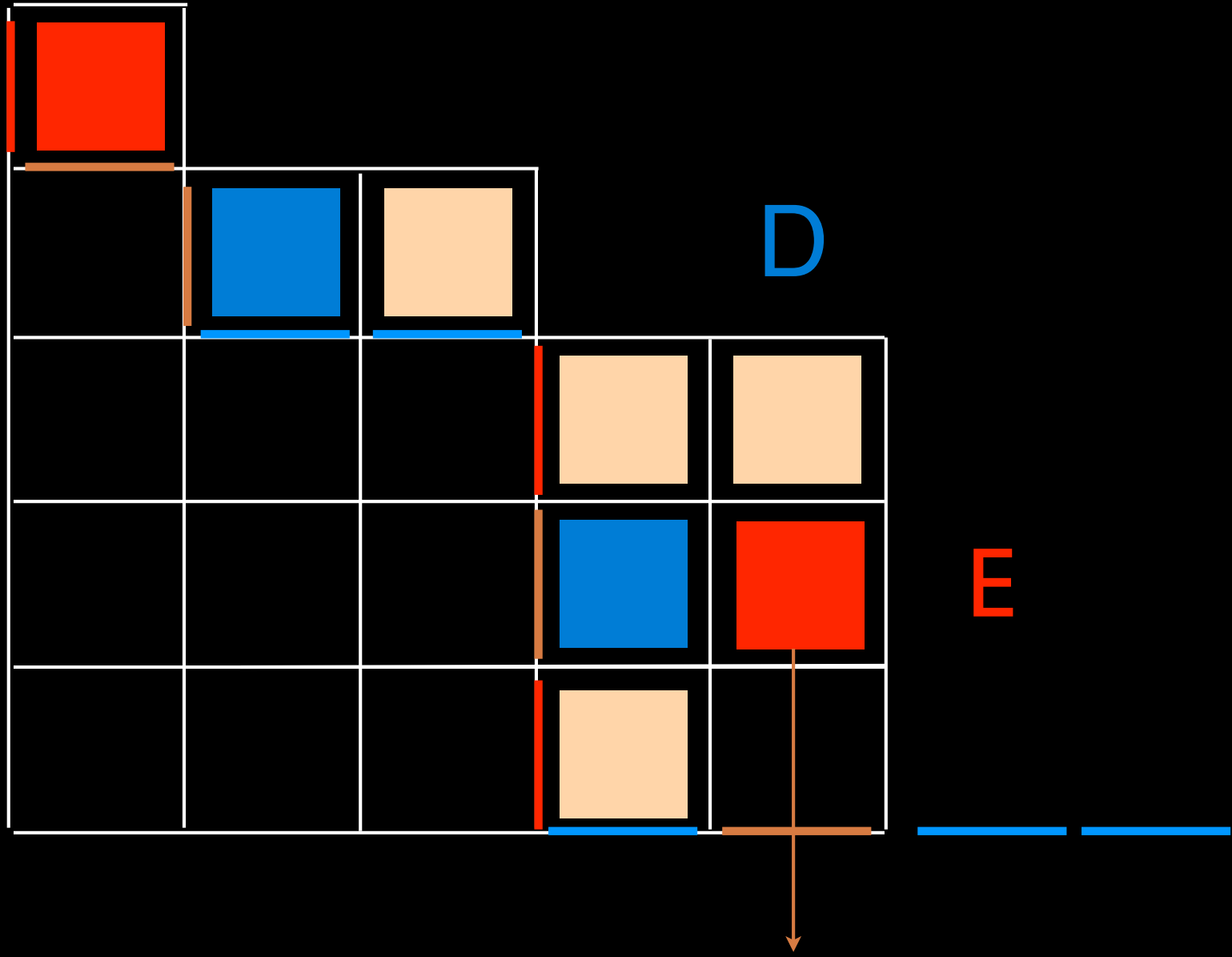


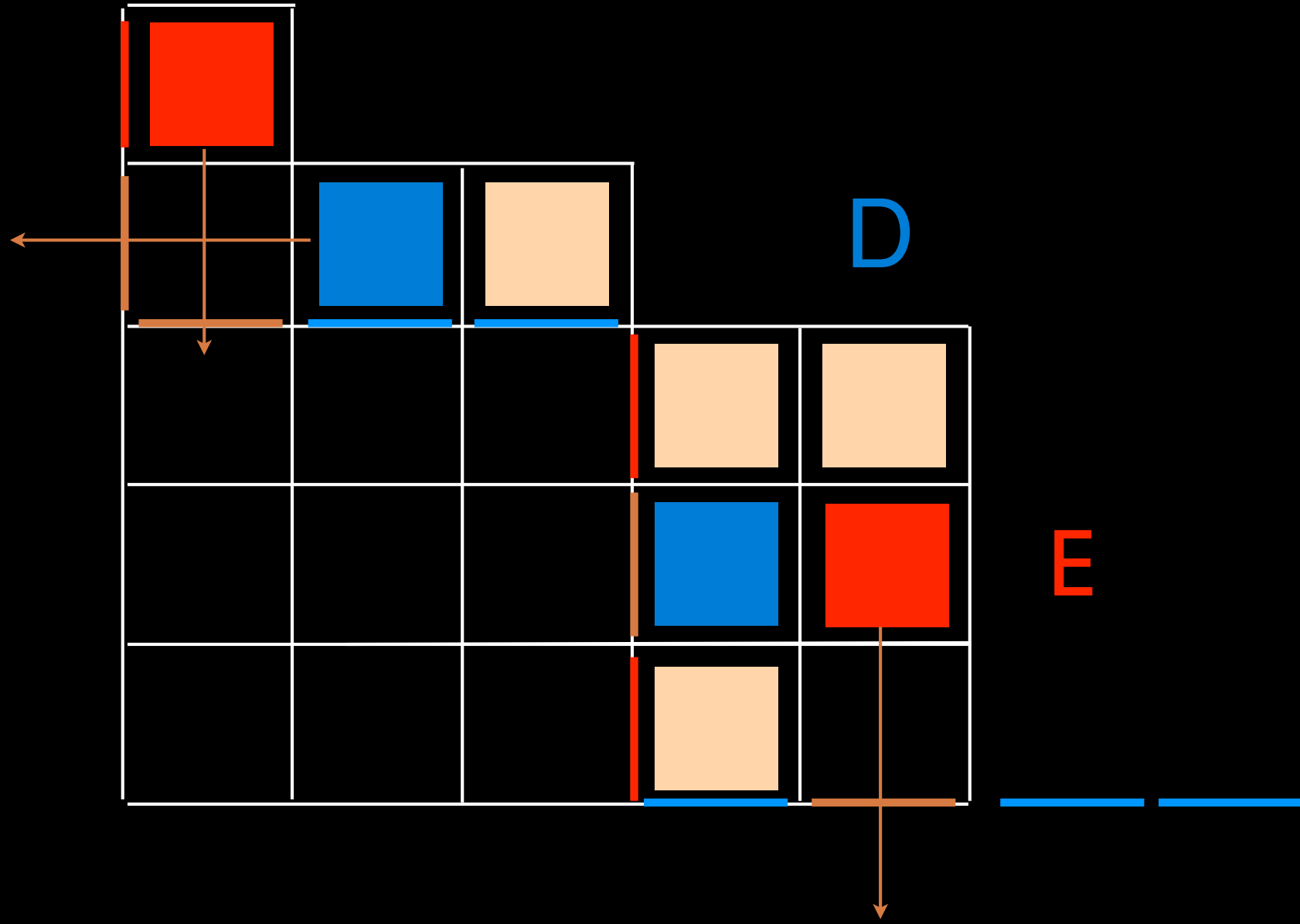


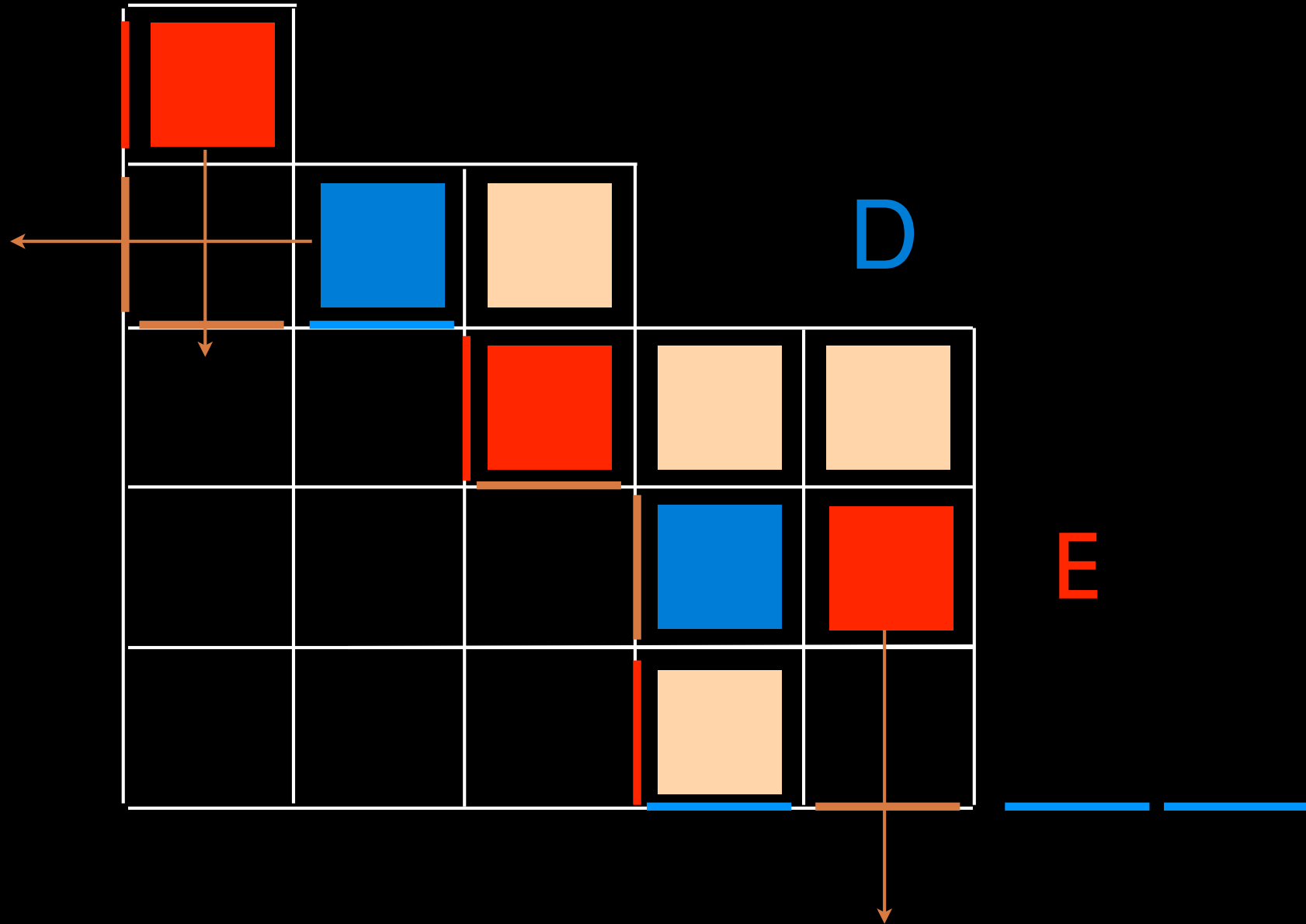


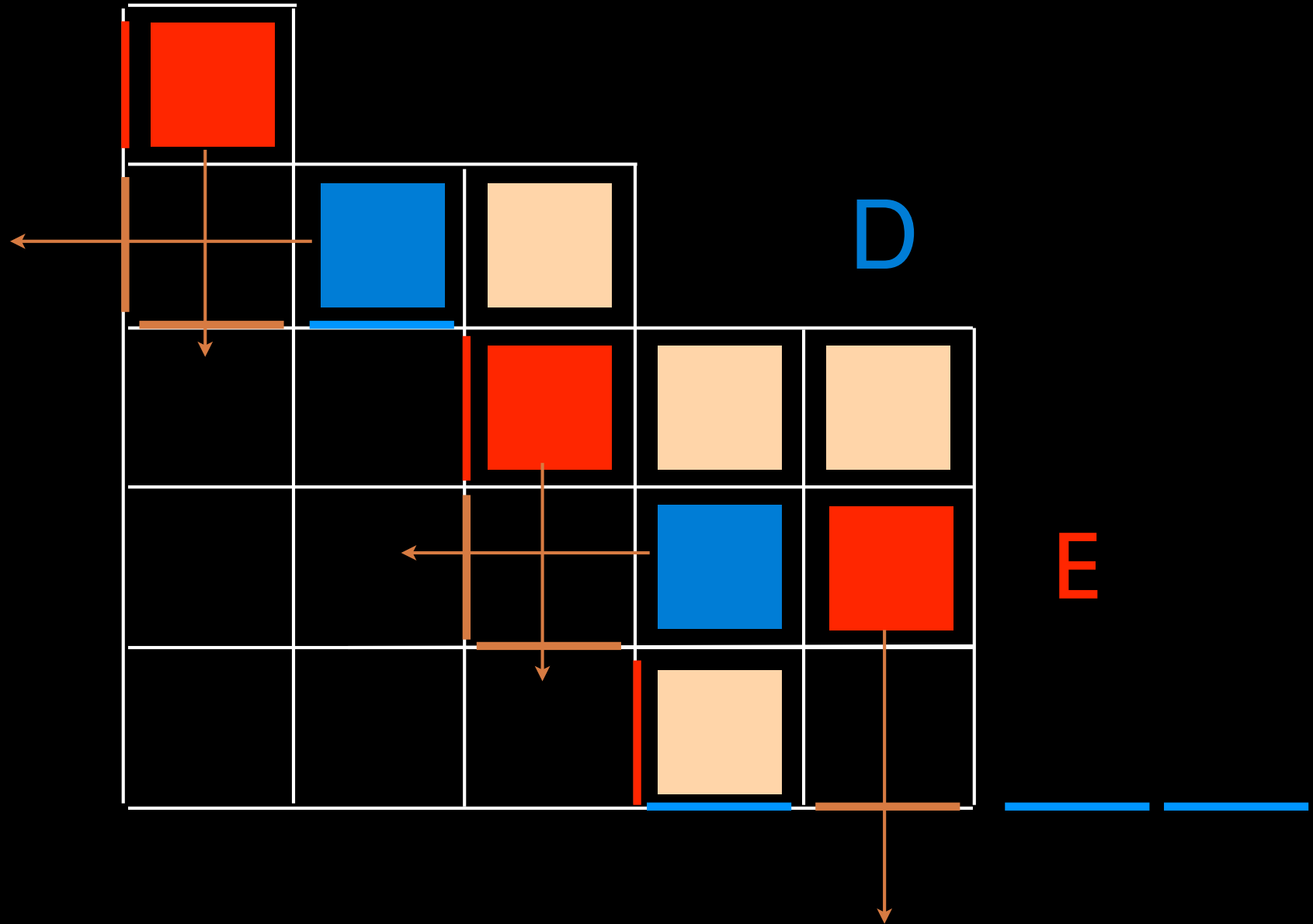


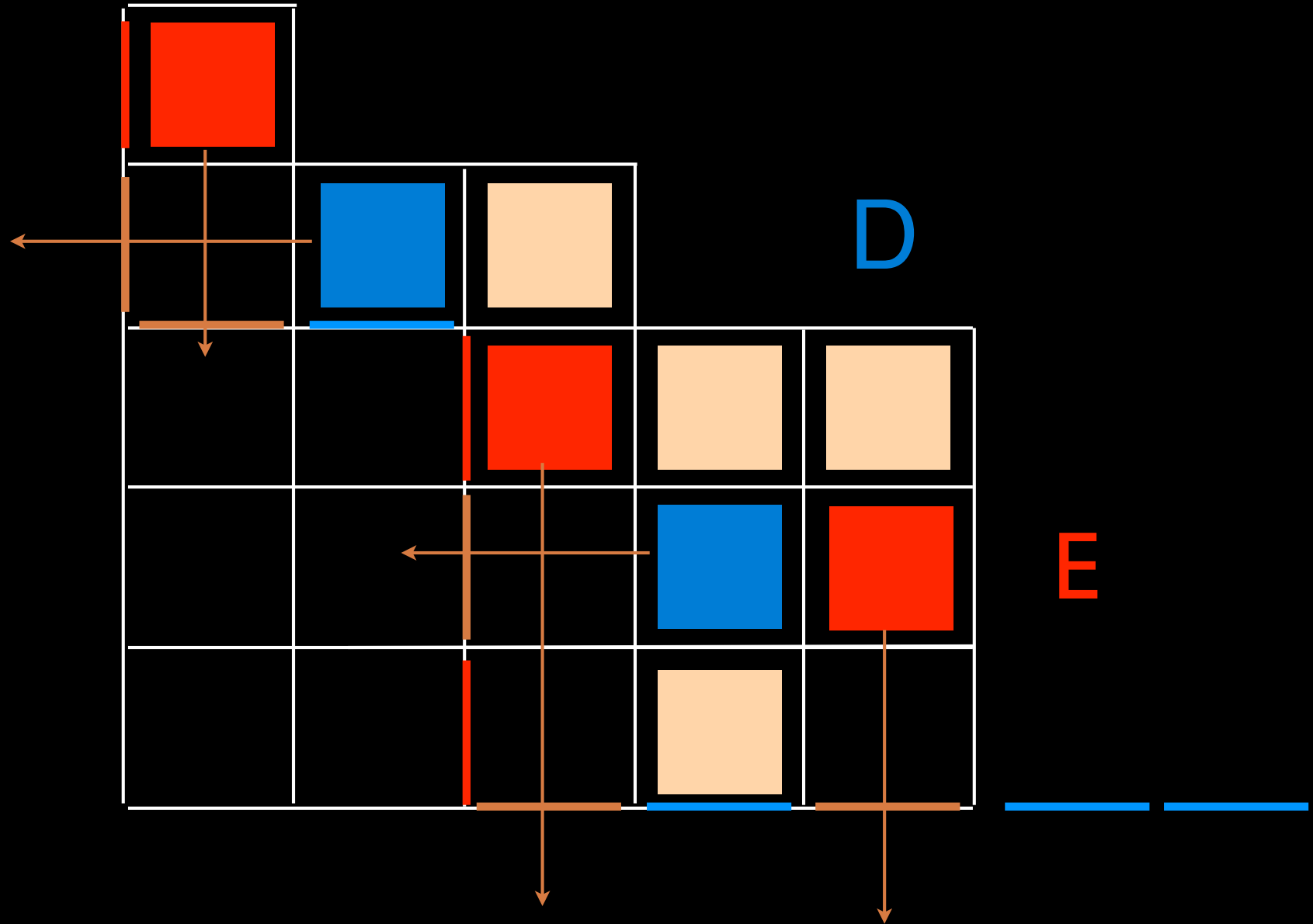


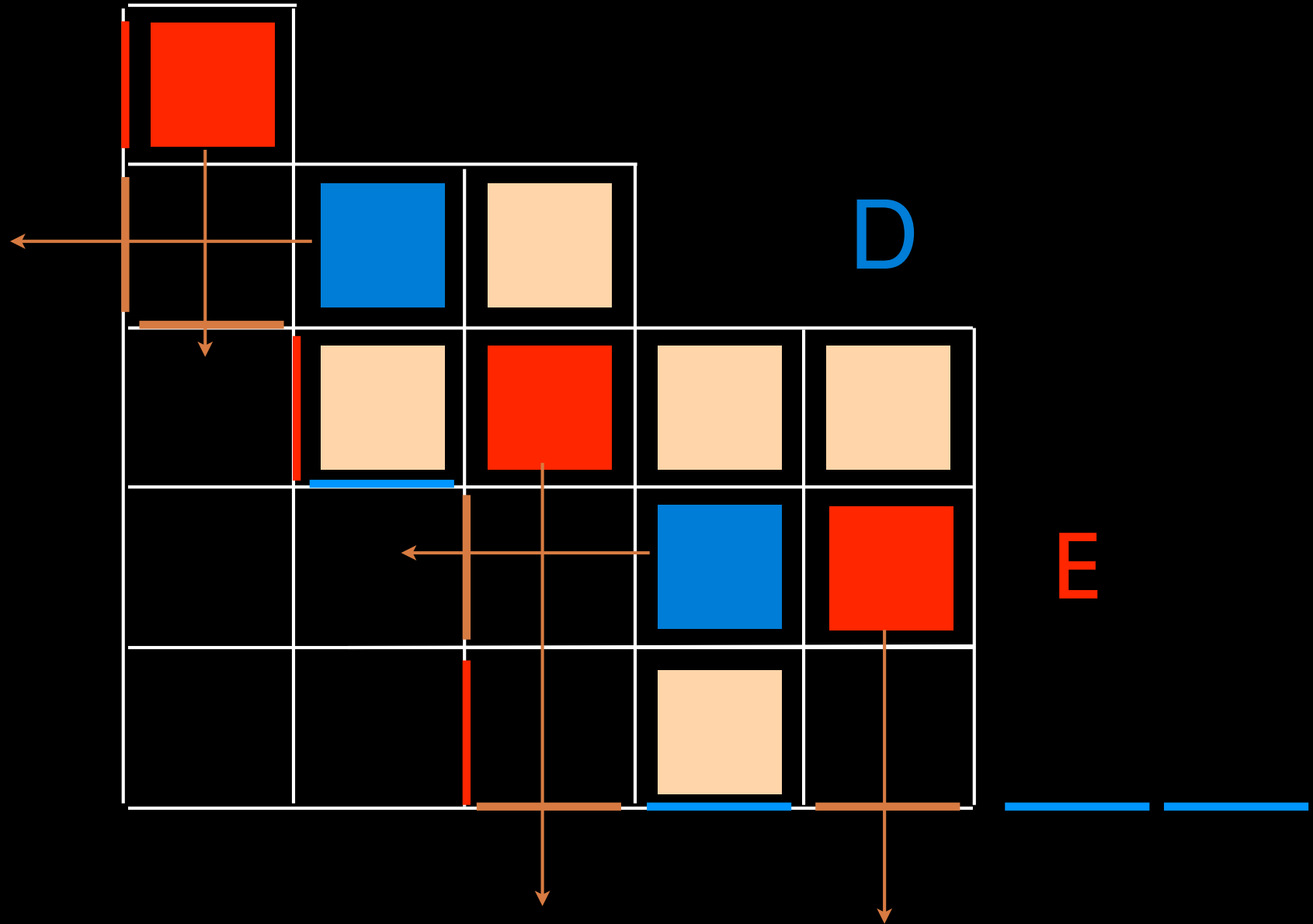


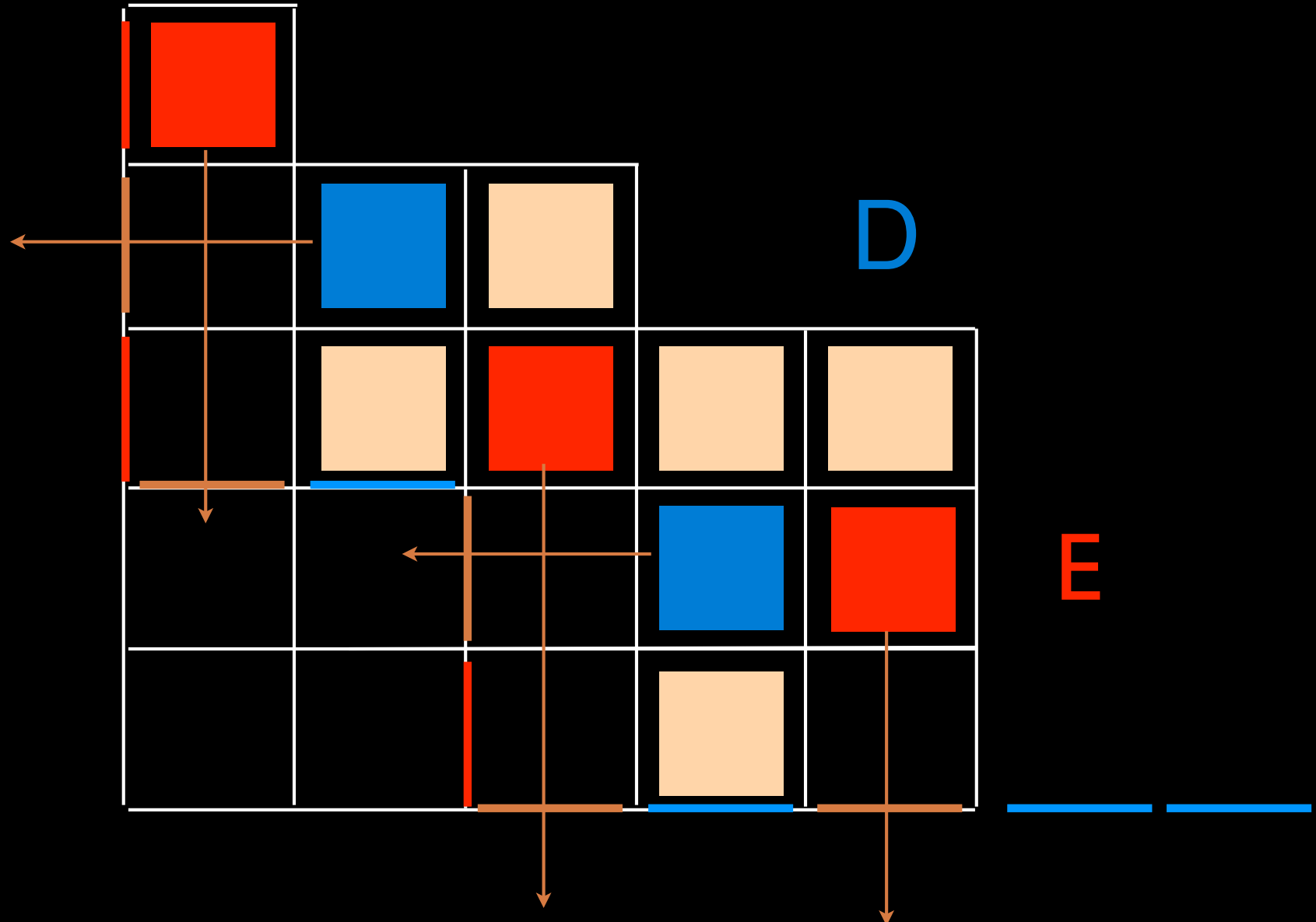


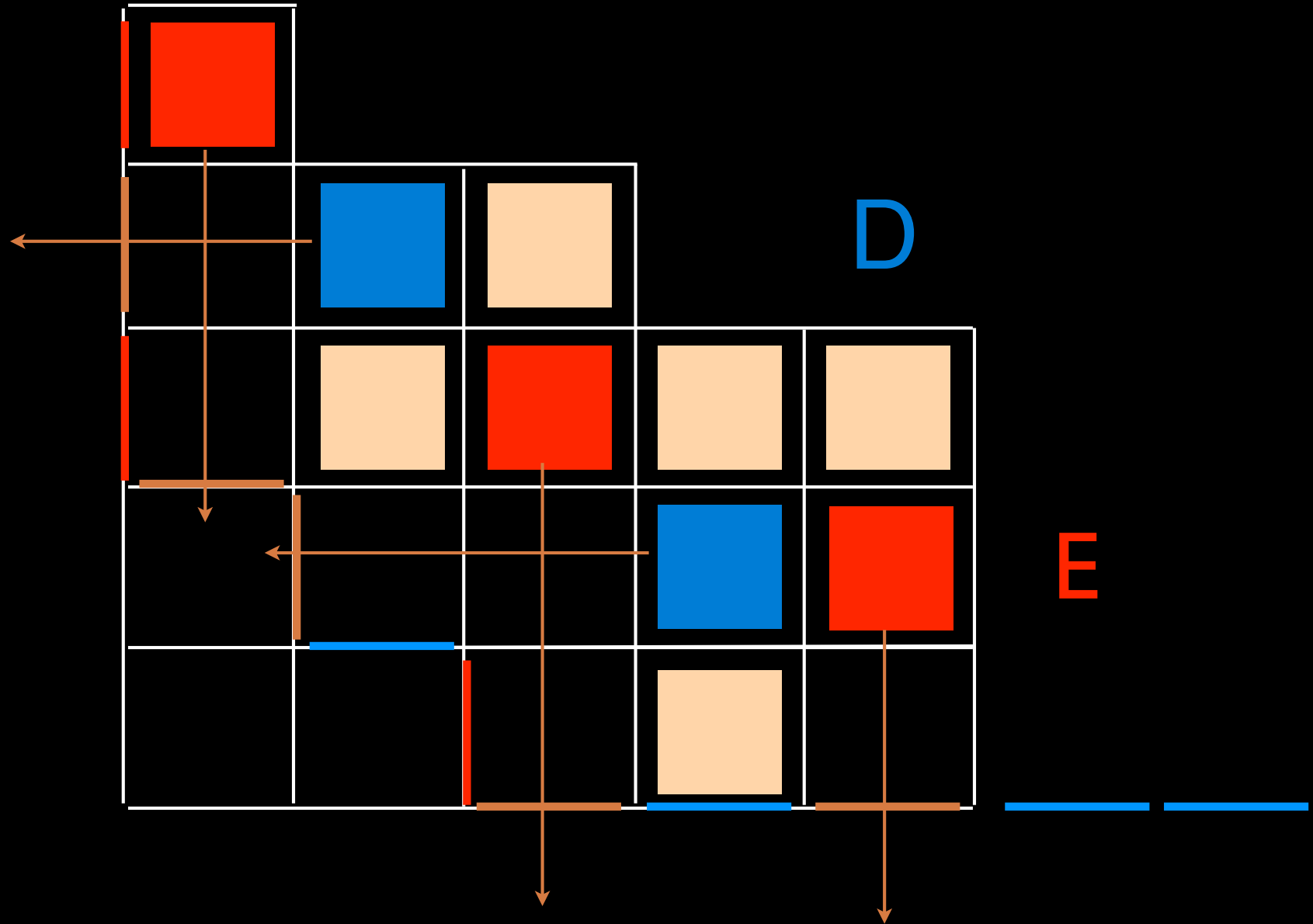


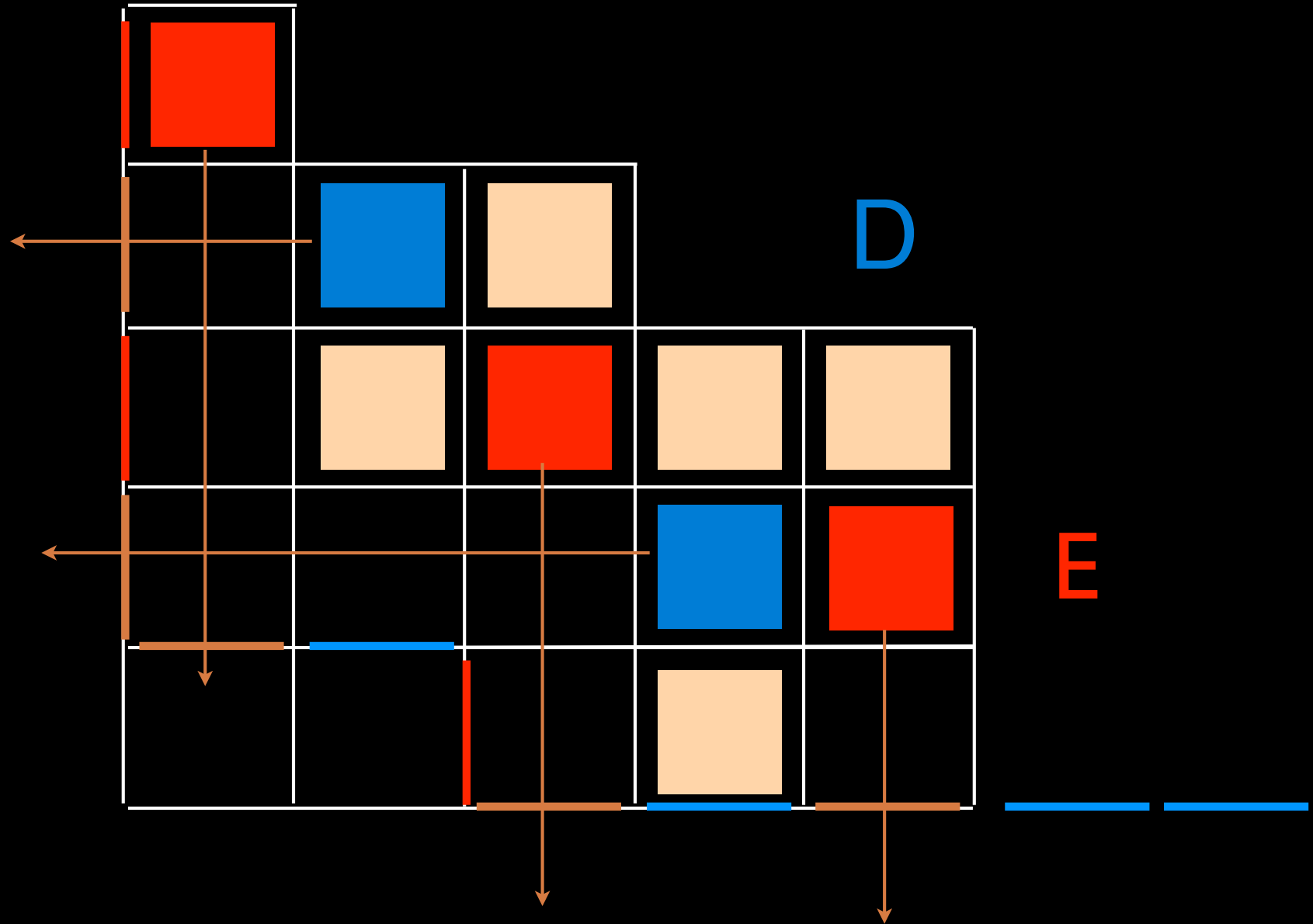


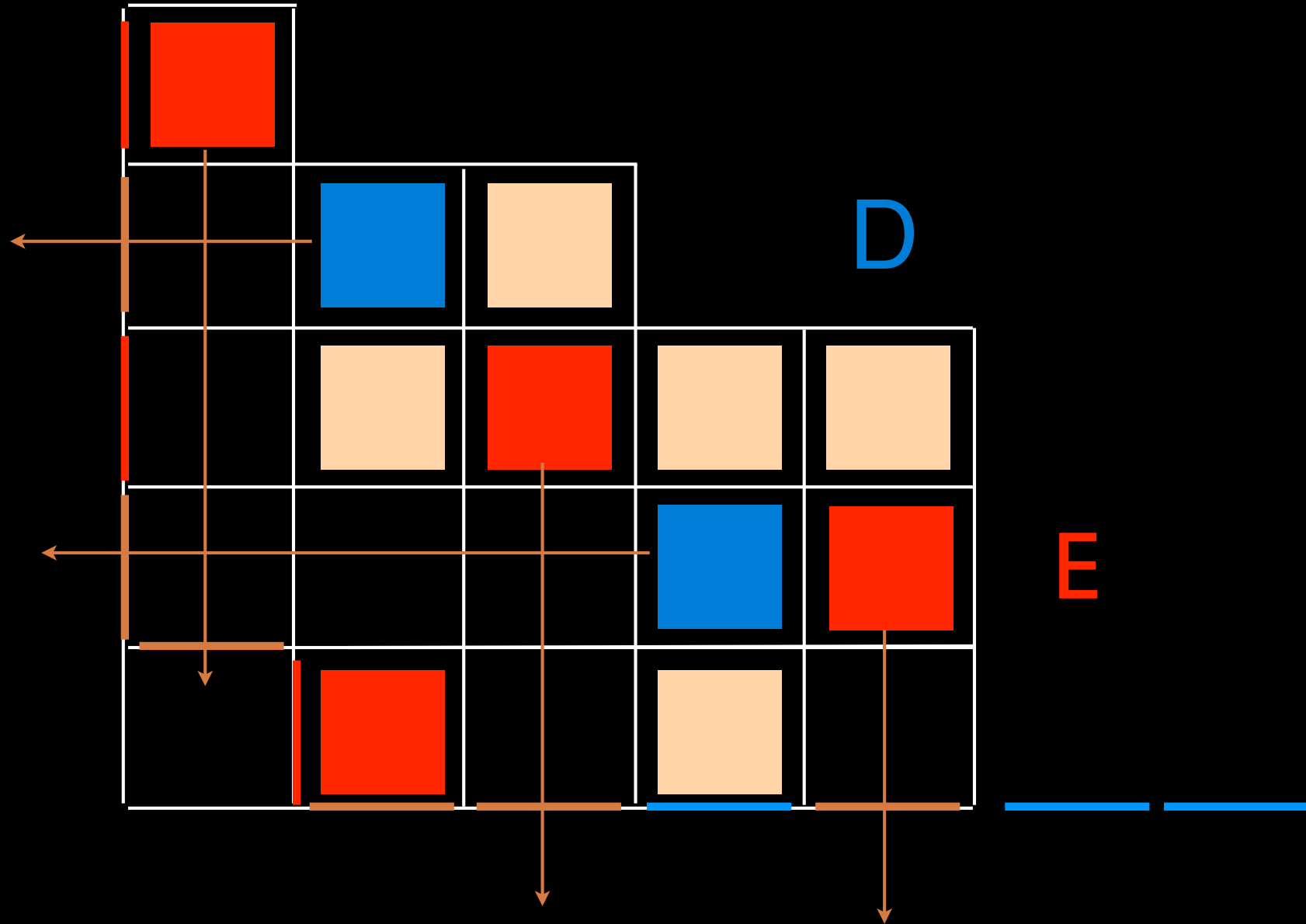


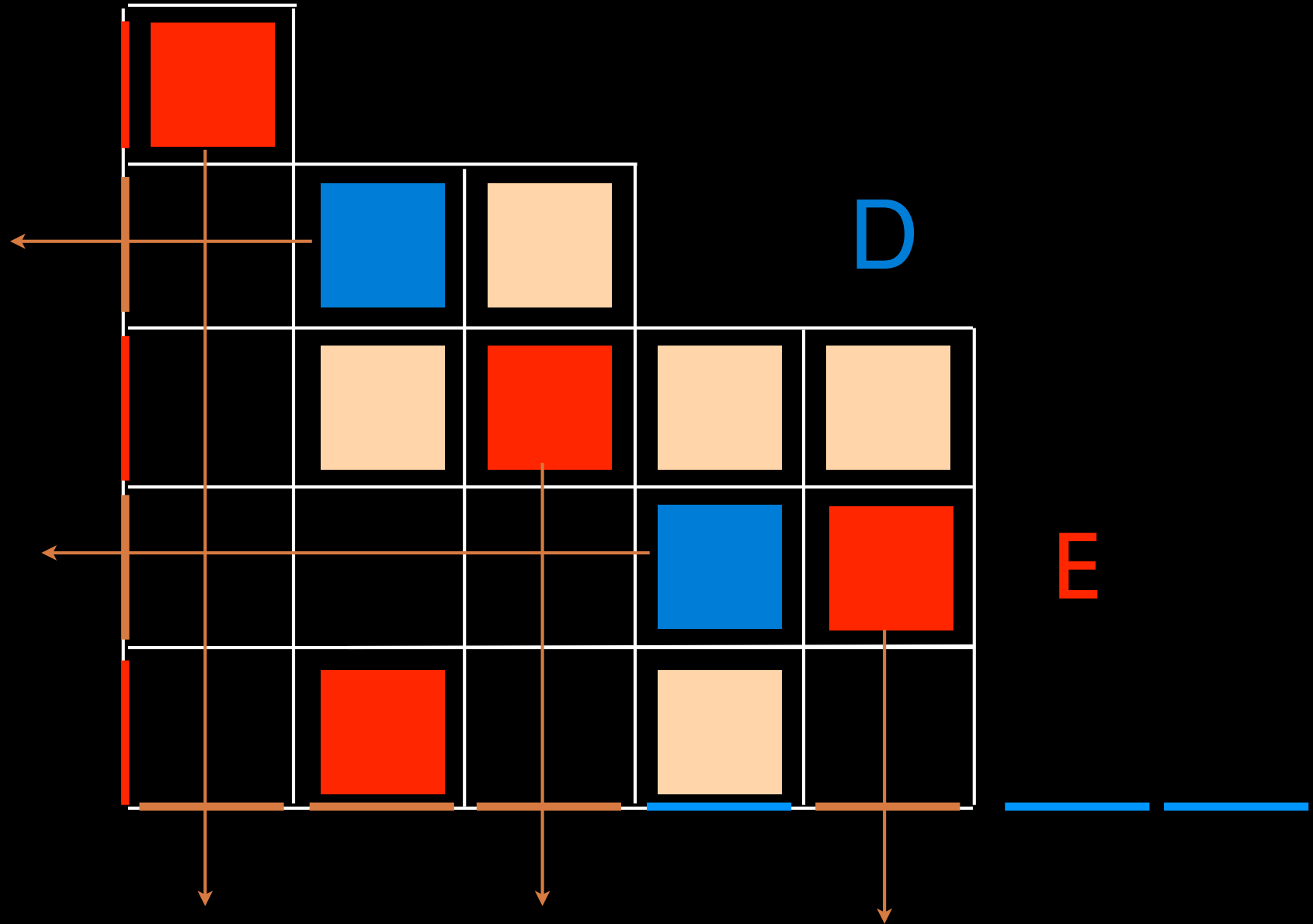


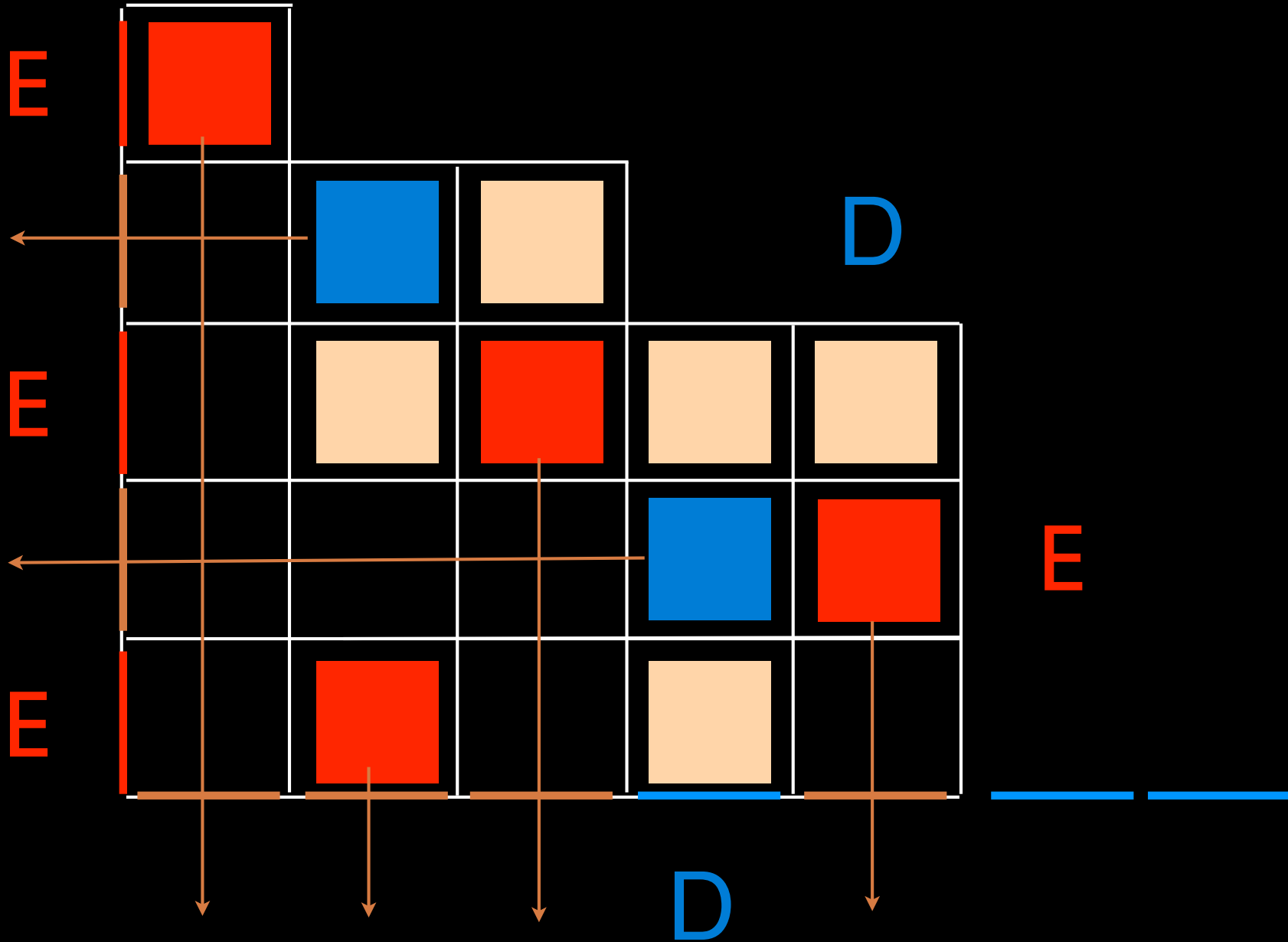


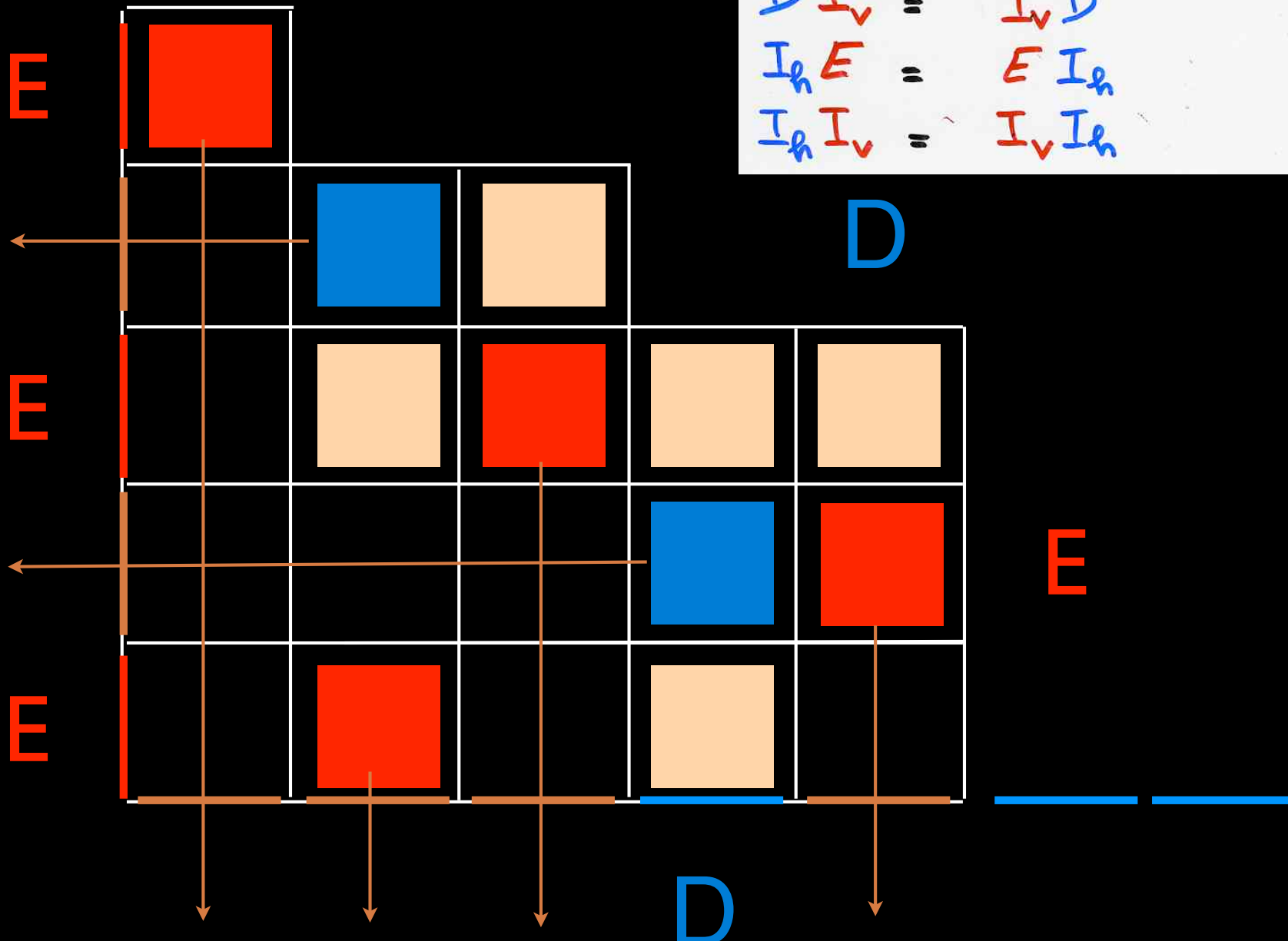












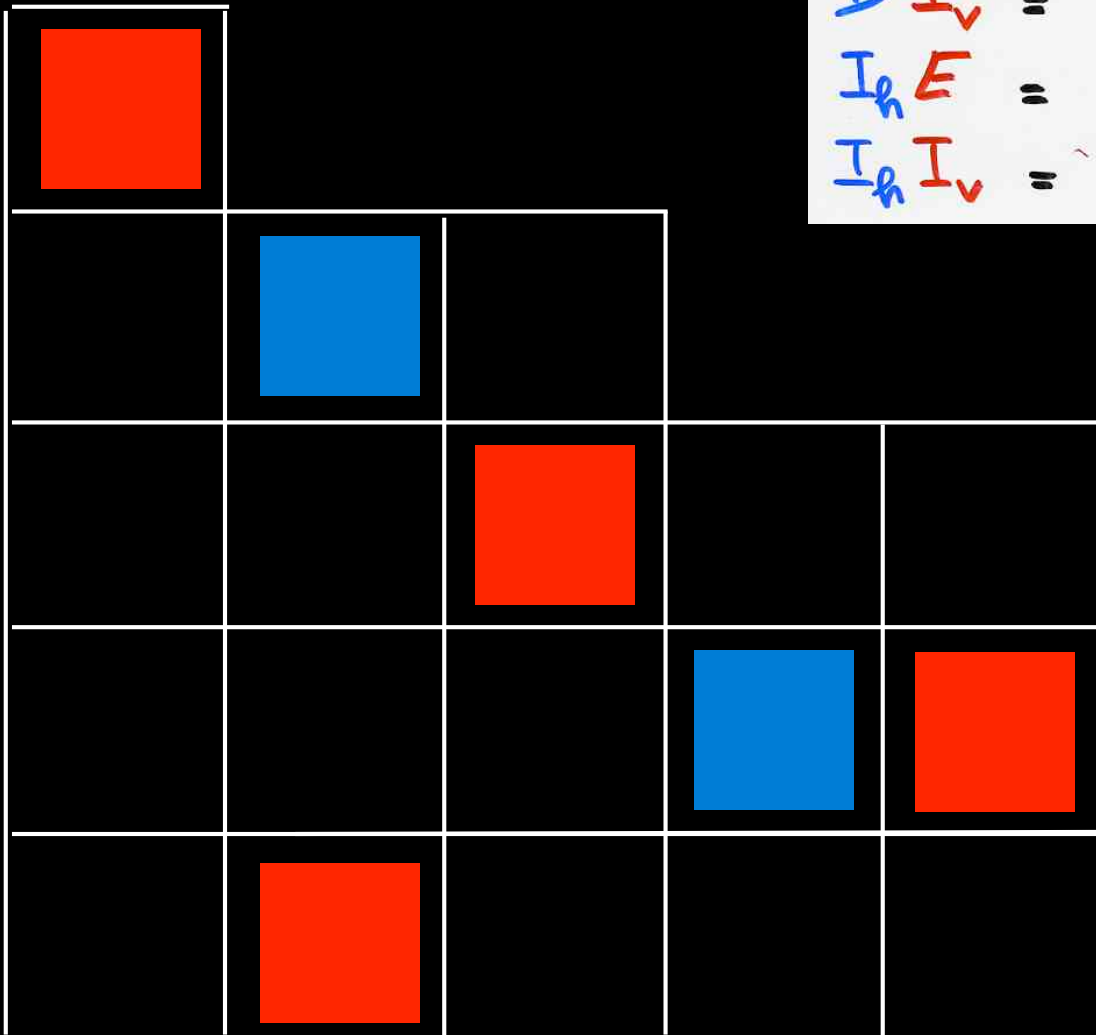
$$DE = qED + EI_h + I_v D$$

$$DI_v = I_v D$$

$$I_h E = EI_h$$

$$I_h I_v = I_v I_h$$

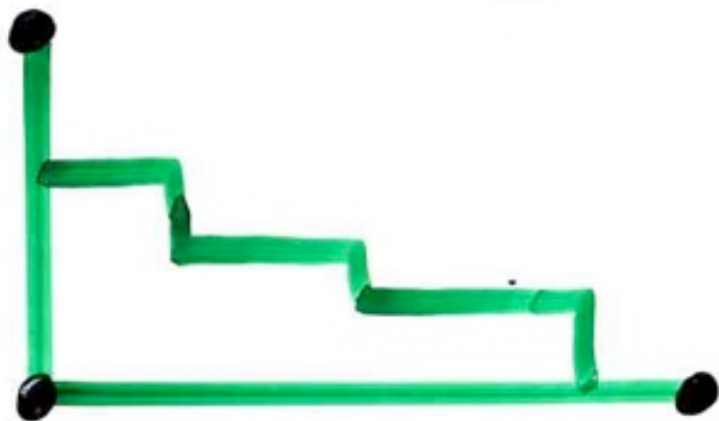
$$DE = qED + EI_h + I_v D$$
$$DI_v = I_v D$$
$$I_h E = EI_h$$
$$I_h I_v = I_v I_h$$



alternative tableaux

# alternative tableau

- Ferrers diagram  $F$

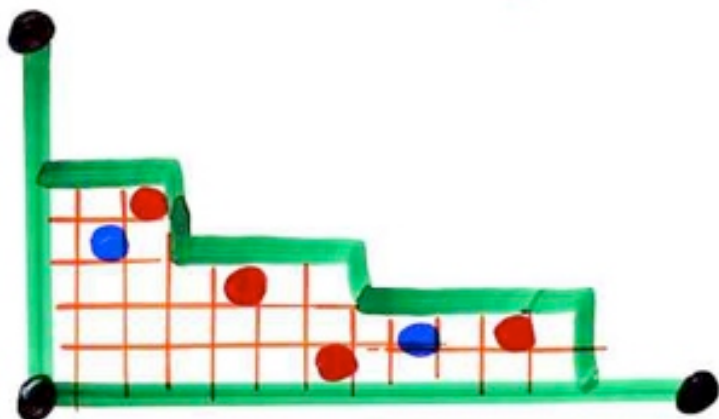


(possibly  
empty rows  
or columns)

$$\begin{aligned} & (\text{nb of rows}) + (\text{nb of columns}) \\ & = n \end{aligned}$$

# alternative tableau

- Ferrers diagram  $F$



(possibly  
empty, rows  
or column)

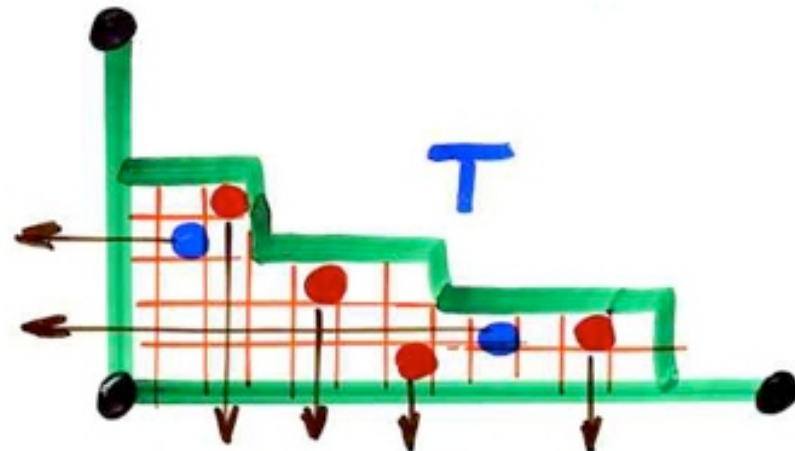
$$(\text{nb of rows}) + (\text{nb of columns}) = n$$

- some cells are

coloured **red** or **blue**

# alternative tableau $T$

- Ferrers diagram  $F$



(possibly  
empty rows  
or column)

$$(\text{nb of rows}) + (\text{nb of columns}) = n$$

- some cells are coloured **red** or **blue**

- - { no coloured cell at the left of
  - { no coloured cell ~~below~~

$n$  size of  $T$

alternative tableau

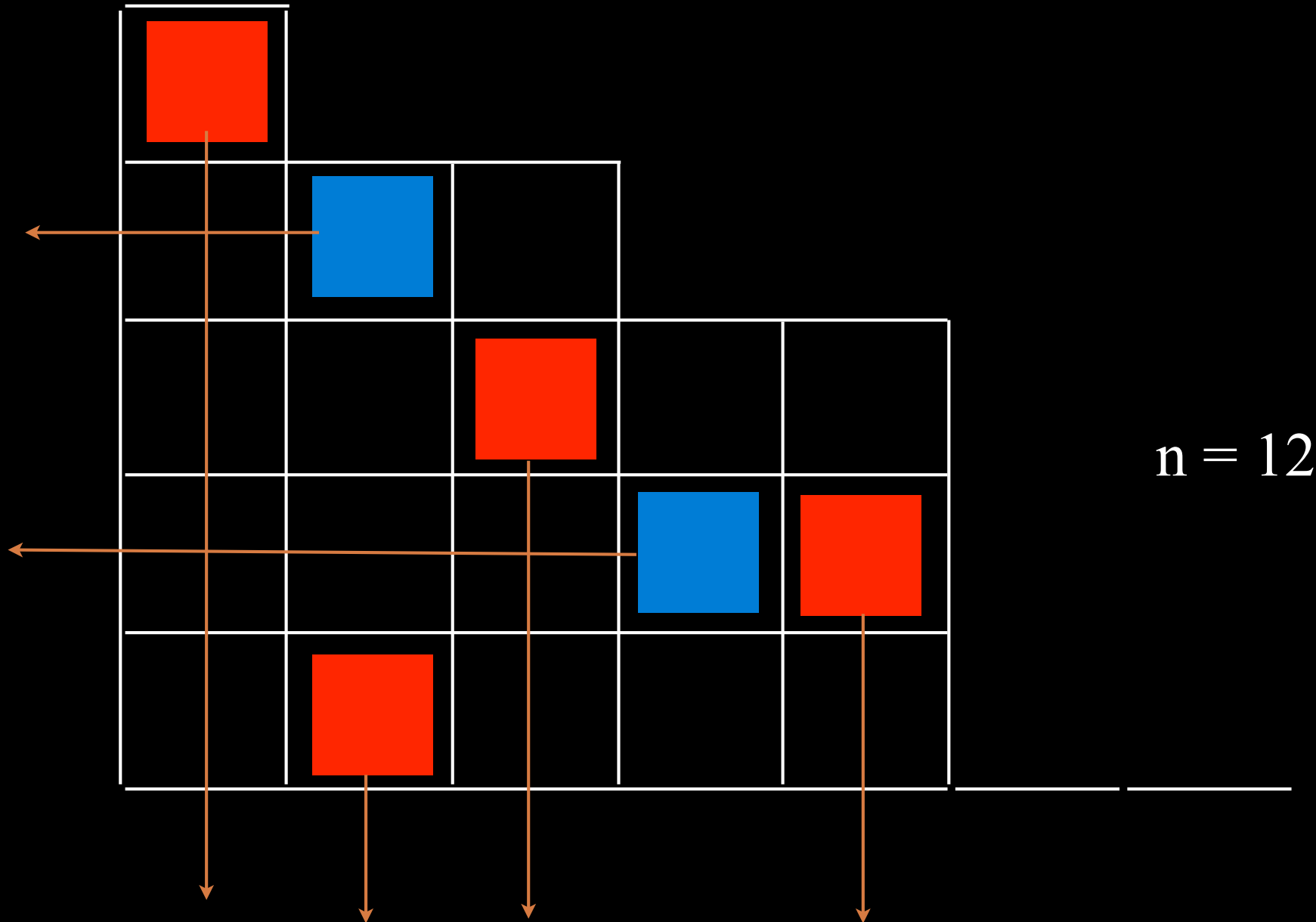
Ferrers diagram  
(=Young diagram)

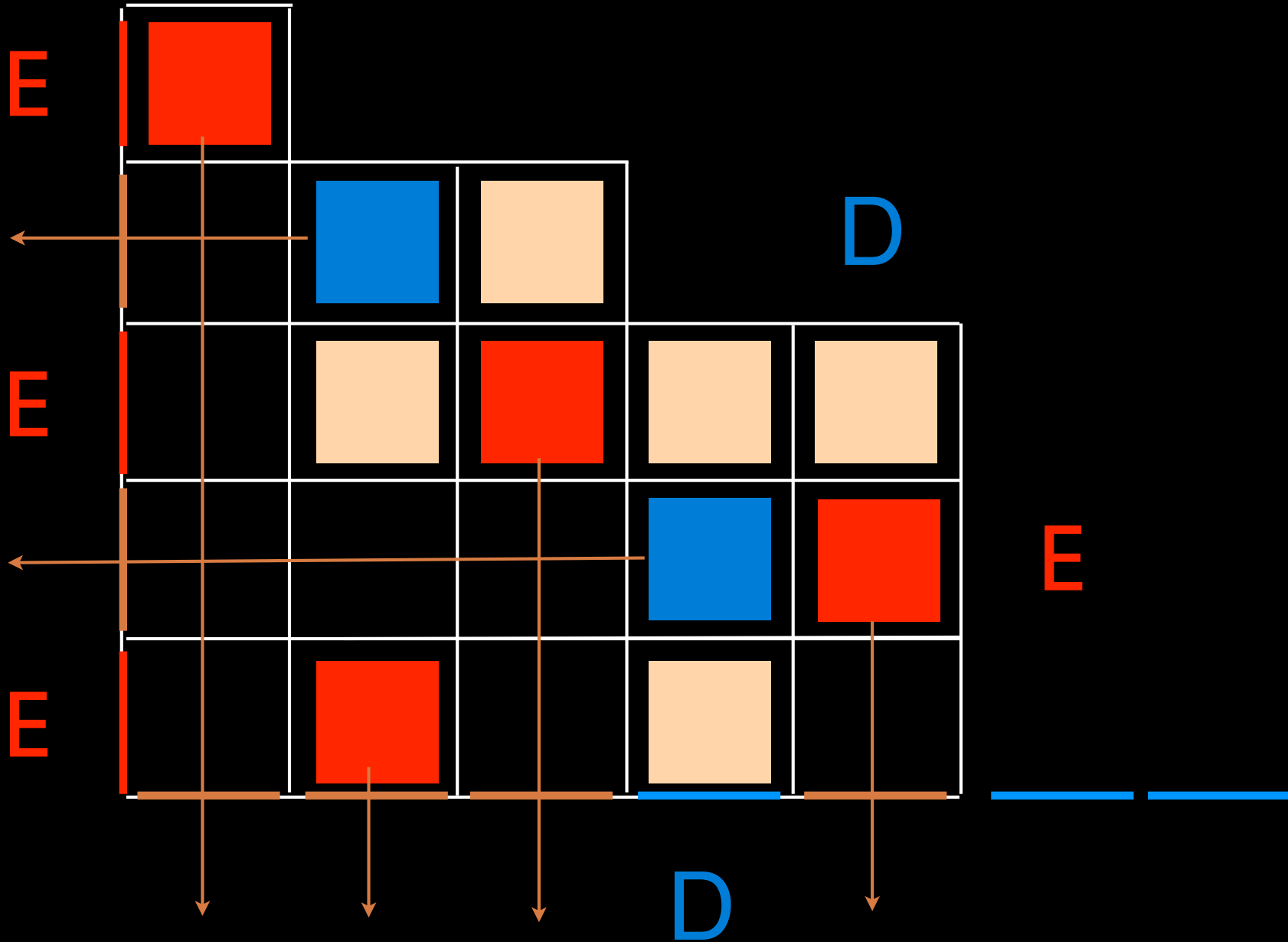

# alternative tableau


A 5x5 grid with the following colored squares:

- Top-left square (row 1, column 1) is orange.
- Middle row, second column from left: a blue square at (2, 2), a black square at (2, 3), and a black square at (2, 4).
- Third row, fourth column from left: a black square at (3, 1), an orange square at (3, 2), a black square at (3, 3), and a black square at (3, 4).
- Fourth row, third column from left: a black square at (4, 1), a black square at (4, 2), a blue square at (4, 3), and an orange square at (4, 4).
- Bottom row, first column from left: a black square at (5, 1), an orange square at (5, 2), a black square at (5, 3), and a black square at (5, 4).

# alternative tableau





Def- profile of an alternative tableau word  $w \in \{E, D\}^*$



$$DE = qED + E + D$$

$$w(E, D) = \sum_T q^{k(T)} E^{i(T)} D^{j(T)}$$

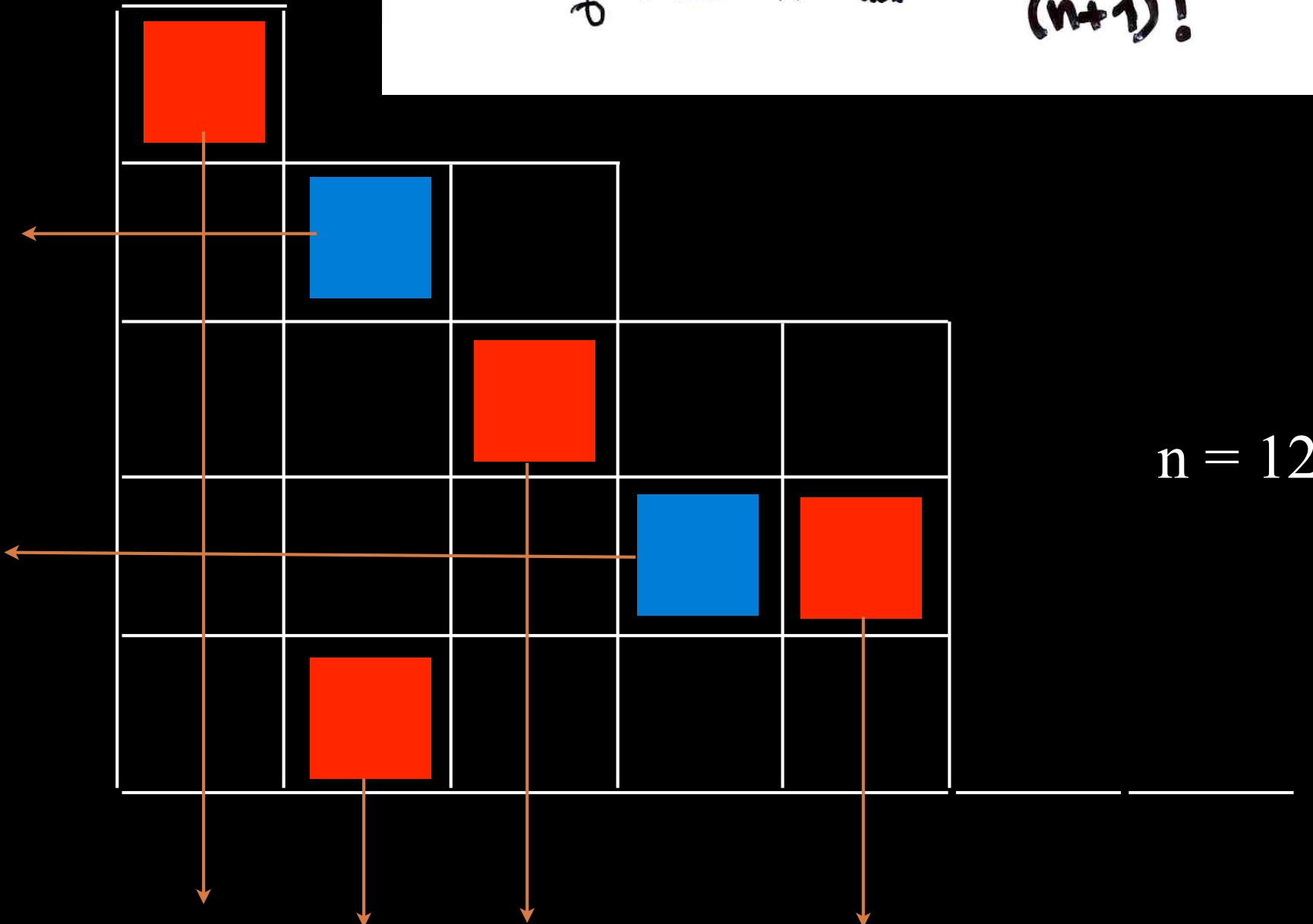
*alternative tableau with profile w*

$k(T)$  = nb of 

$i(T)$  = nb of rows without blue cell

$j(T)$  = nb of columns without red cell

Prop. The number of alternative tableaux of size  $n$  is  $(n+1)!$



ex: -  $n=2$



stationary probabilities  
for the PASEP

$$\left\{ \begin{array}{l} DE = qED + D + E \\ DV = \bar{\beta}V \quad \bar{\beta} = 1/\beta \\ WE = \bar{\alpha}W \quad \bar{\alpha} = 1/\alpha \end{array} \right.$$

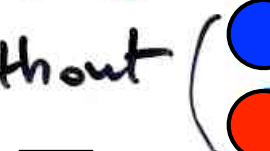
$$WE^iD^jV = \bar{\alpha}^i \bar{\beta}^j \underbrace{WV}_1$$

Cor. The stationary probability associated to the state  $\tau = (\tau_1, \dots, \tau_n)$  (PASEP)

is  $\text{proba}_{\tau}(\tau; \alpha, \beta) = \frac{1}{Z_n} \sum_{\tau} q^{\ell(\tau)} \alpha^{-f(\tau)} \beta^{-u(\tau)}$

alternative tableaux  
profile  $\tau$

$\begin{cases} f(\tau) \\ u(\tau) \\ \ell(\tau) \end{cases}$  nb of rows  
 nb of columns without cell



permutation tableau

S. Corteel, L. Williams  
(2007) (2008) (2009)

# permutation tableau

A. Postnikov (2001, ...)

totally nonnegative part of the Grassmannian

E. Steingrímsson, L. Williams (2005)

Corteel, Williams (2006) PASEP

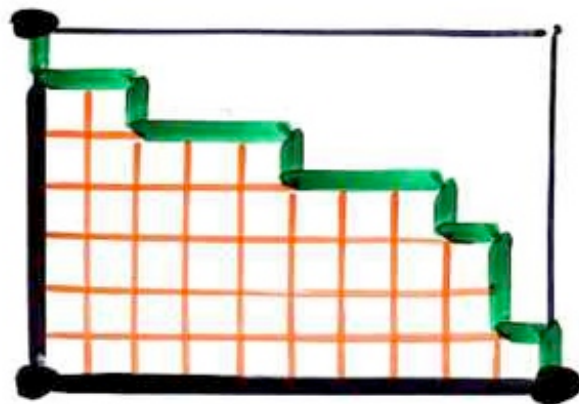
Partially Asymmetric Exclusion Process

M. Josuat-Vergès (2007)

permutation  
tableaux

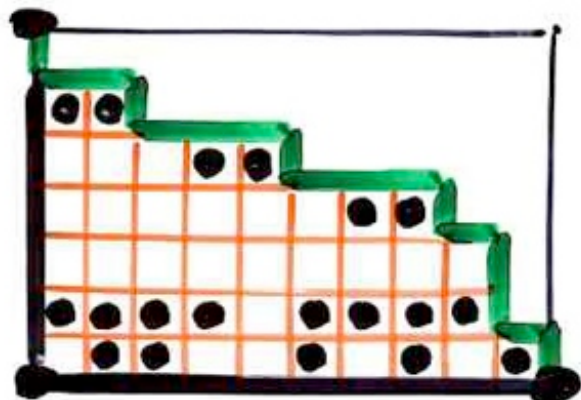
# Permutation Tableau

Ferrers diagram  $F \subseteq k \times (n-k)$   
rectangle



# Permutation Tableau

Ferrers diagram  $F \subseteq k \times (h-k)$   
rectangle



filling of the cells  
with 0 and 1

(i)

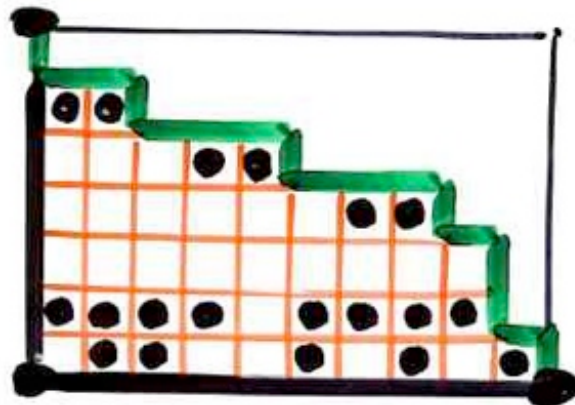
$$\square = 0$$

$$\bullet = 1$$

(ii)

# Permutation Tableau

Ferrers diagram  $F \subseteq k \times (n-k)$   
rectangle



filling of the cells  
with 0 and 1

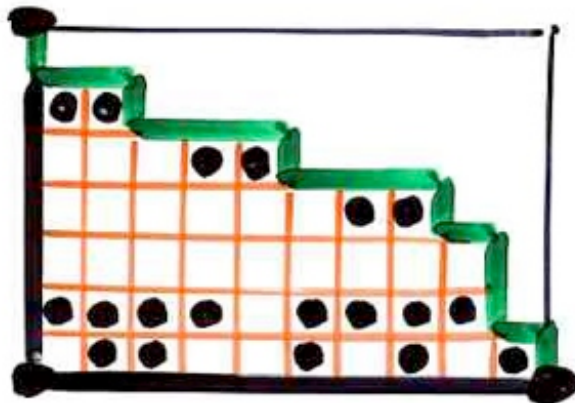
(i) in each column :  
at least one 1

$$\square = 0 \quad \bullet = 1$$

(ii)

# Permutation Tableau

Ferrers diagram  $F \subseteq k \times (n-k)$   
rectangle



filling of the cells  
with 0 and 1

(i) in each column :  
at least one 1

$$\square = 0 \quad \bullet = 1$$

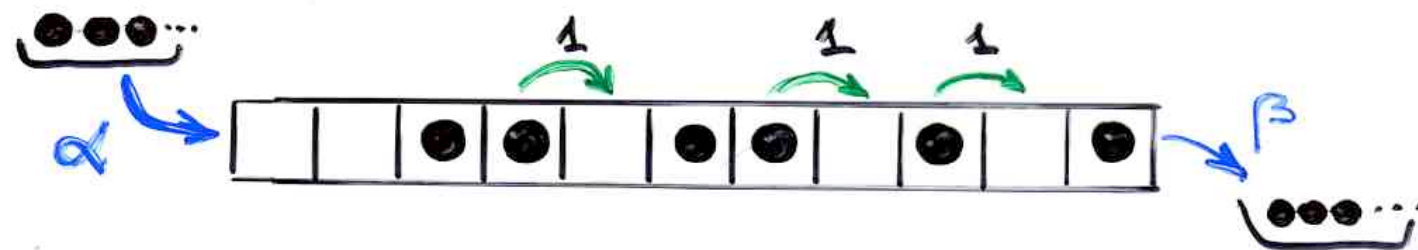
(ii)  forbidden

TASEP

Totally asymmetric exclusion process

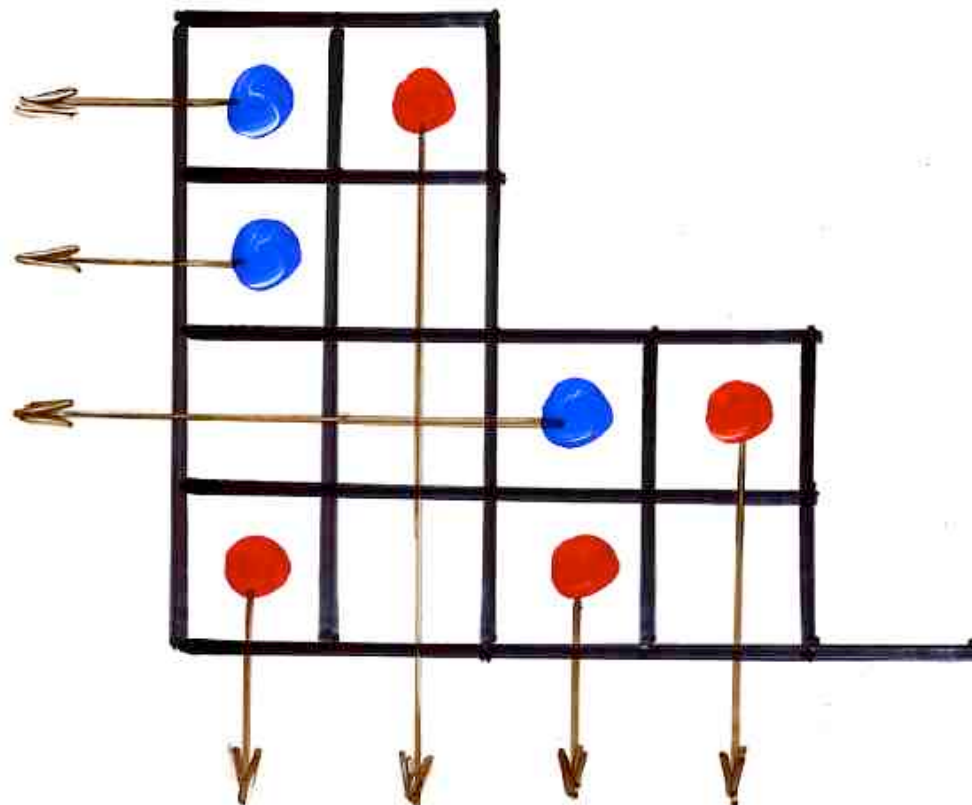
# TASEP

"totally asymmetric exclusion process"

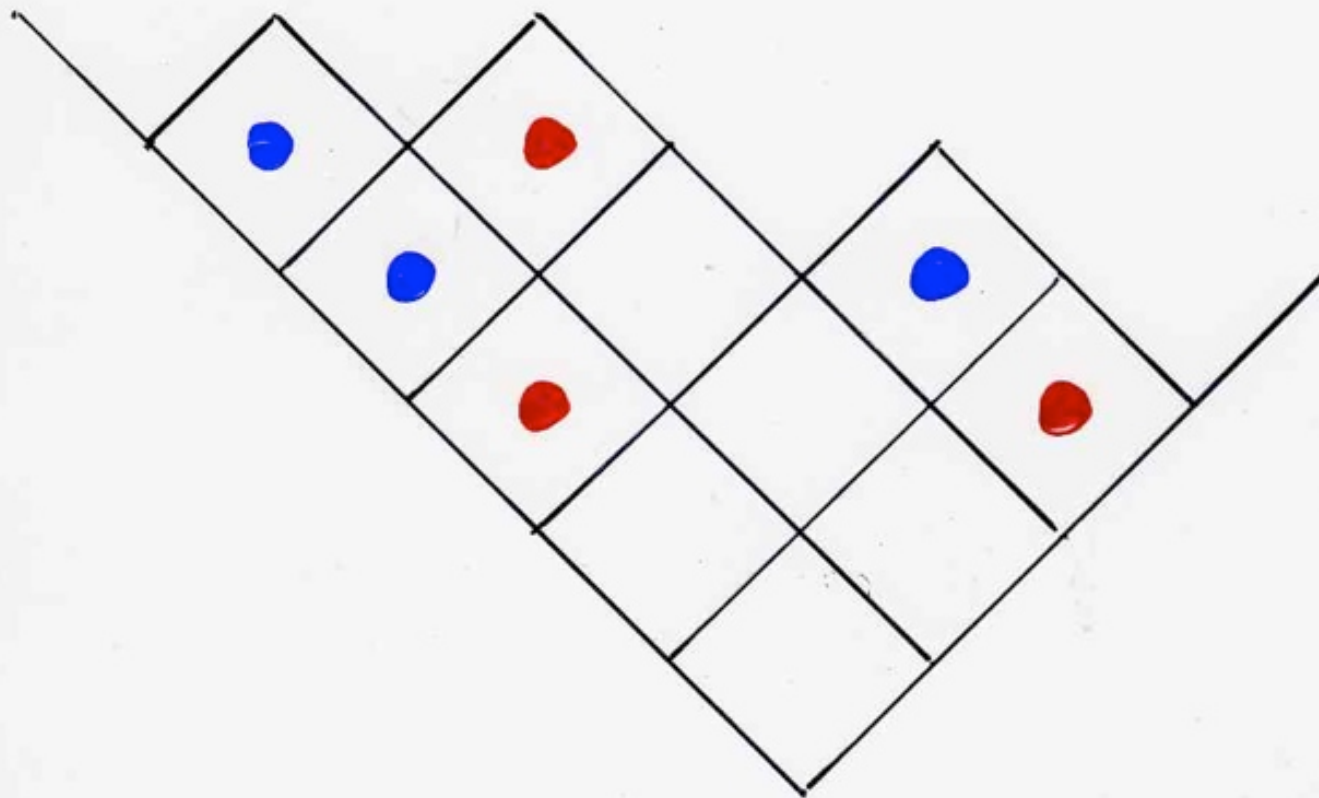


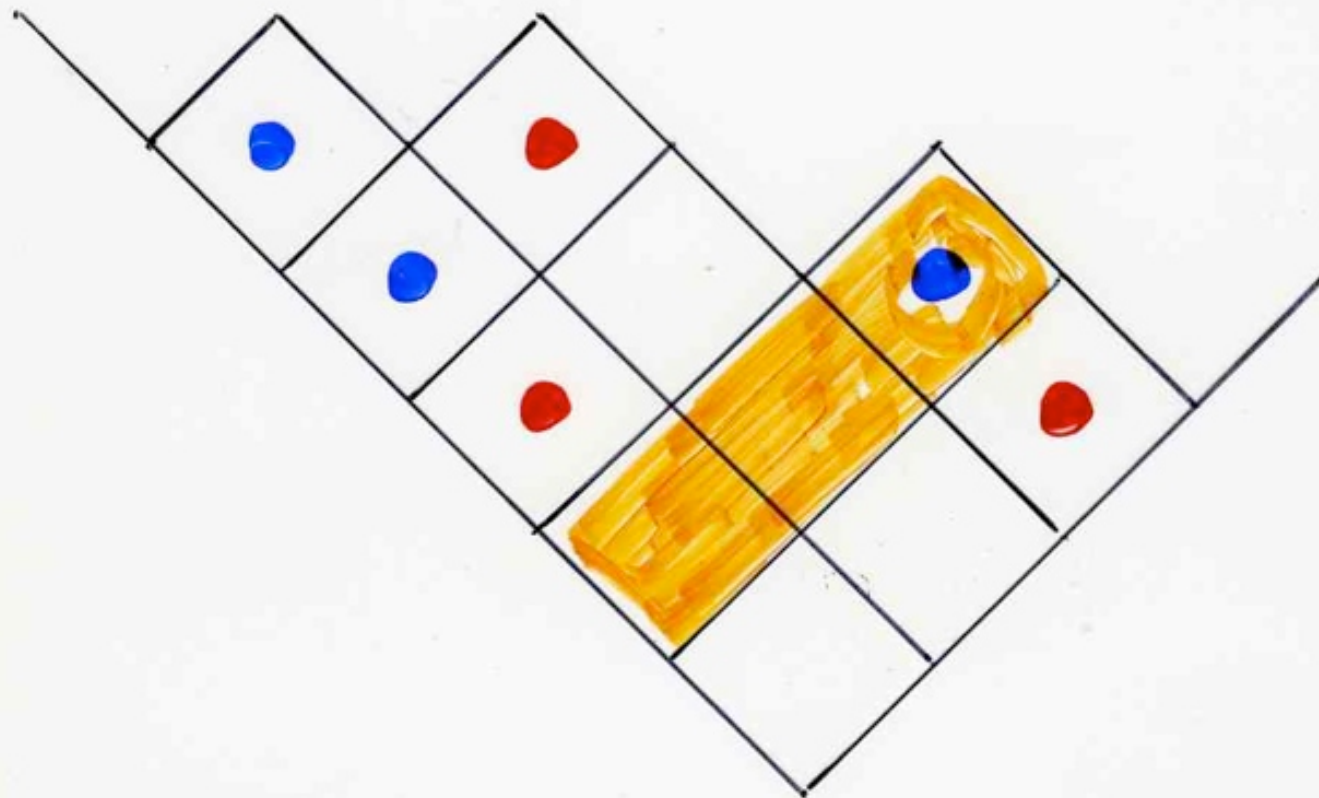
Def Catalan alternative tableau  $T$   
alt. tab. without cells

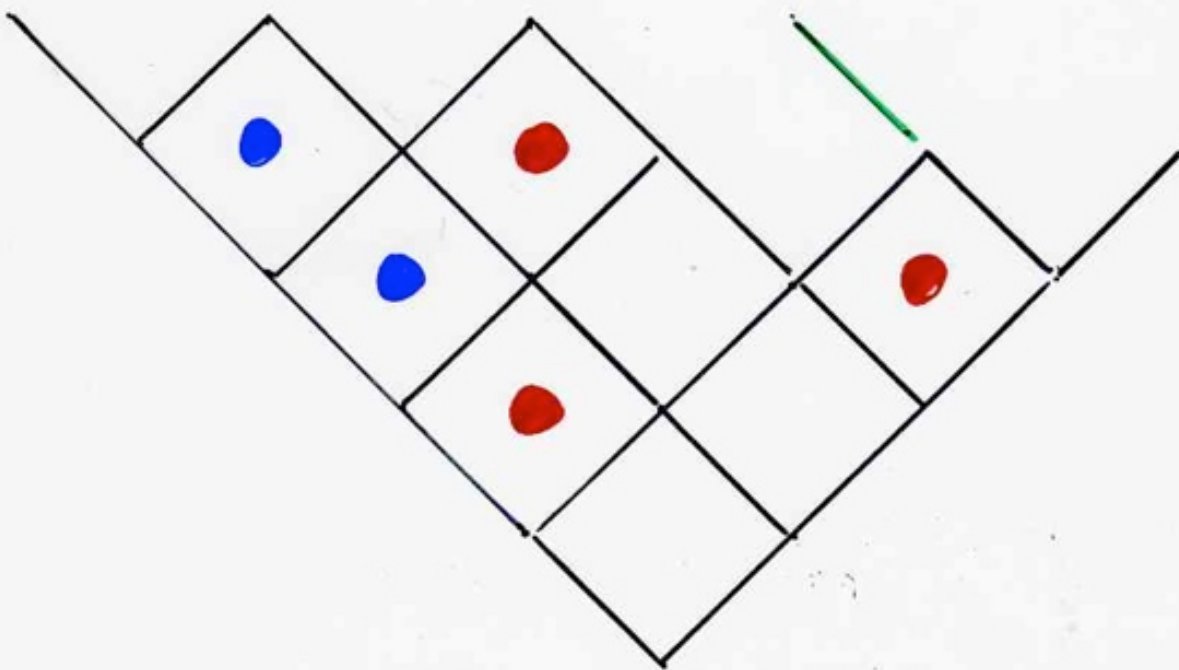
i.e. every empty cell is below a red cell or  
on the left of a blue cell

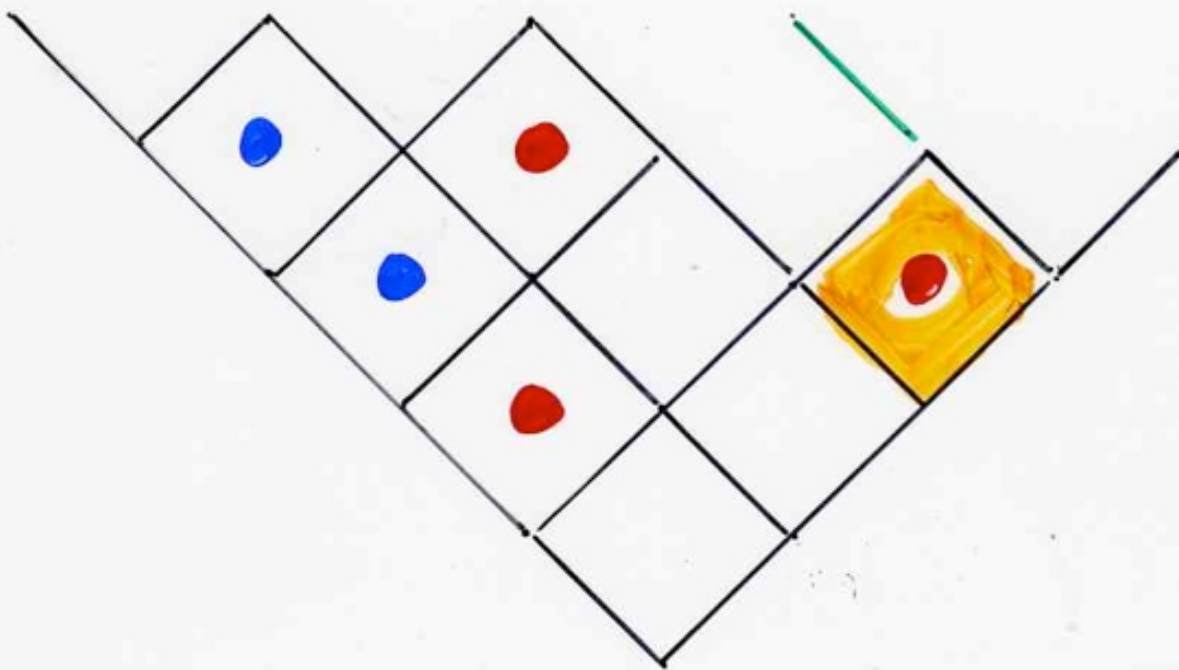


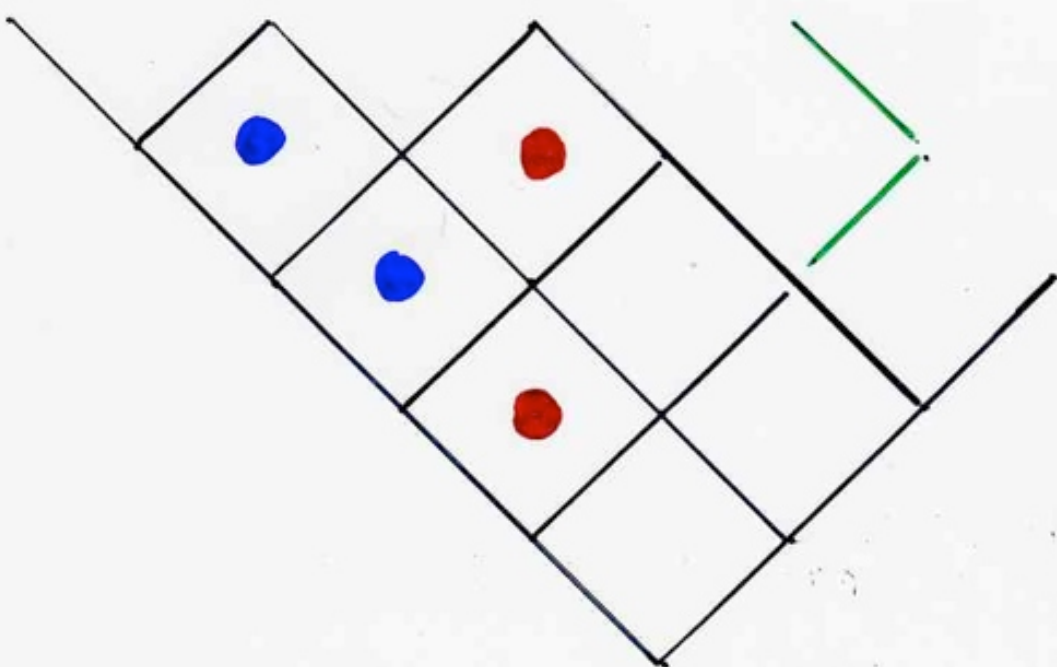
Bijection  
alternative Catalan tableaux  
binary trees

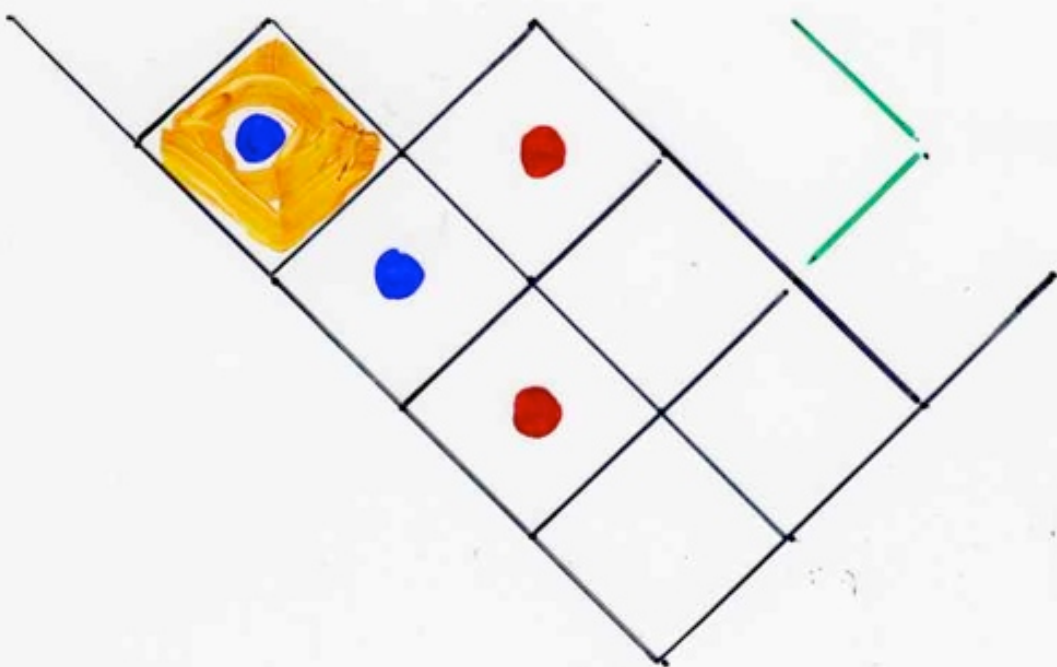


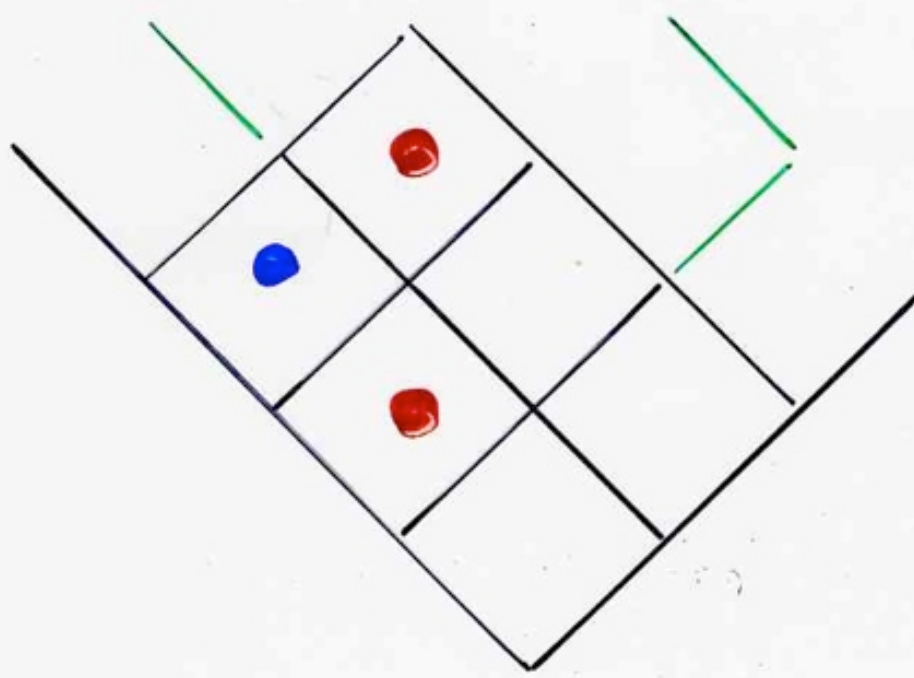


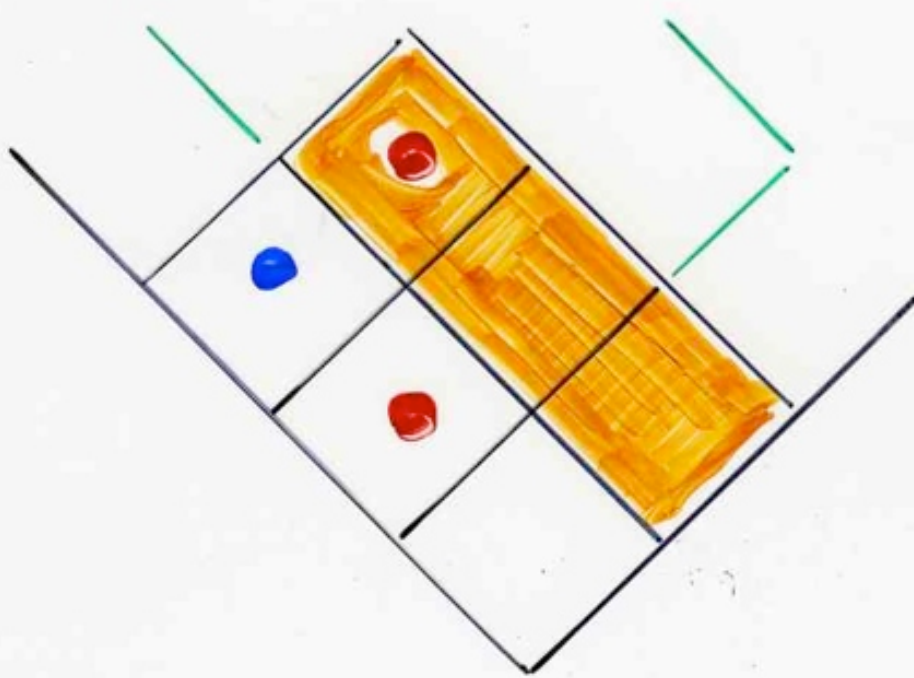


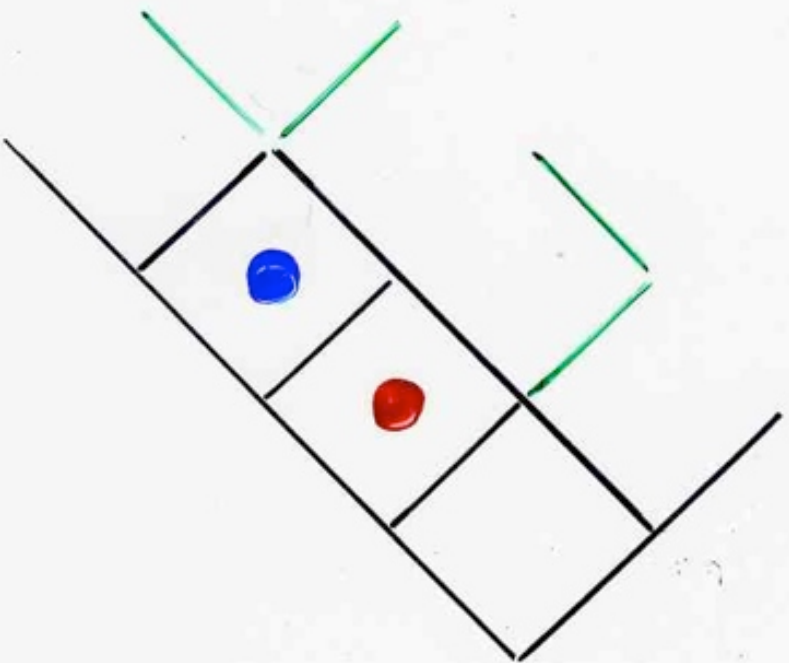


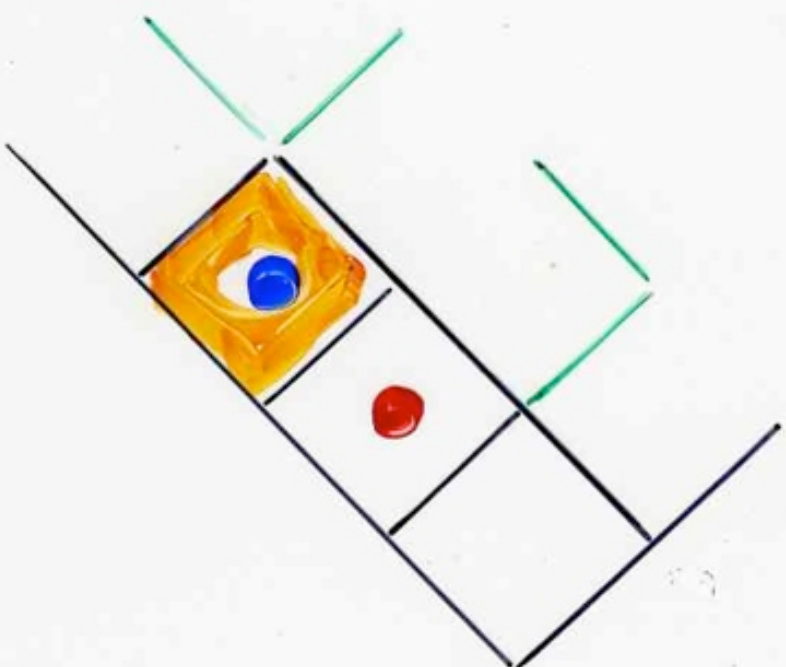


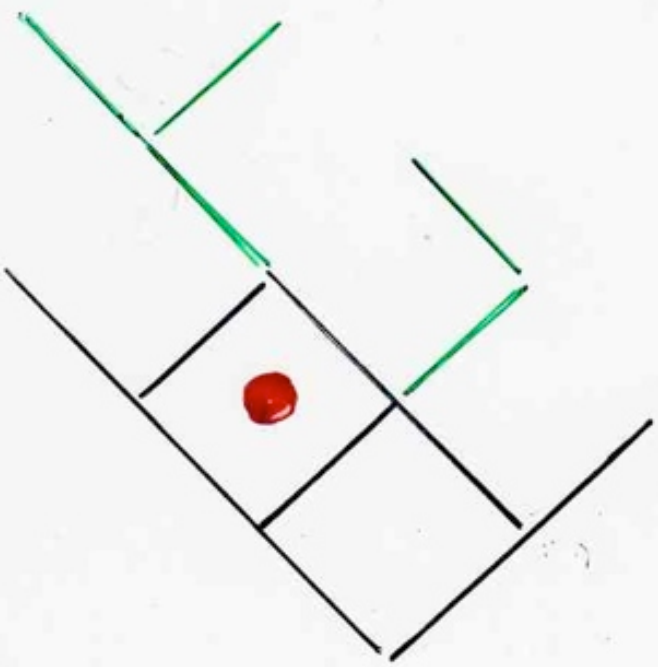


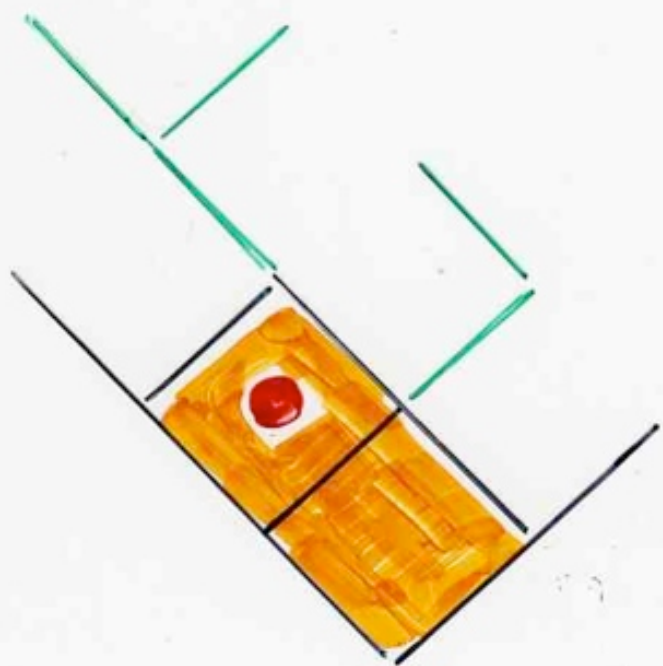


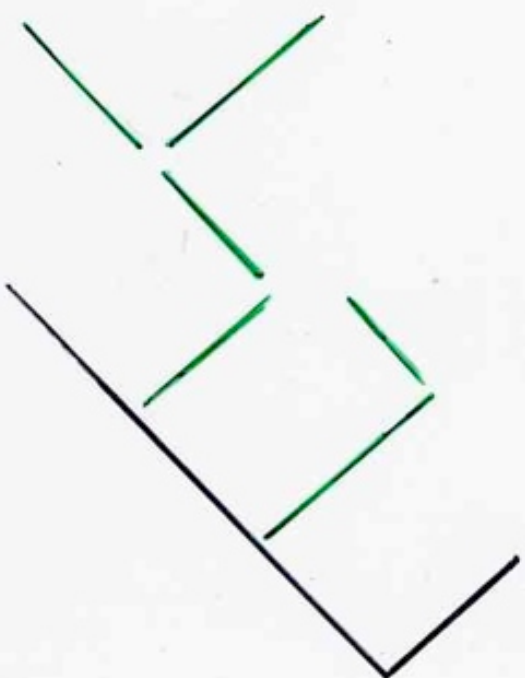






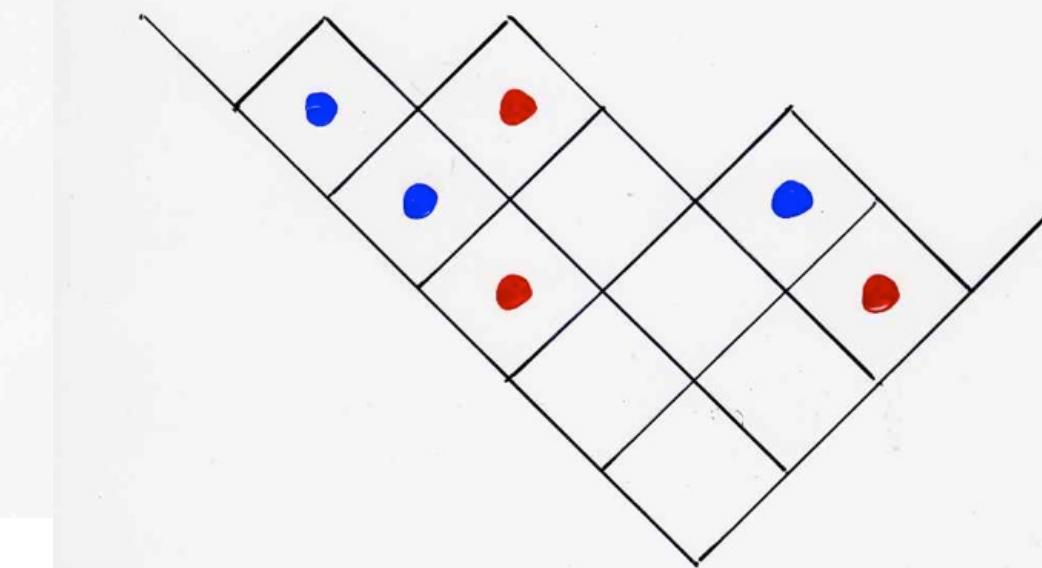
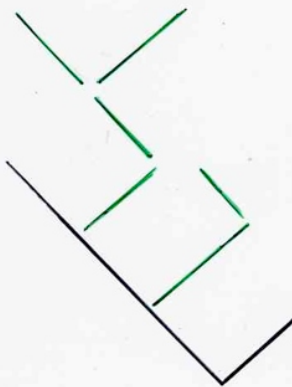




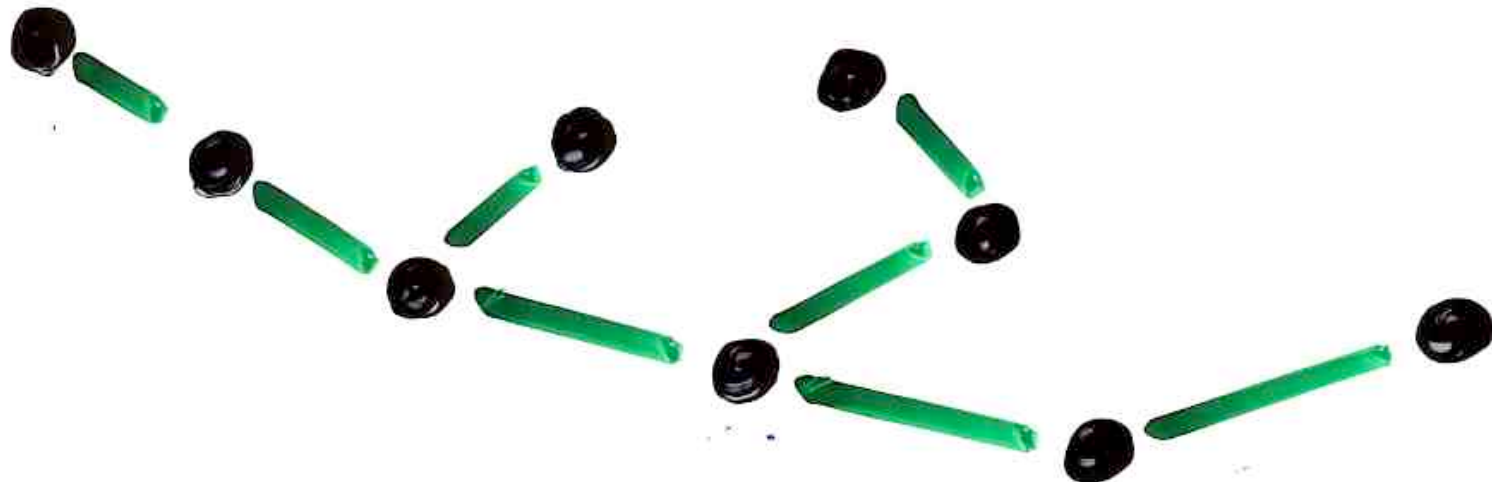


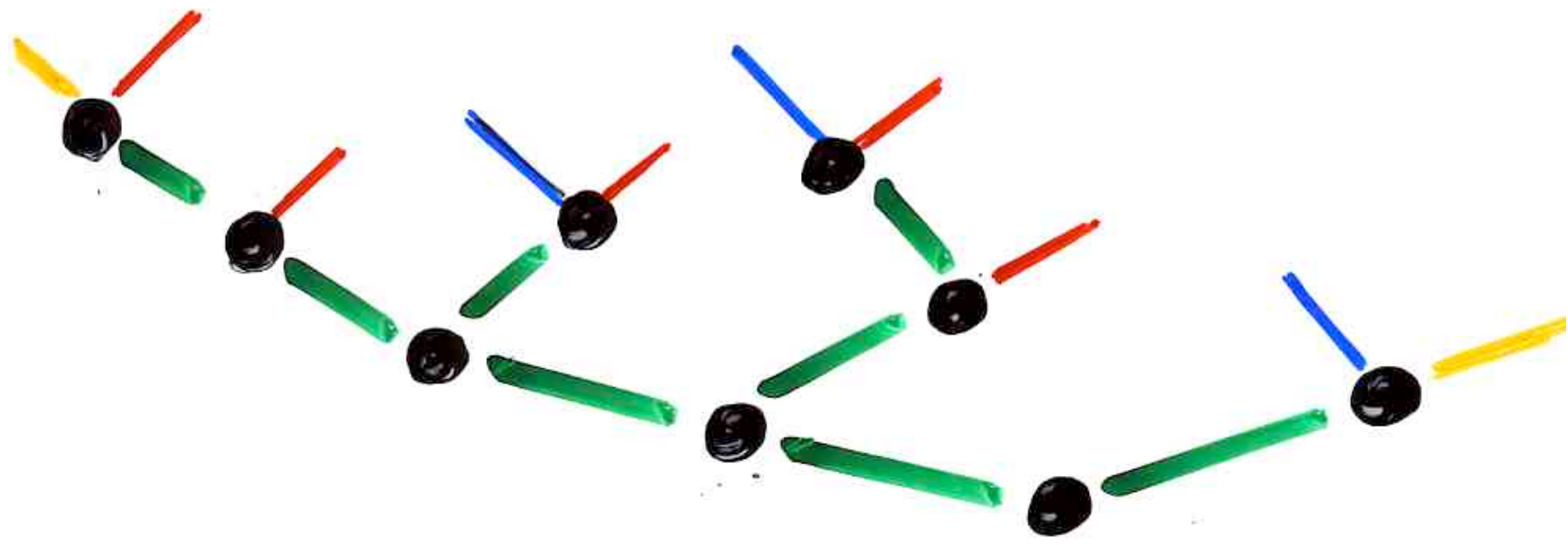
Bijection

tableaux  
alternatifs  
de Catalan <sup>taille n</sup>  $\longleftrightarrow$  arbres  
linaires <sup>n</sup>  
arêtes



profil (bord)  
du diagramme  
de Ferrers  $\longleftrightarrow$  canopée





canopy of a binary tree

$$C(B) = - - + - + - - +$$

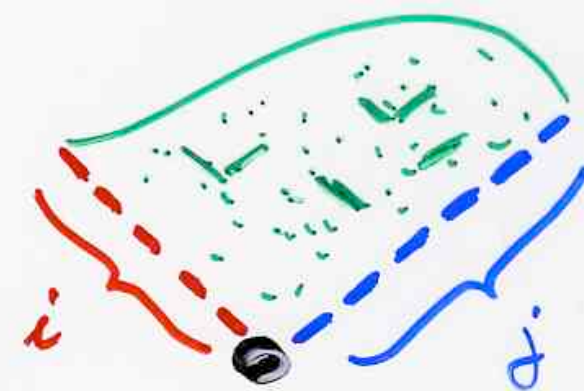
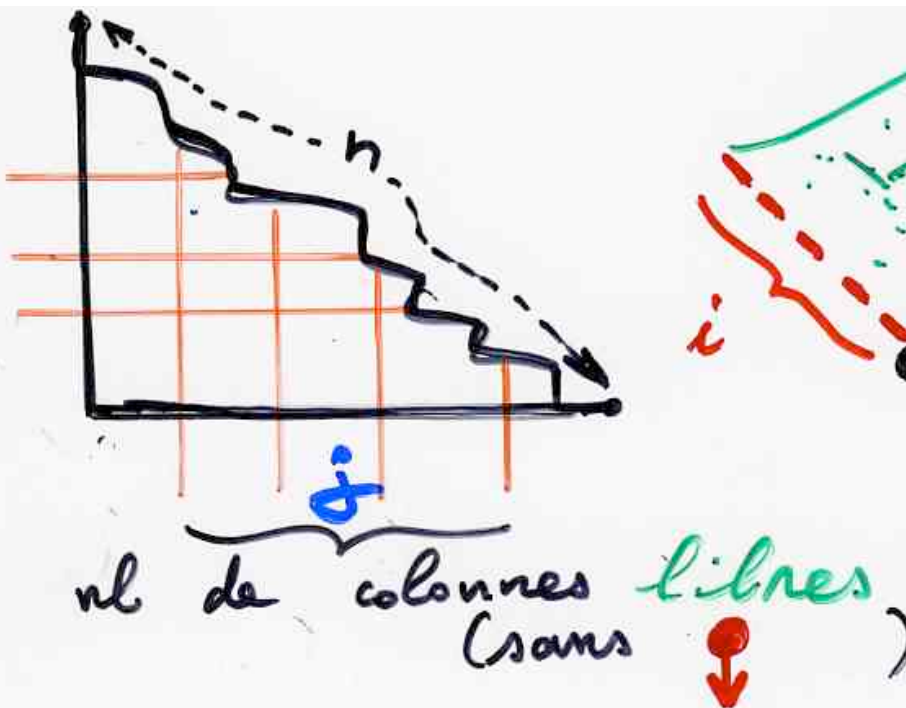
Bijection

tableaux  
alternatifs  
de Catalan  $\xleftarrow[\text{taille } n]$  arbres  
linaires  $\xleftarrow[n]{\text{arêtes}}$

profil (bord)  
du diagramme  
de Ferrers

composée

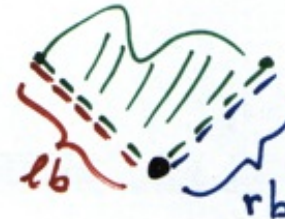
nb de lignes libres  
(sans ↪)



$$\lambda = (\tau_1, \dots, \tau_n)$$

$$P_n(\lambda; \alpha, \beta) = \frac{1}{Z_n} \sum_B \bar{\alpha}^{\ell_B(B)} \bar{\beta}^{r_B(B)}$$

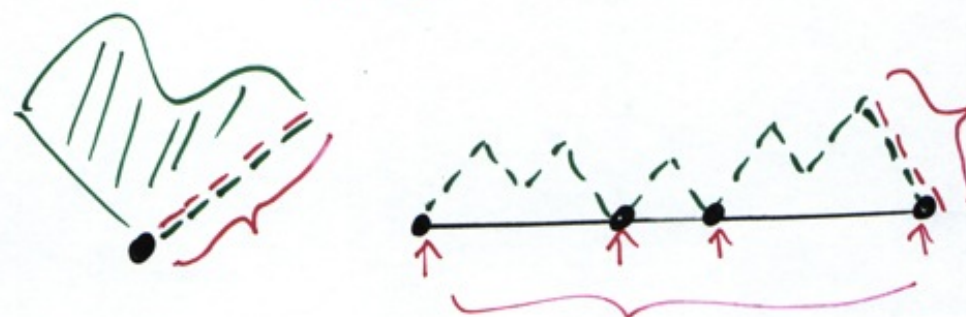
binary trees  
canopy  $\lambda$



$$Z_n = \sum_{i=1}^n \frac{i}{2n-i} \binom{2n-i}{n} \frac{\bar{\alpha}^{(i+1)} - \bar{\beta}^{(i+1)}}{\bar{\alpha} - \bar{\beta}}$$

partition function

"ballot" numbers



TASEP  $q=0$

$DE=E+D$

Catalan alternative tableaux

bijection with binary trees

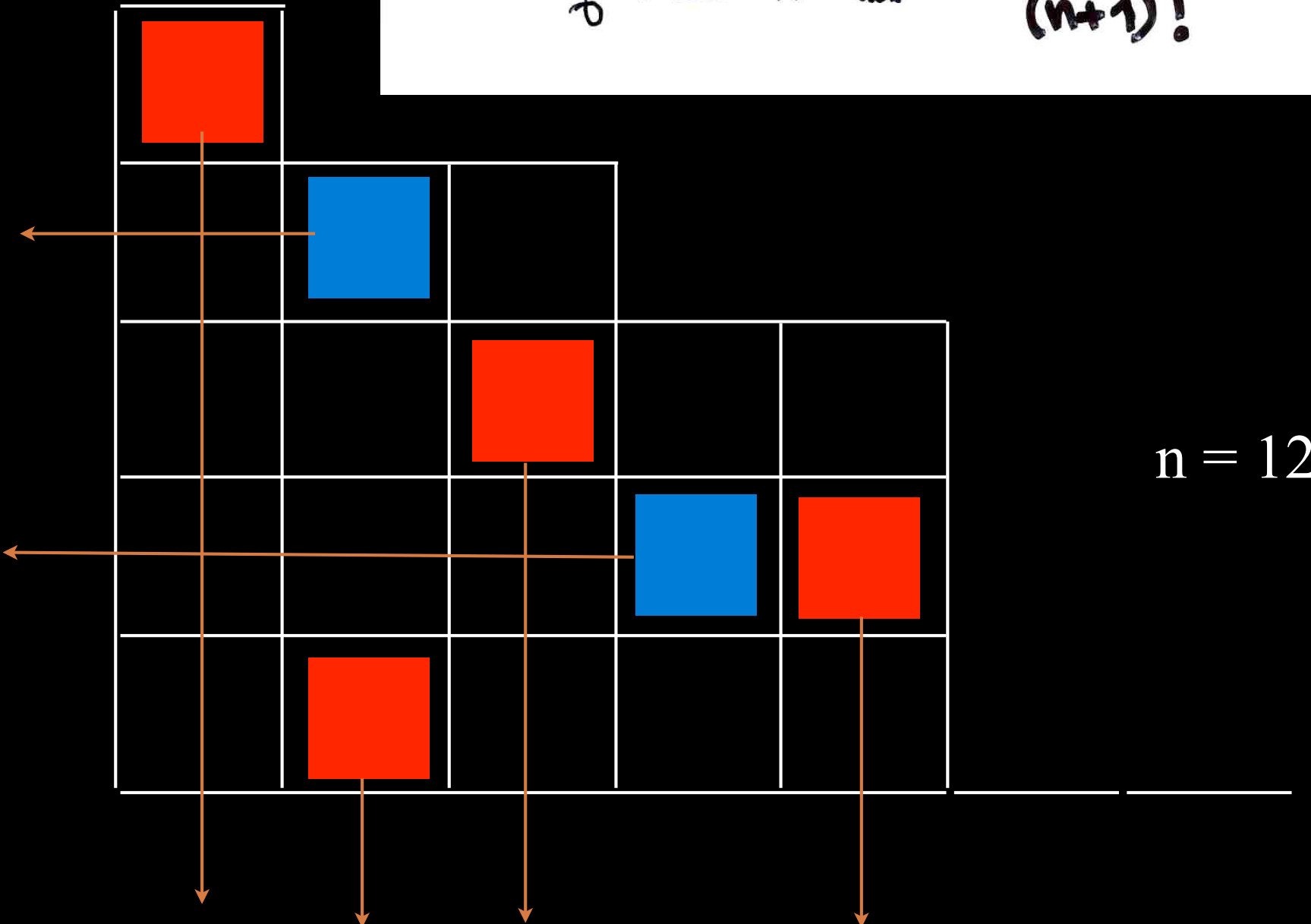
relation with

the Loday-Ronco Hopf algebra on binary trees

Claudia-Christophe Hopf algebra on permutations

number of  
alternative tableaux

Prop. The number of alternative tableaux of size  $n$  is  $(n+1)!$



ex: -  $n=2$



bijection  
permutations --- alternative tableaux

The “exchange-fusion” algorithm

Def- Permutation  $\sigma = \sigma(1) \dots \sigma(n)$

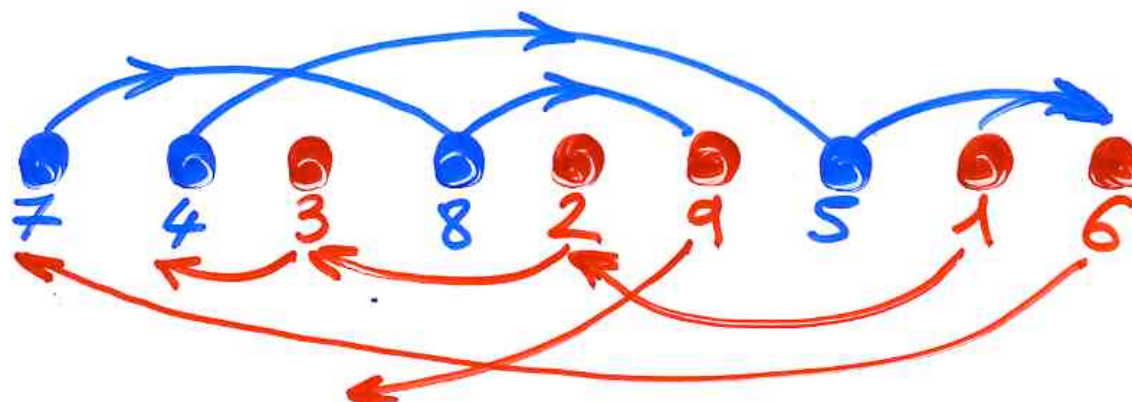
$$x = \sigma(i), \quad 1 \leq x < n$$

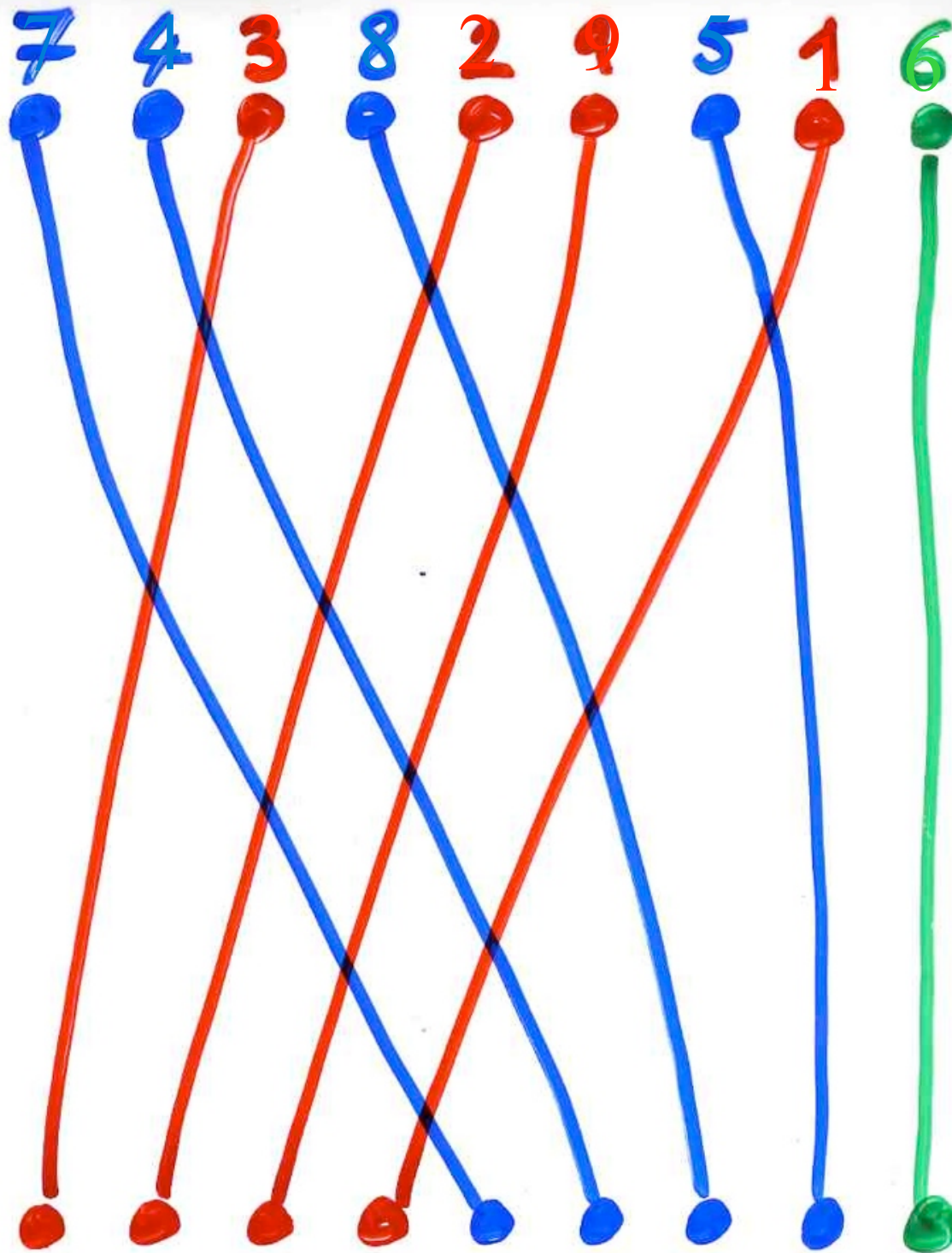
(valeur)  $x \begin{cases} \text{avance} \\ \text{recul} \end{cases}$   $x+1 = \sigma(j), \quad \begin{cases} i < j \\ j < i \end{cases}$

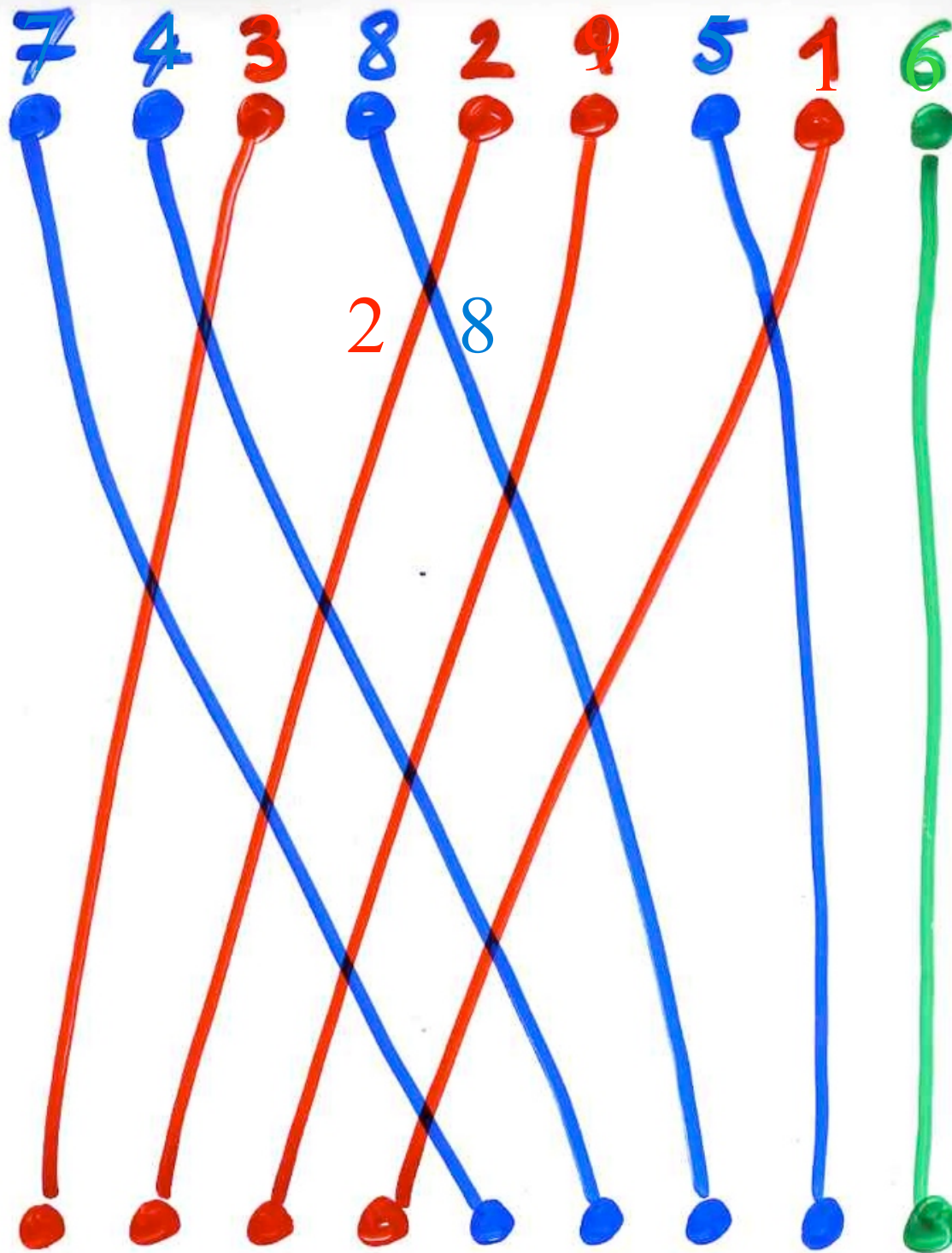
- convention  $x=n$  est un recul

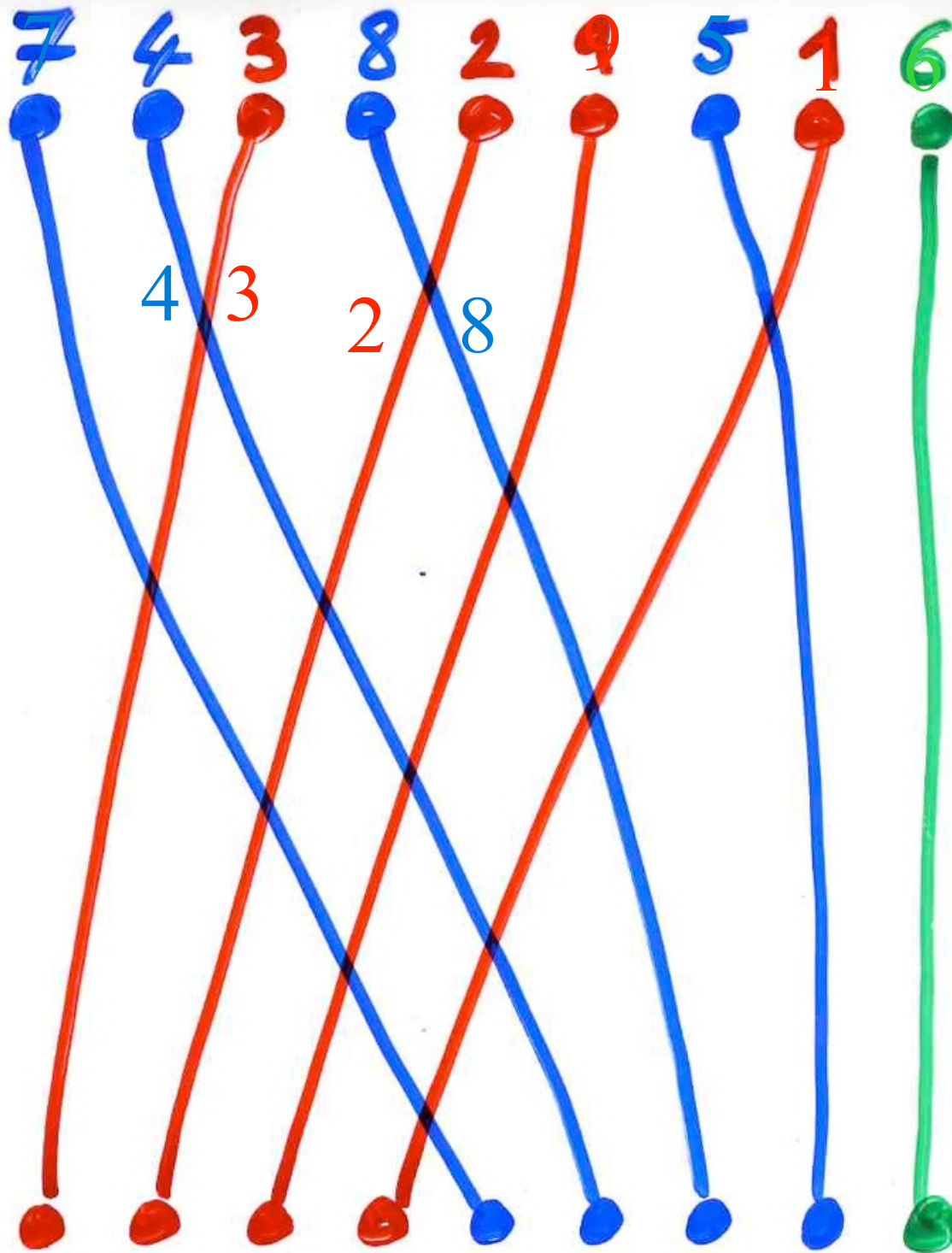


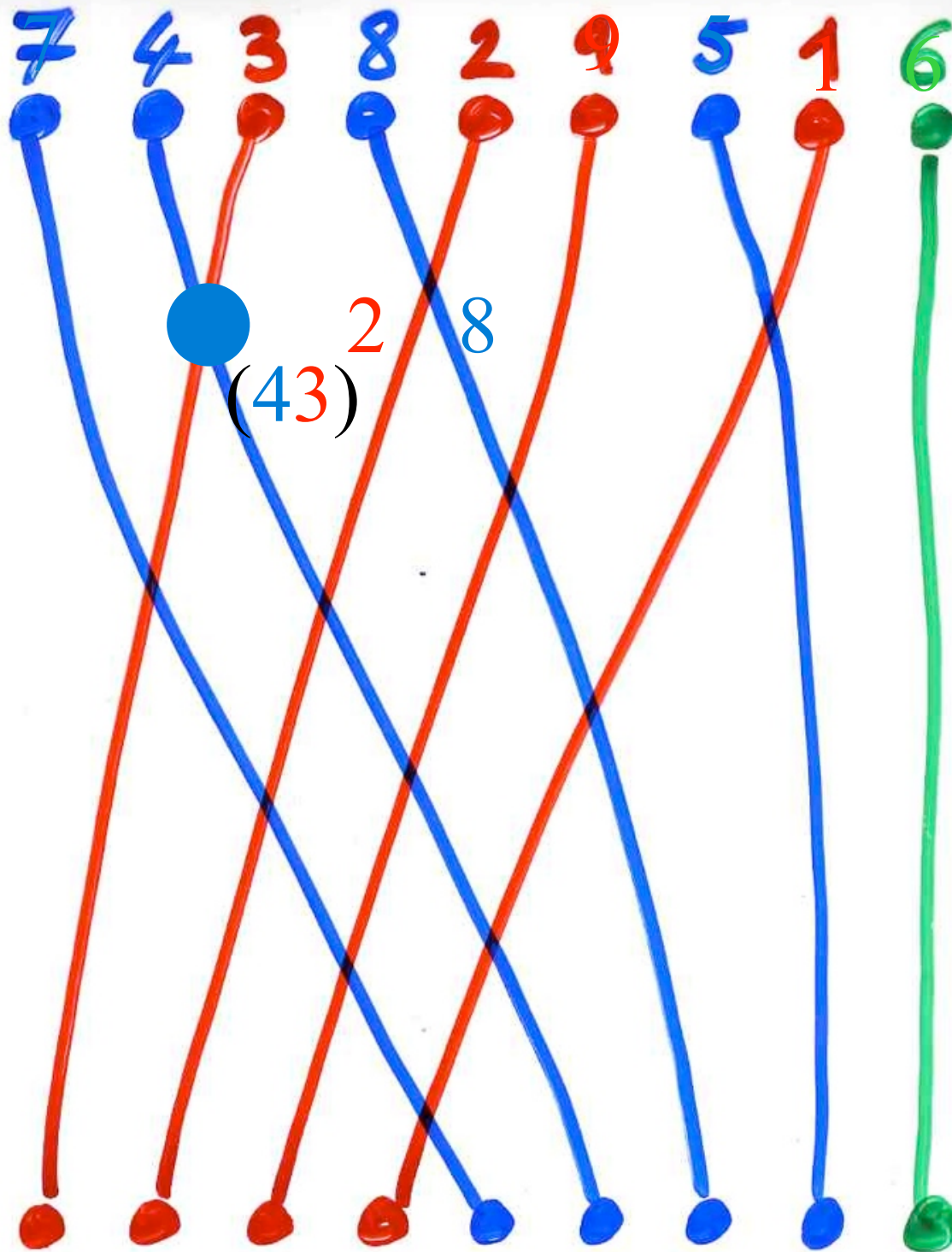
$$\sigma = 7 \ 4 \ 3 \ 8 \ 2 \ 9 \ 5 \ 1 \ 6$$

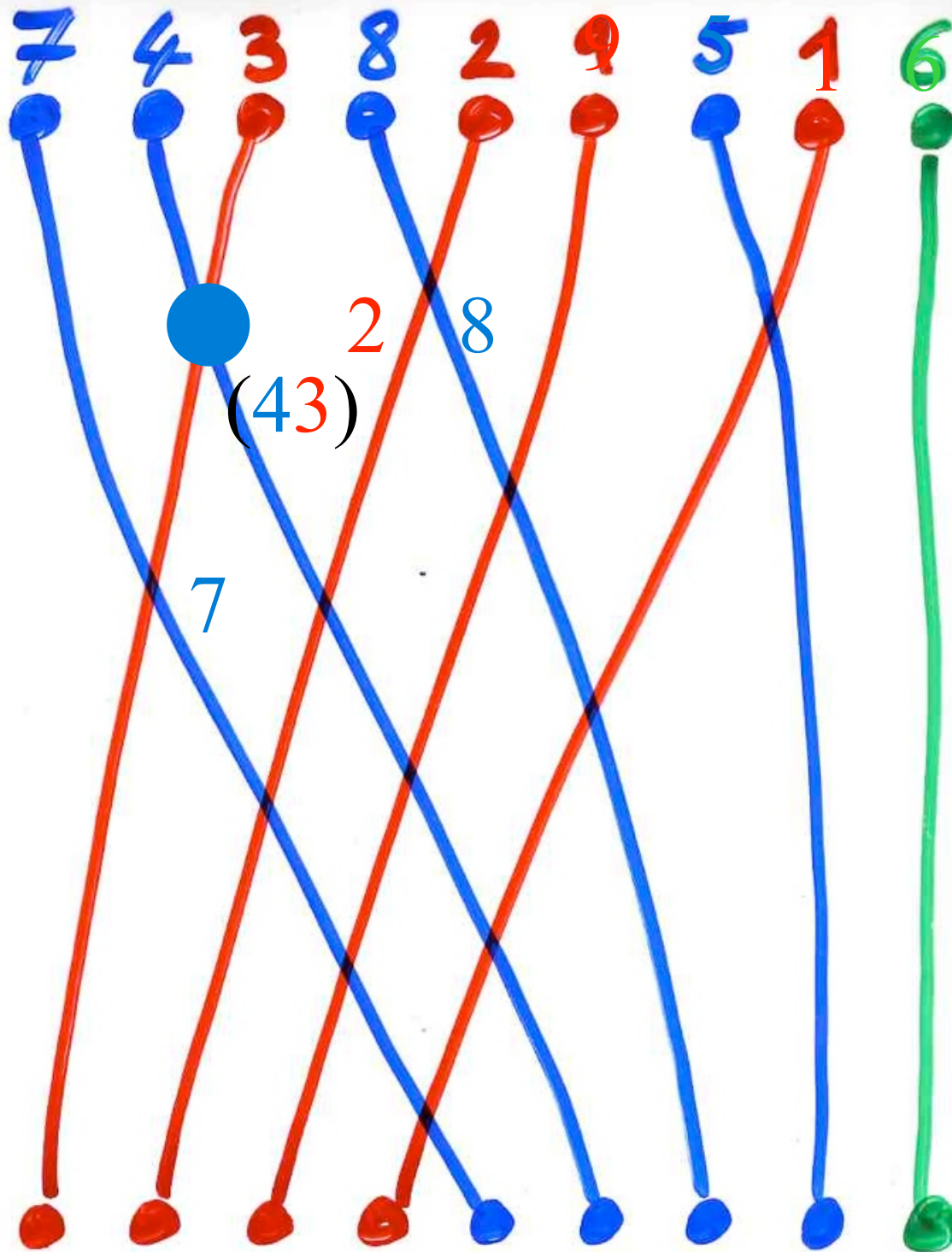


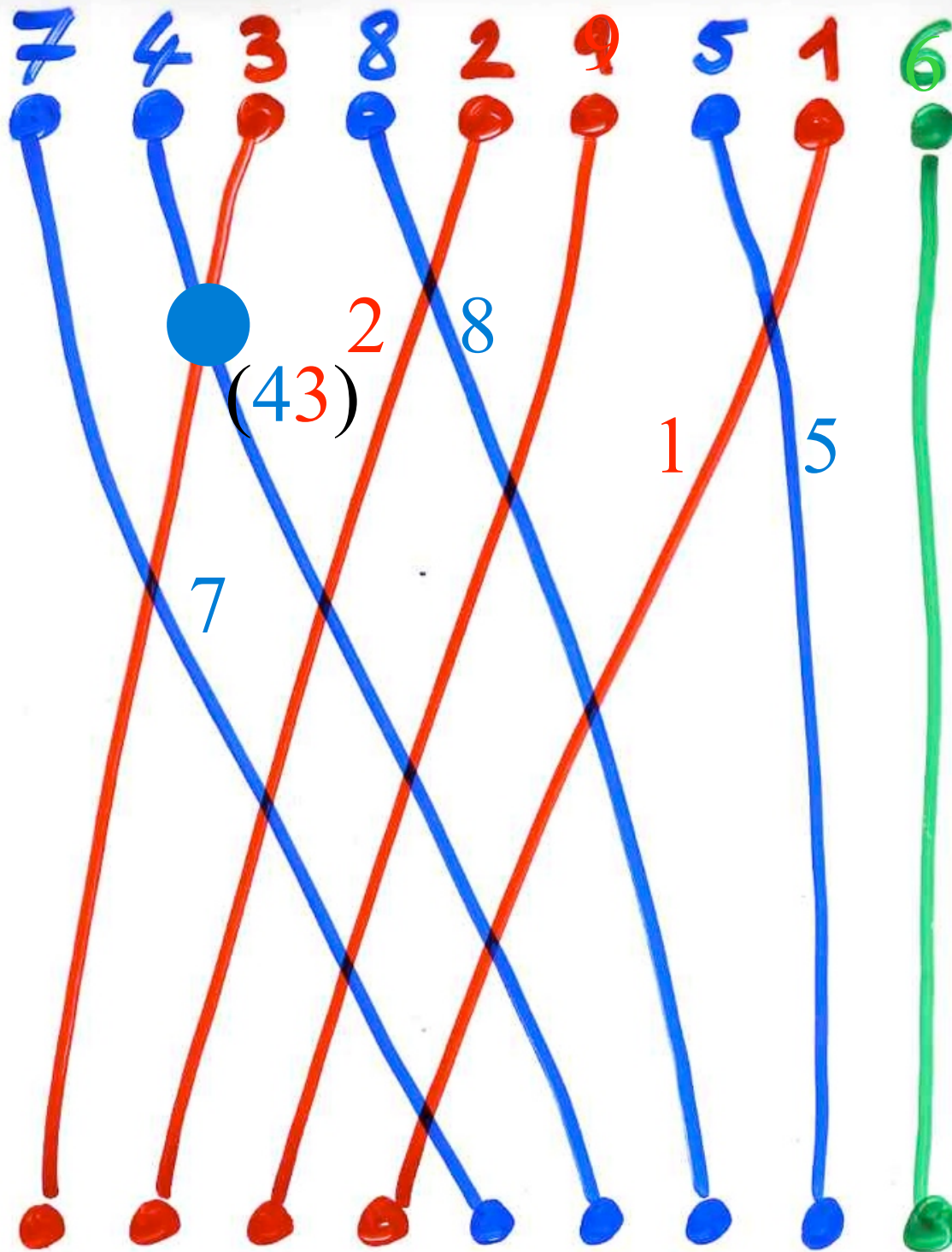


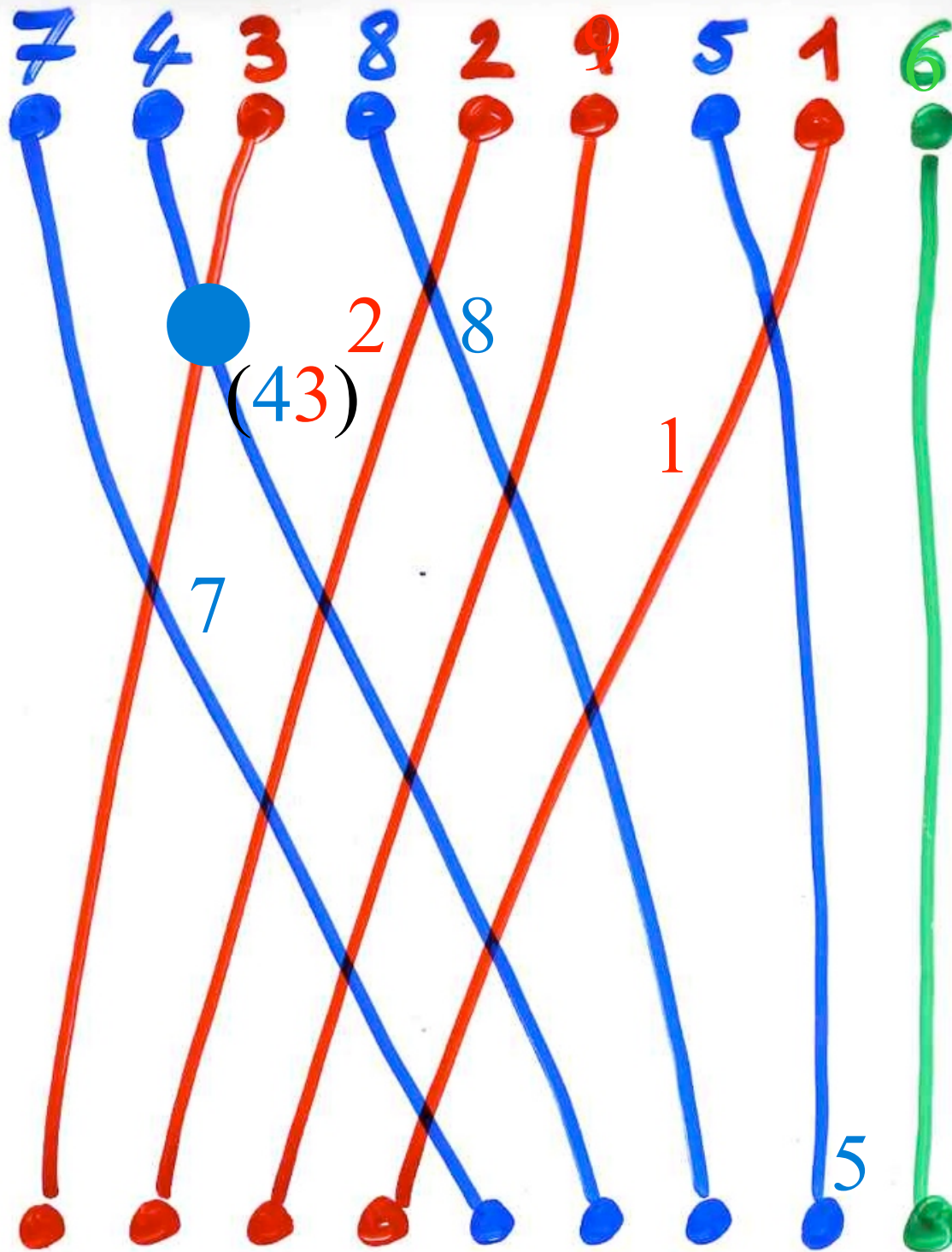


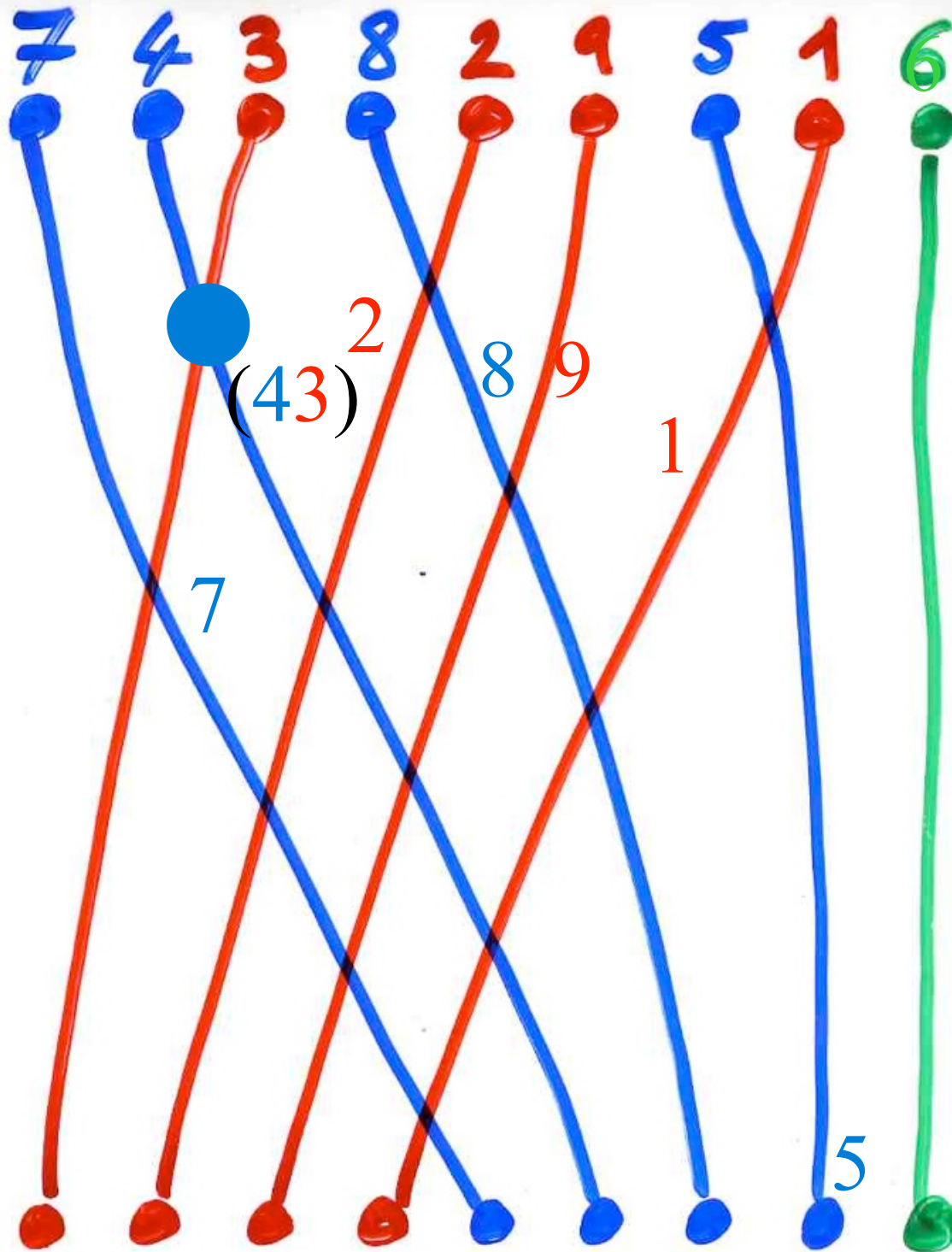


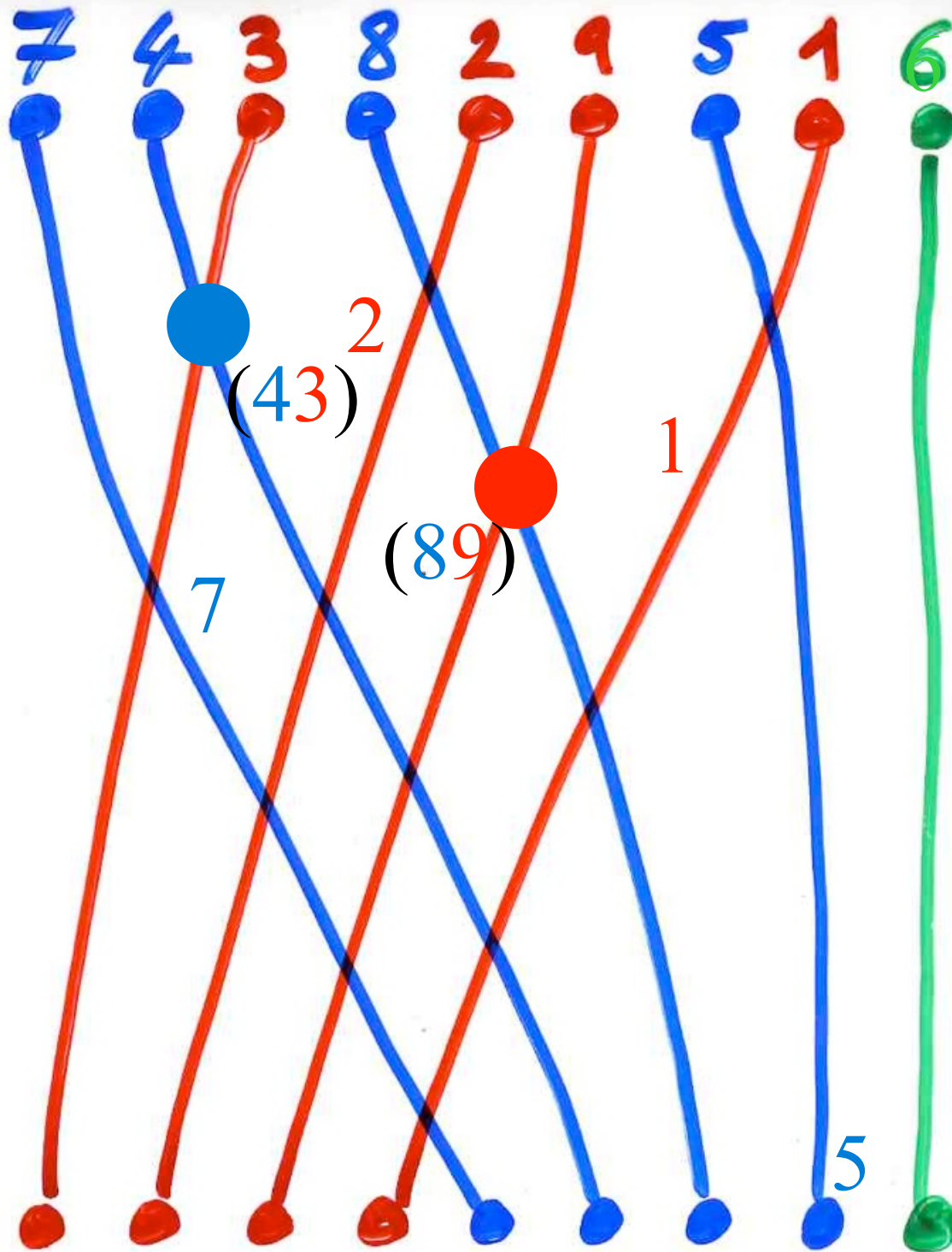


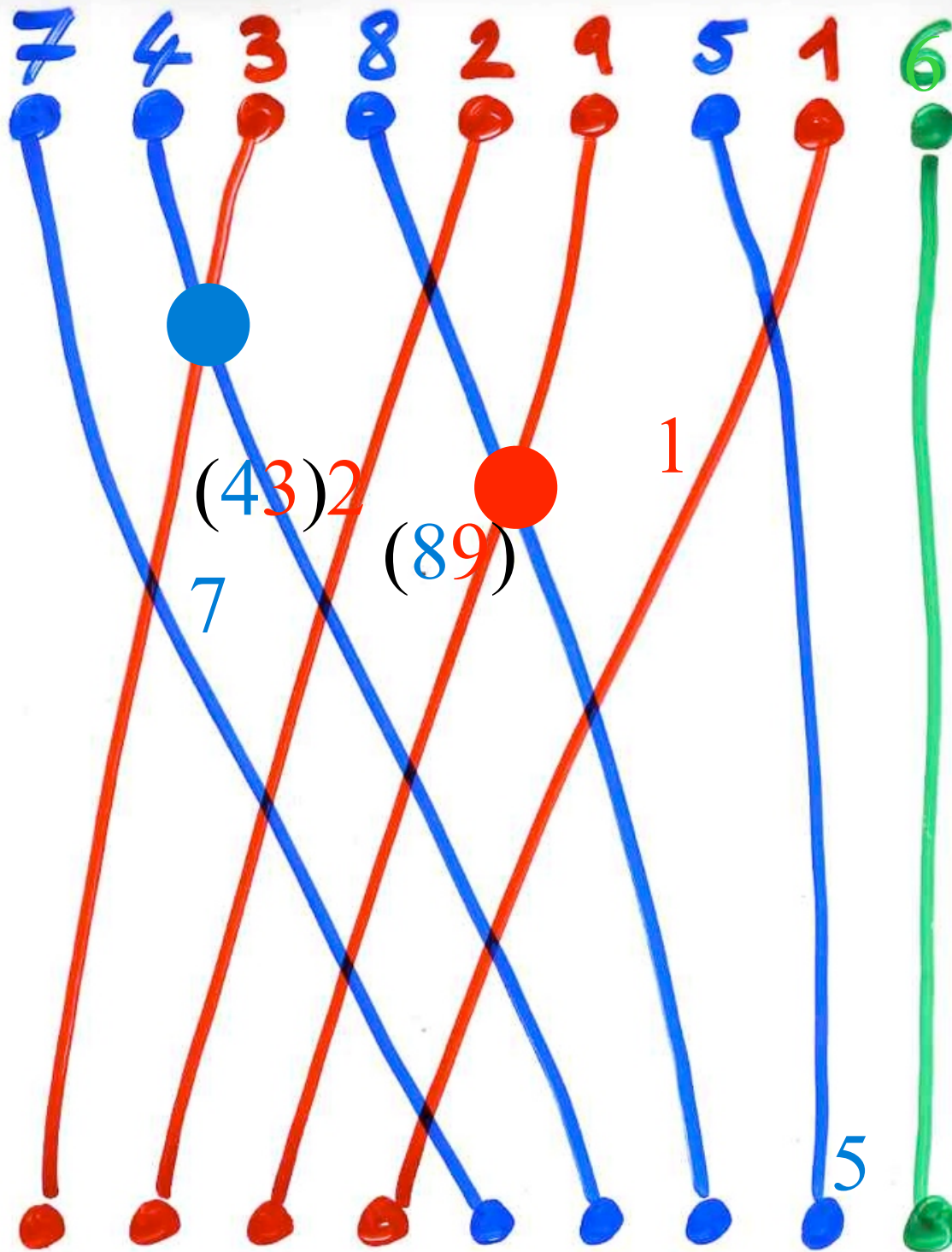


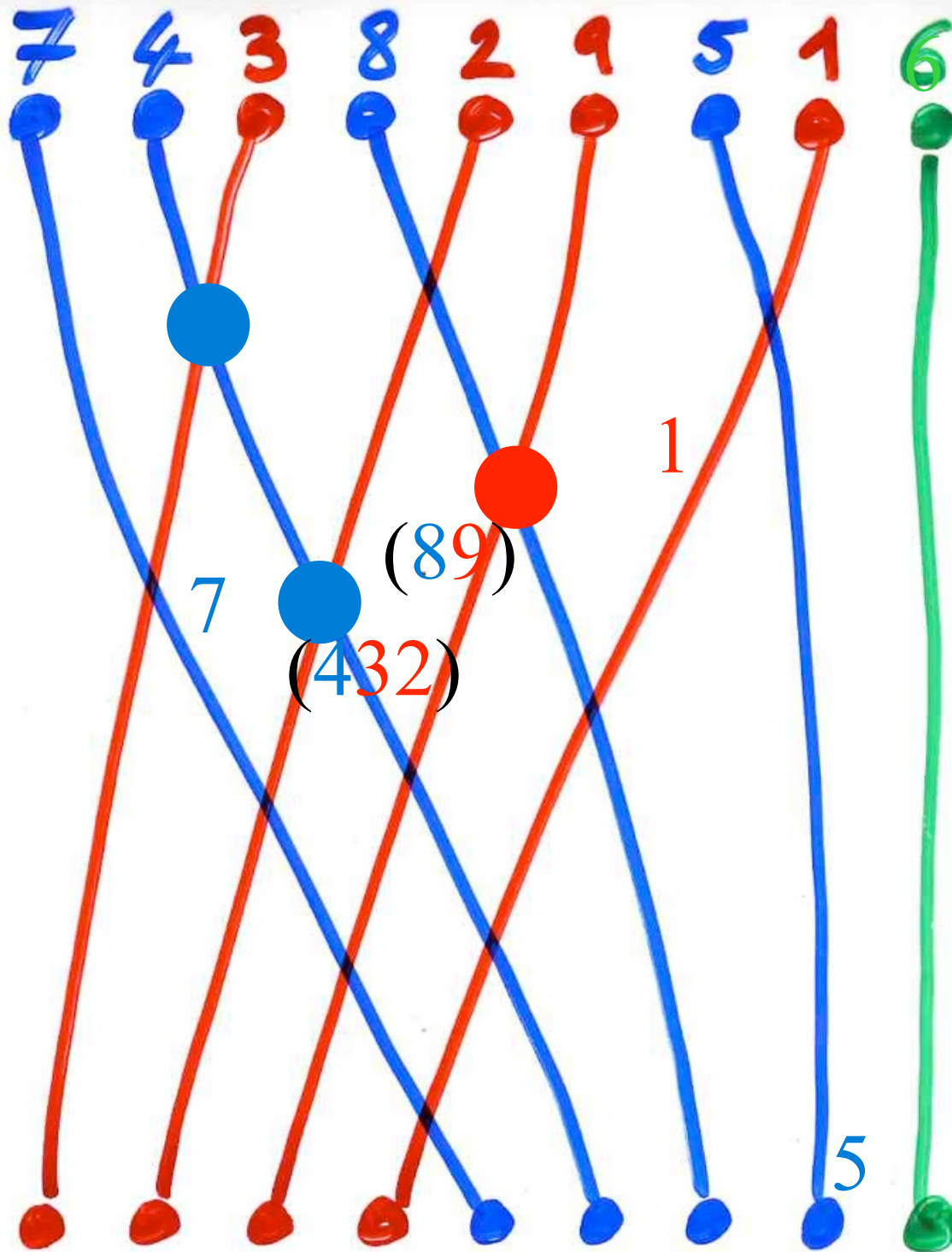


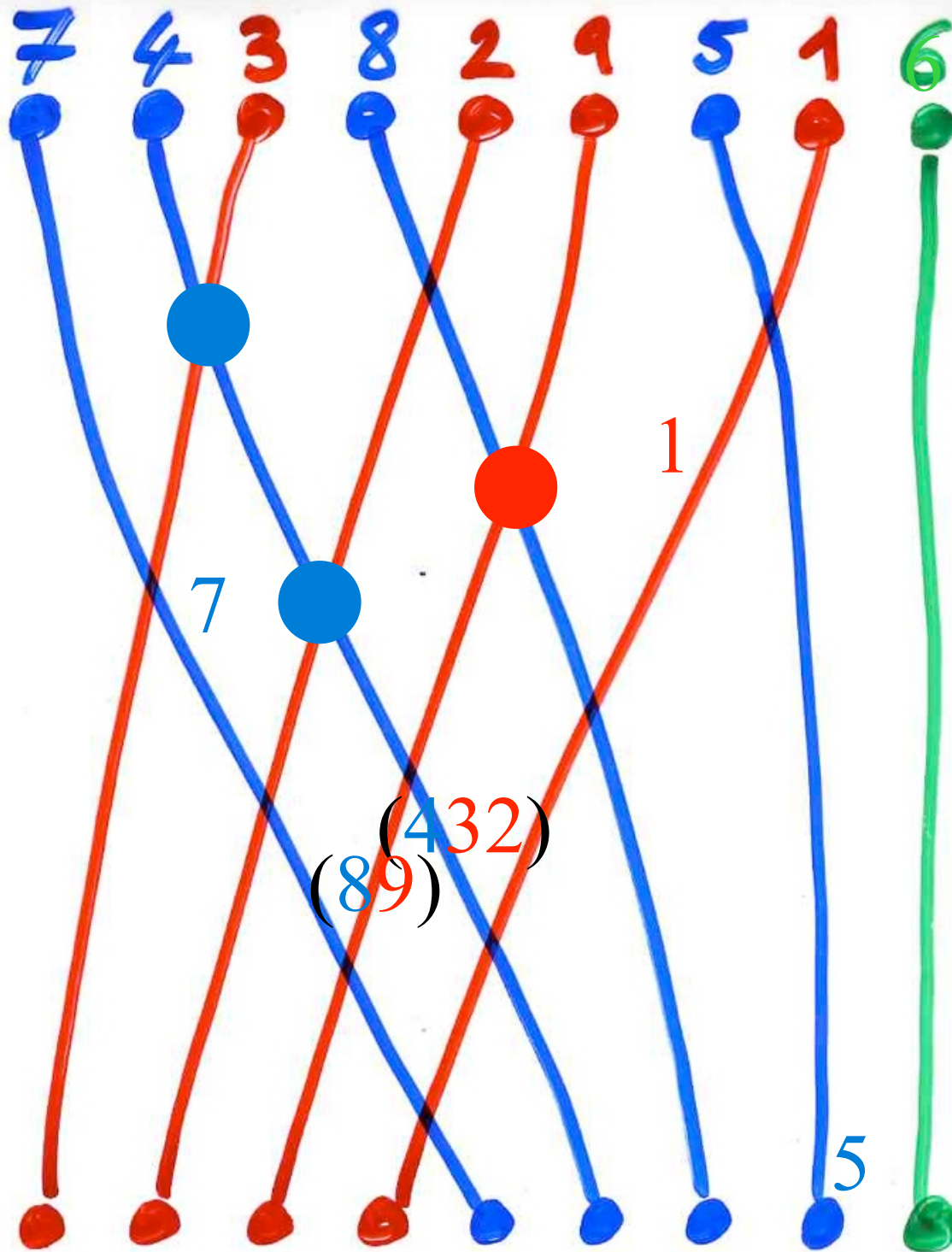


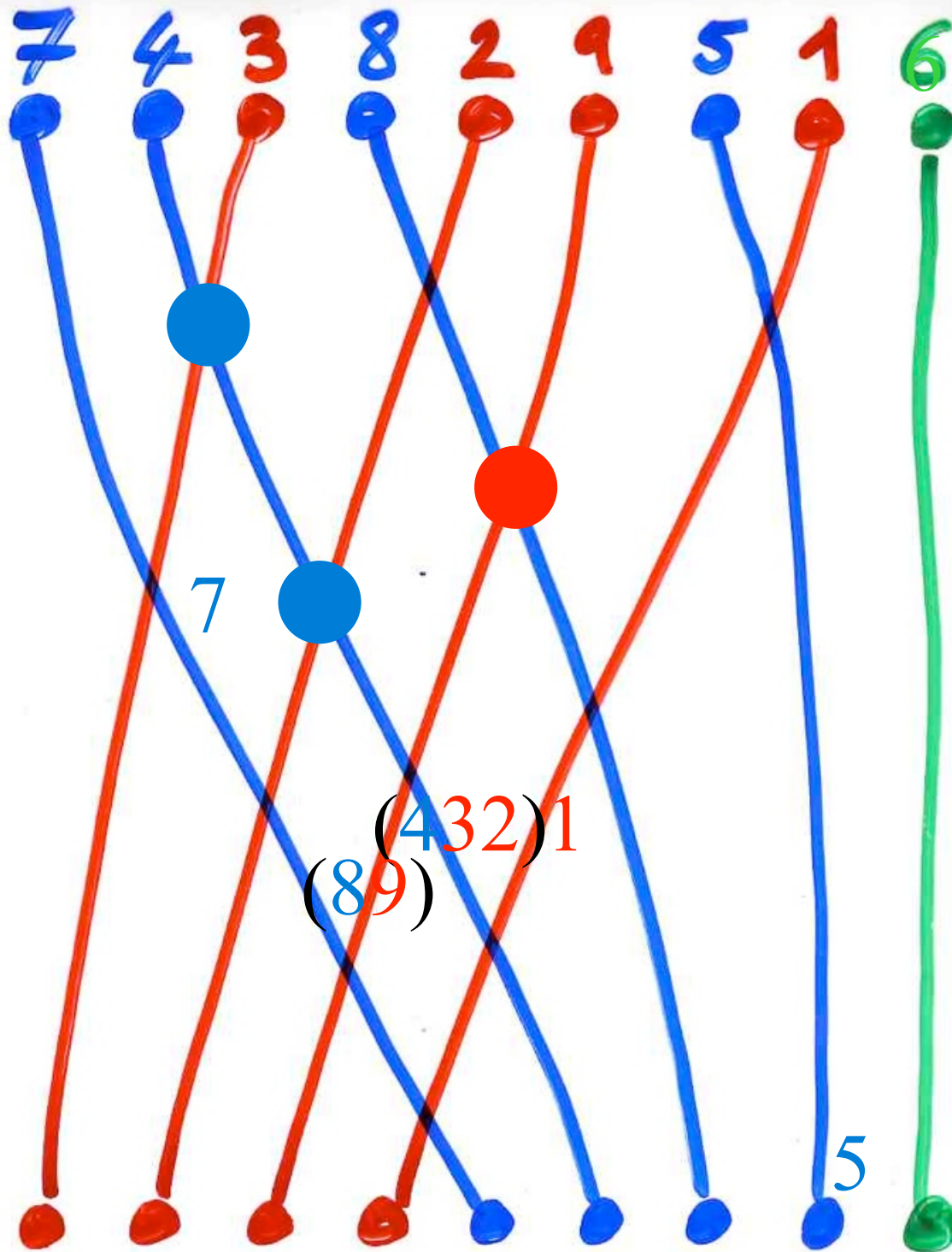


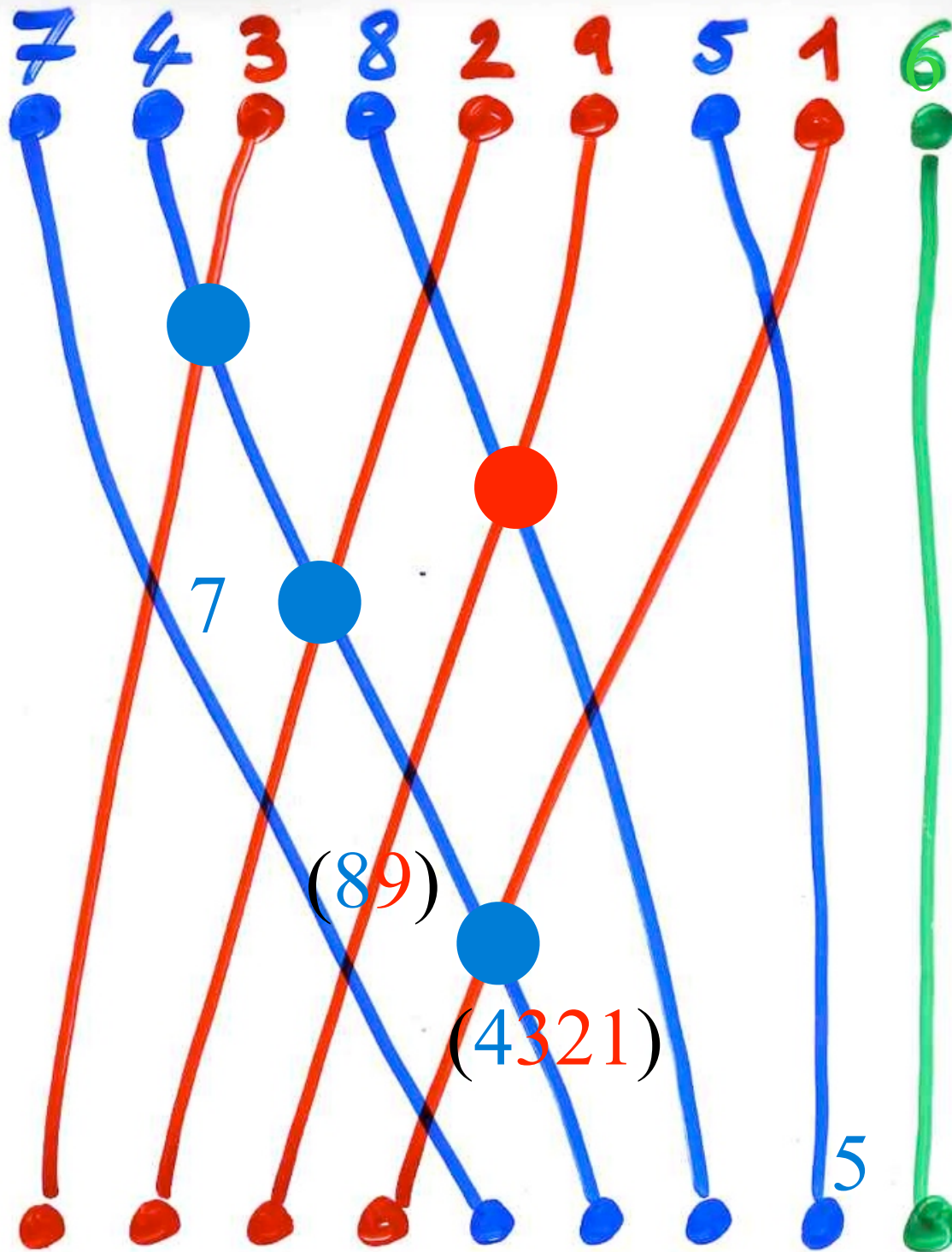


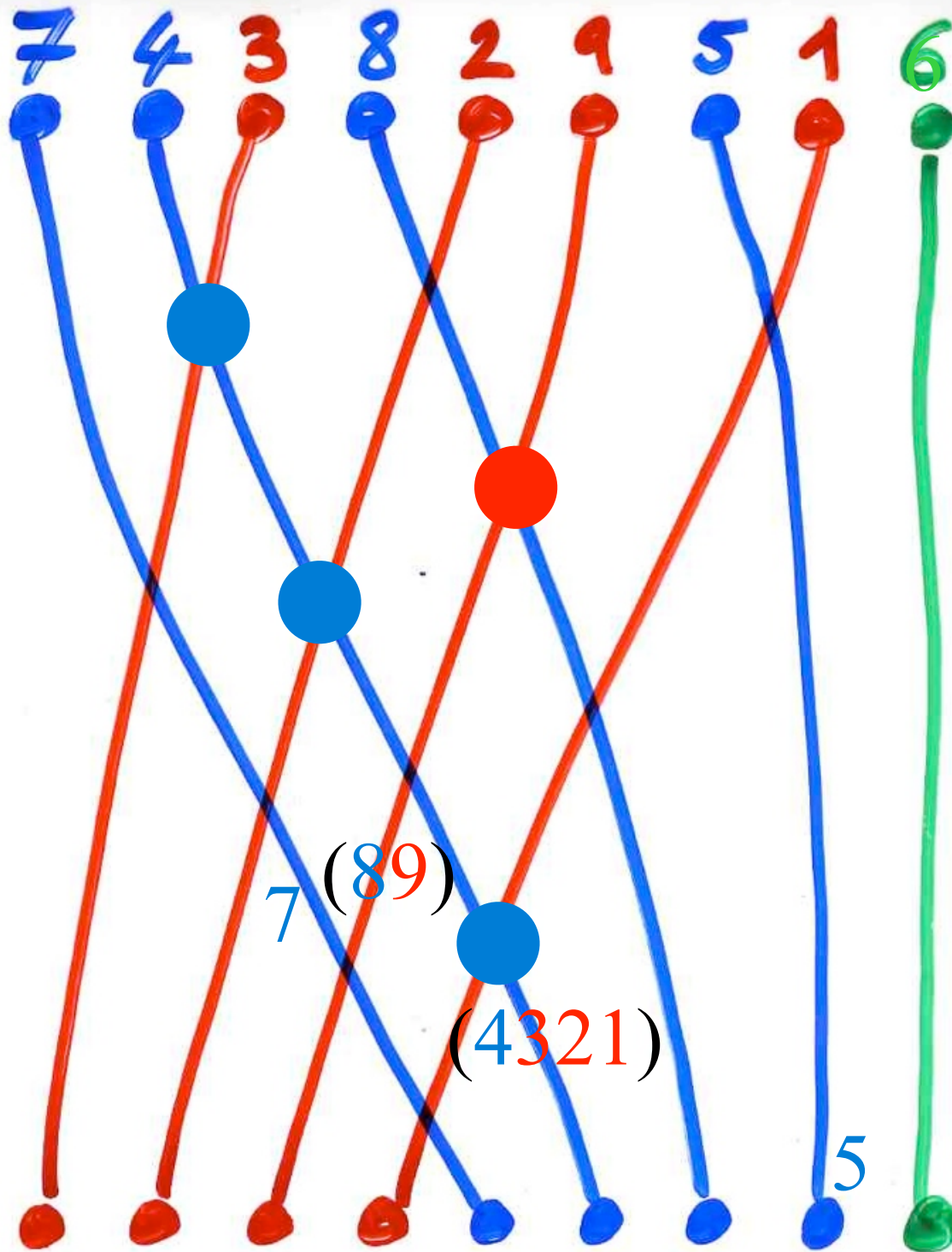


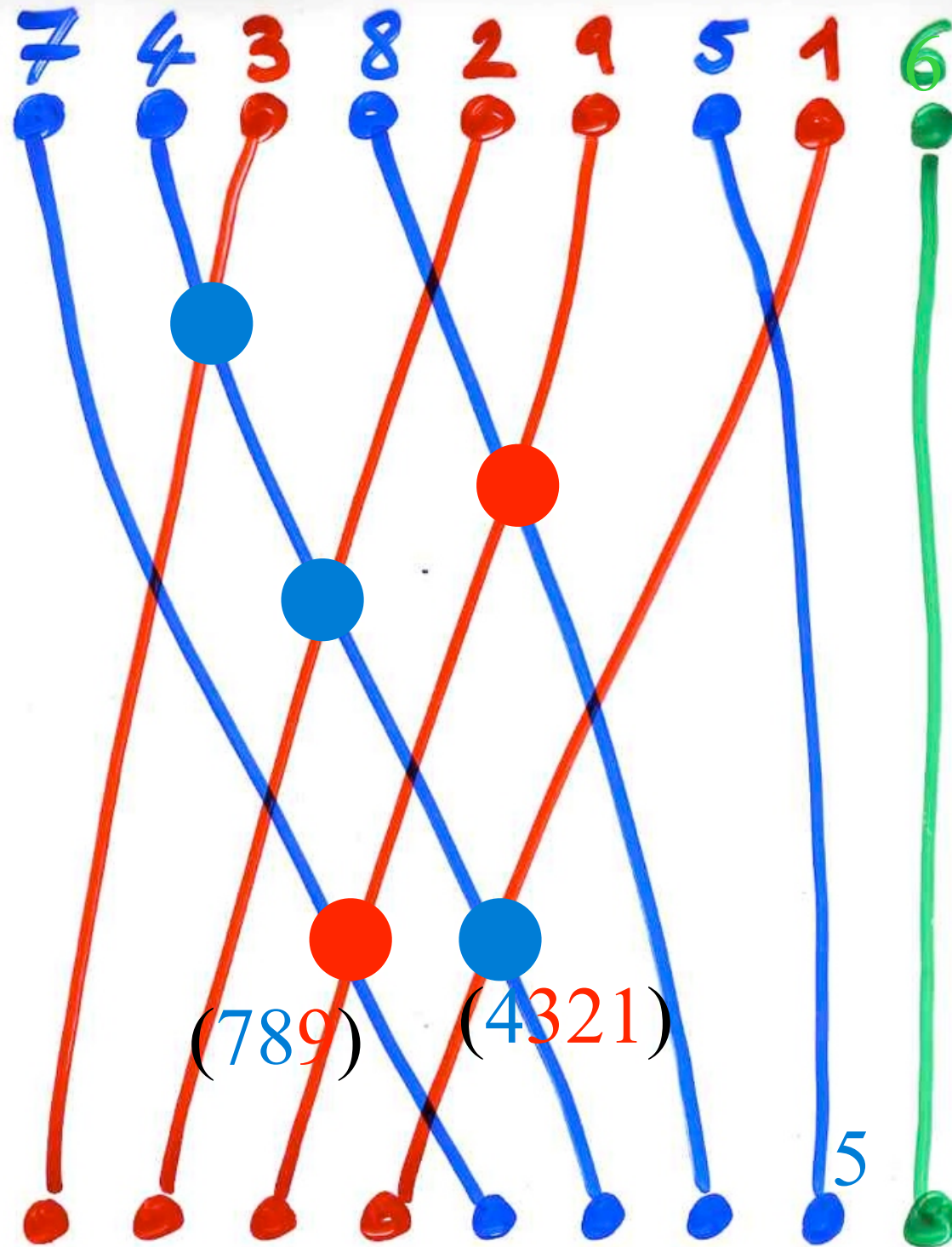




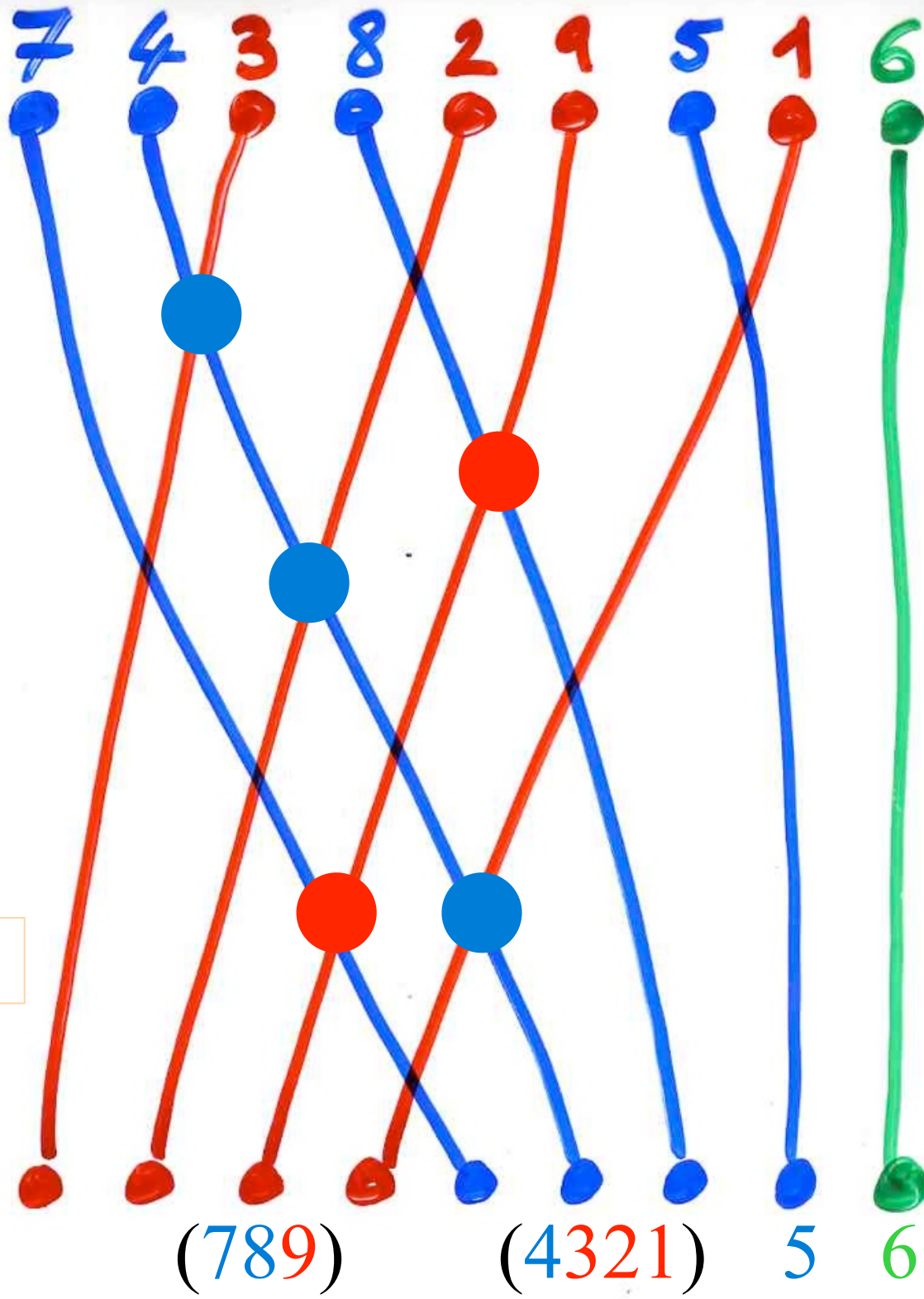
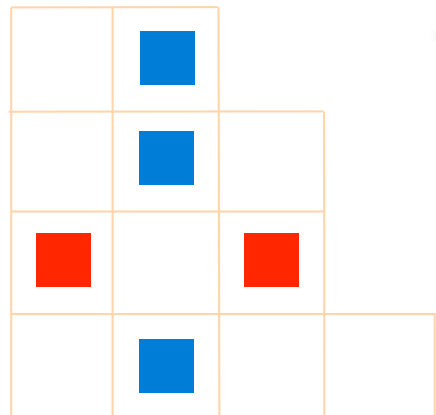




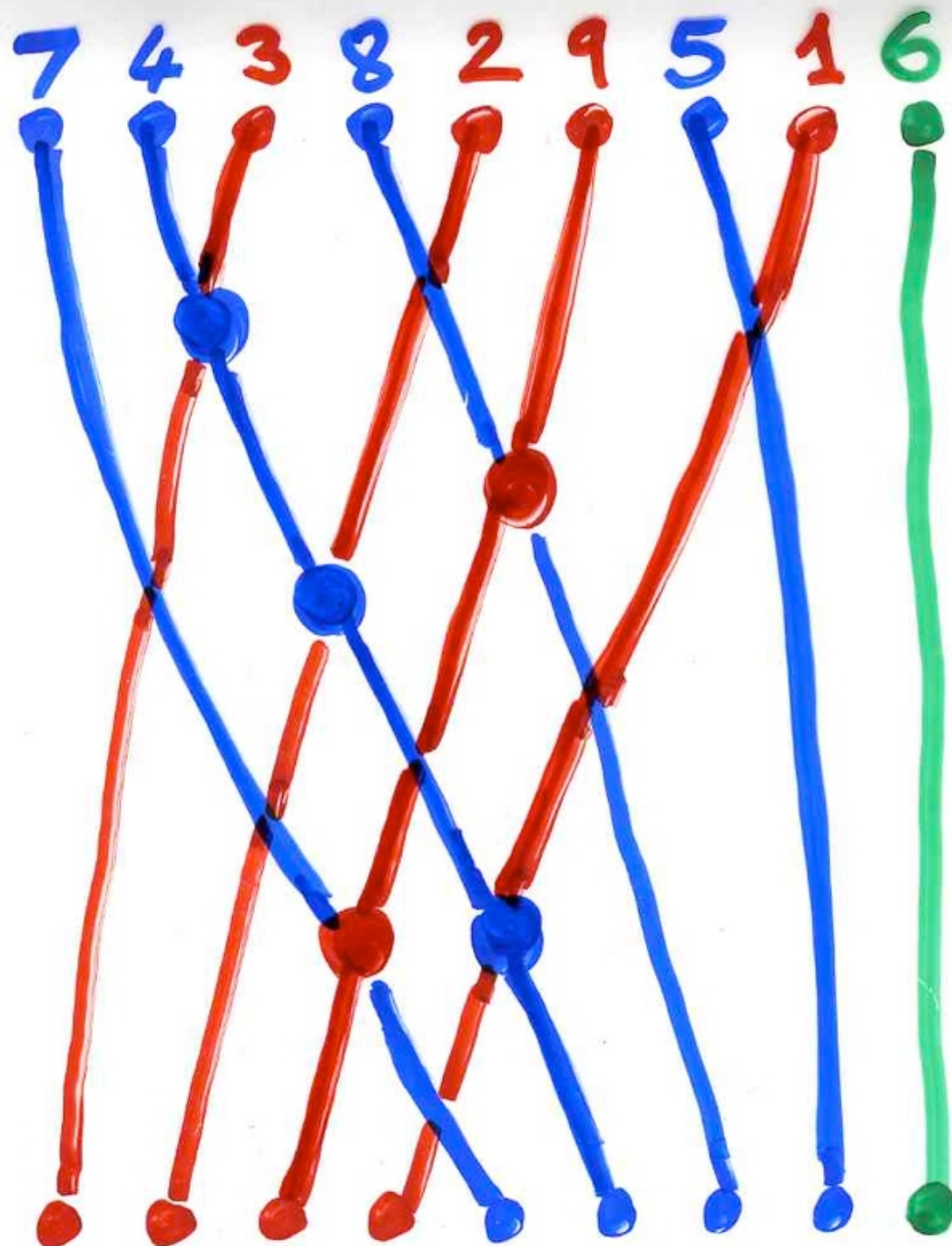


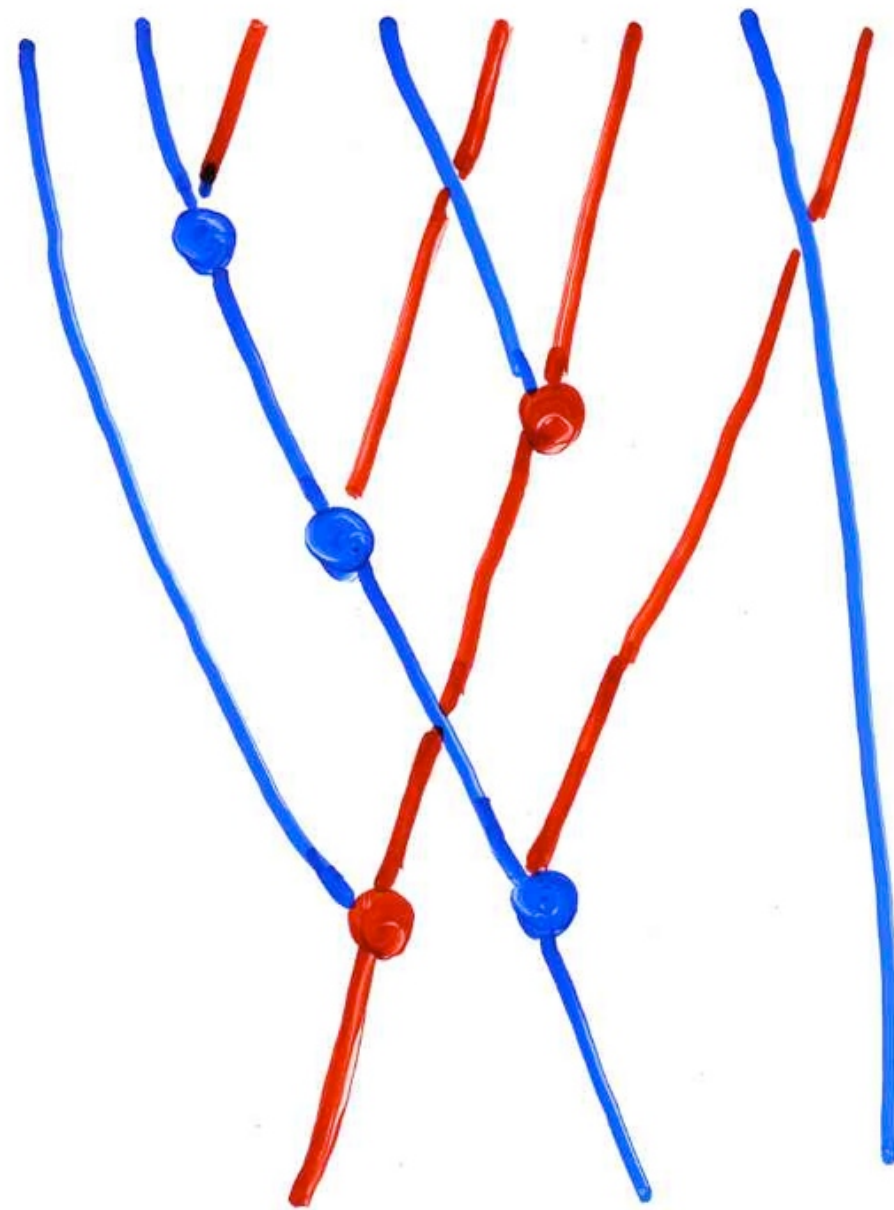


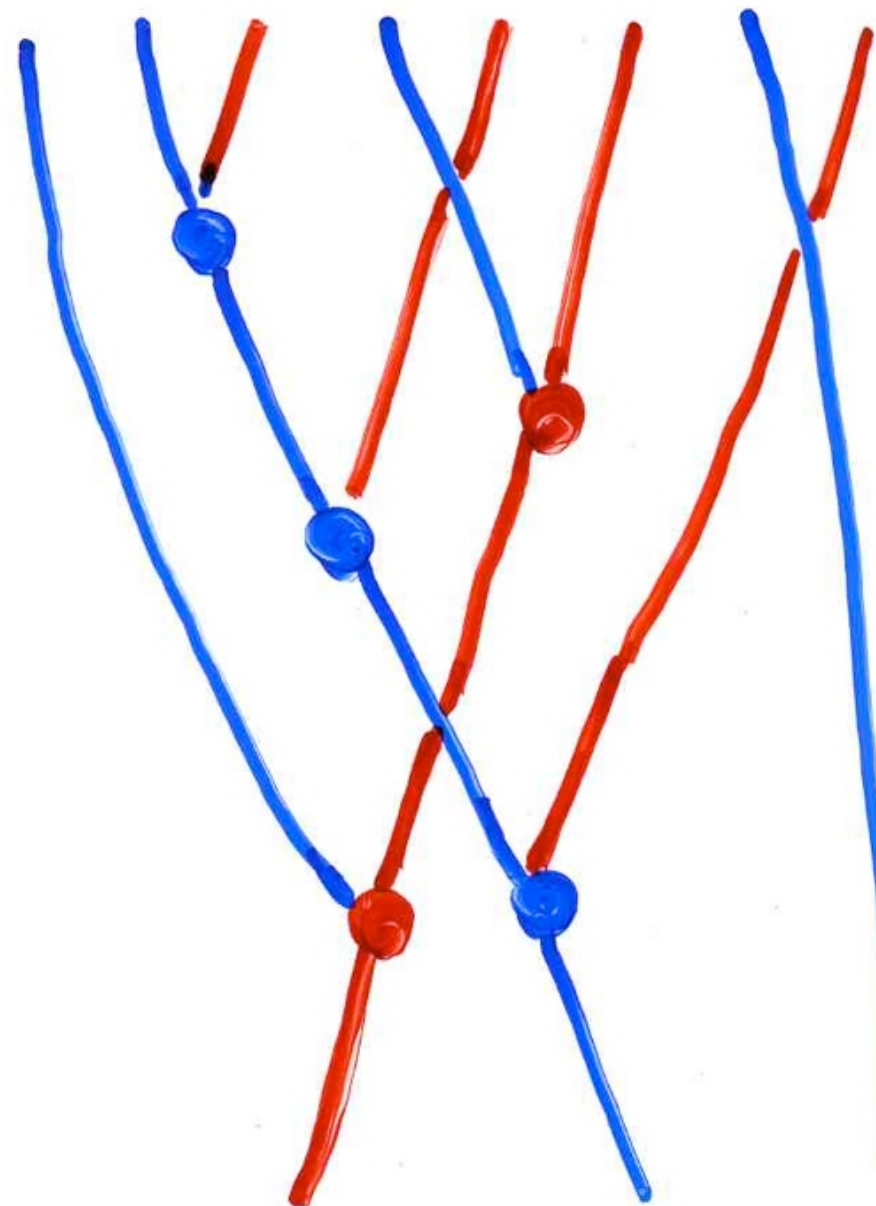
“exchange-fusion” algorithm



The inverse  
“exchange-  
fusion”  
algorithm





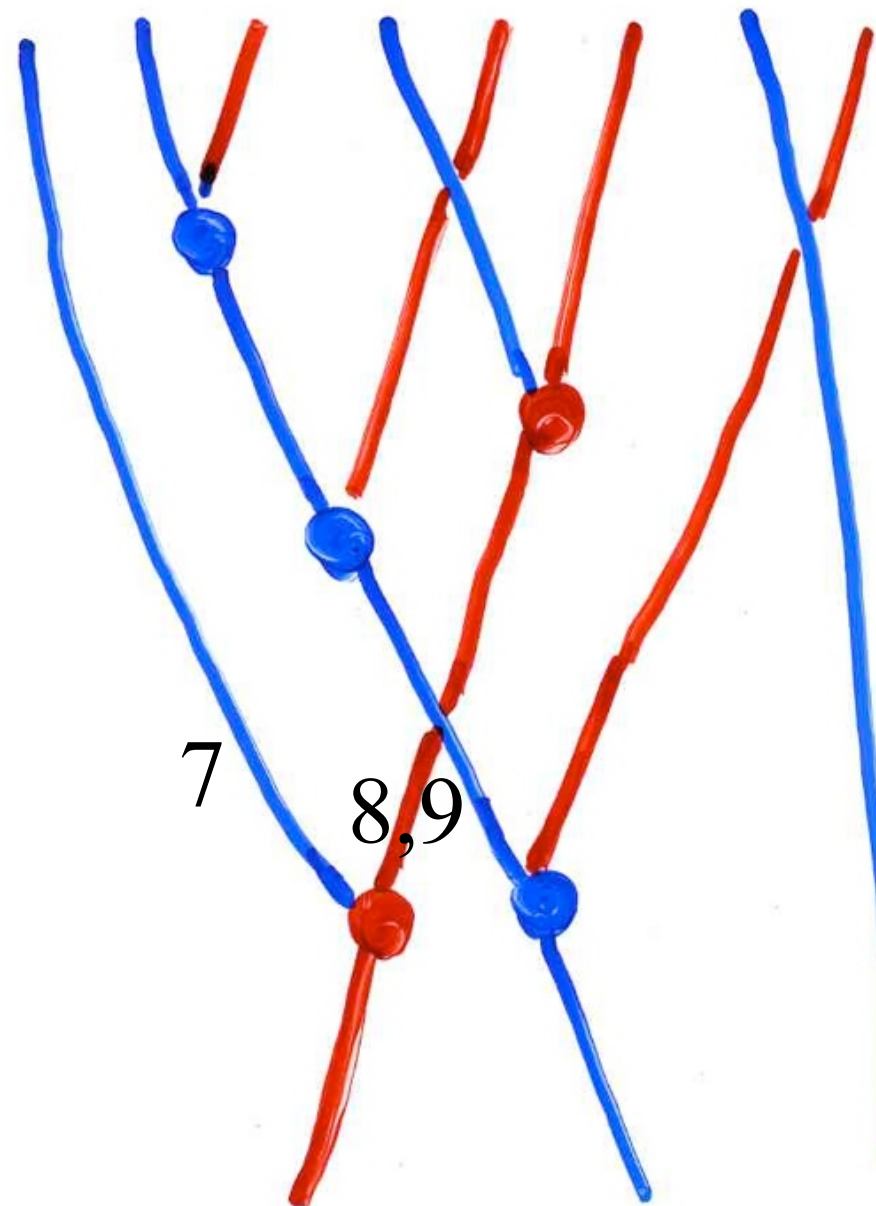


7,8,9

1,2,3,4

5

6

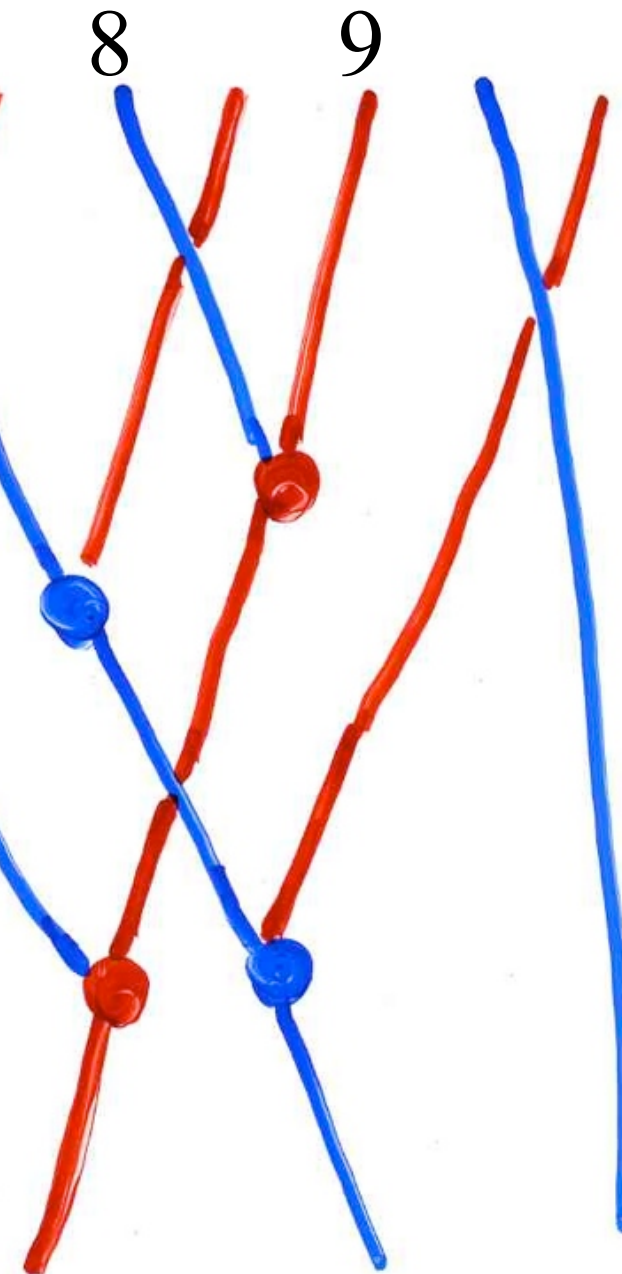


1,2,3,4    5    6

7

8

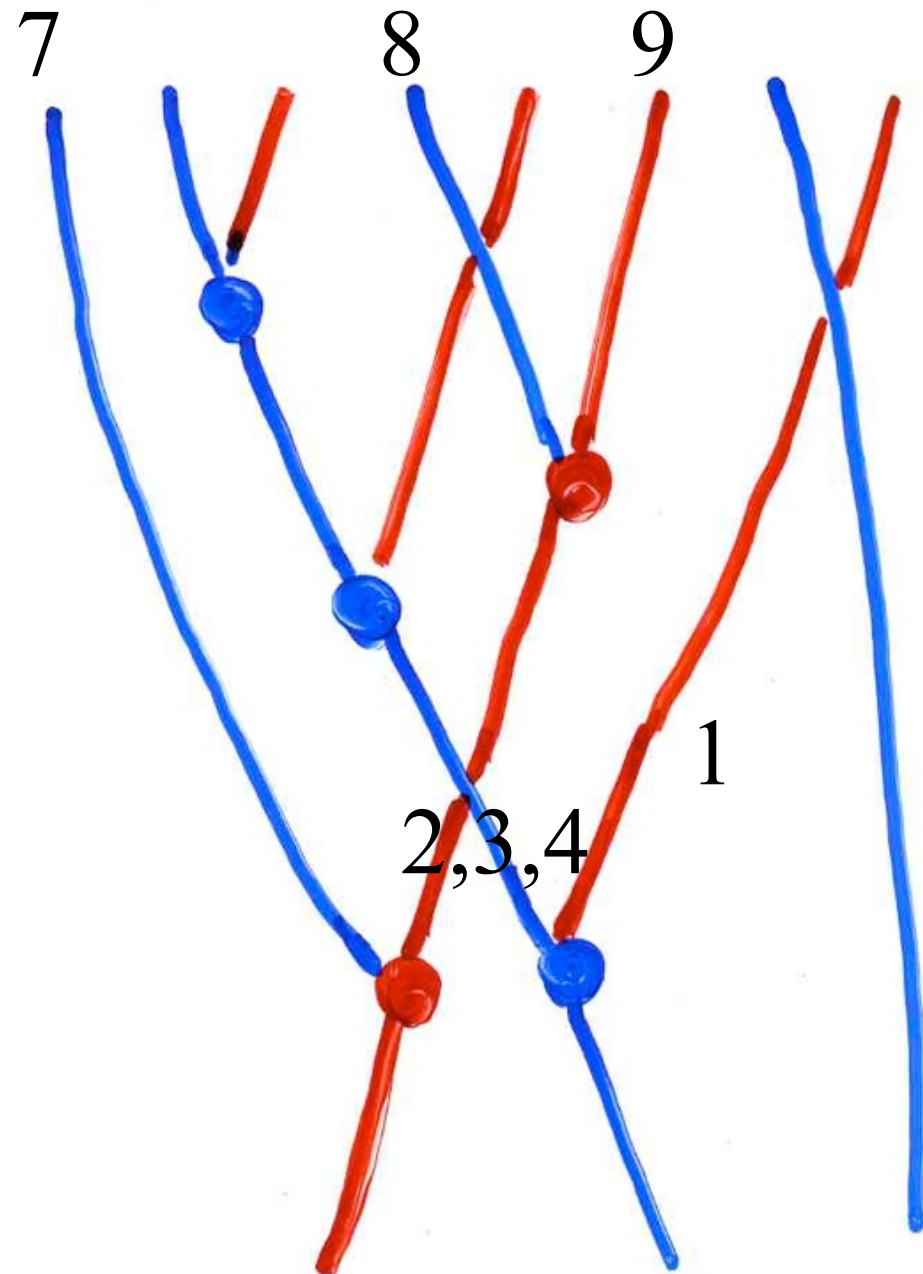
9



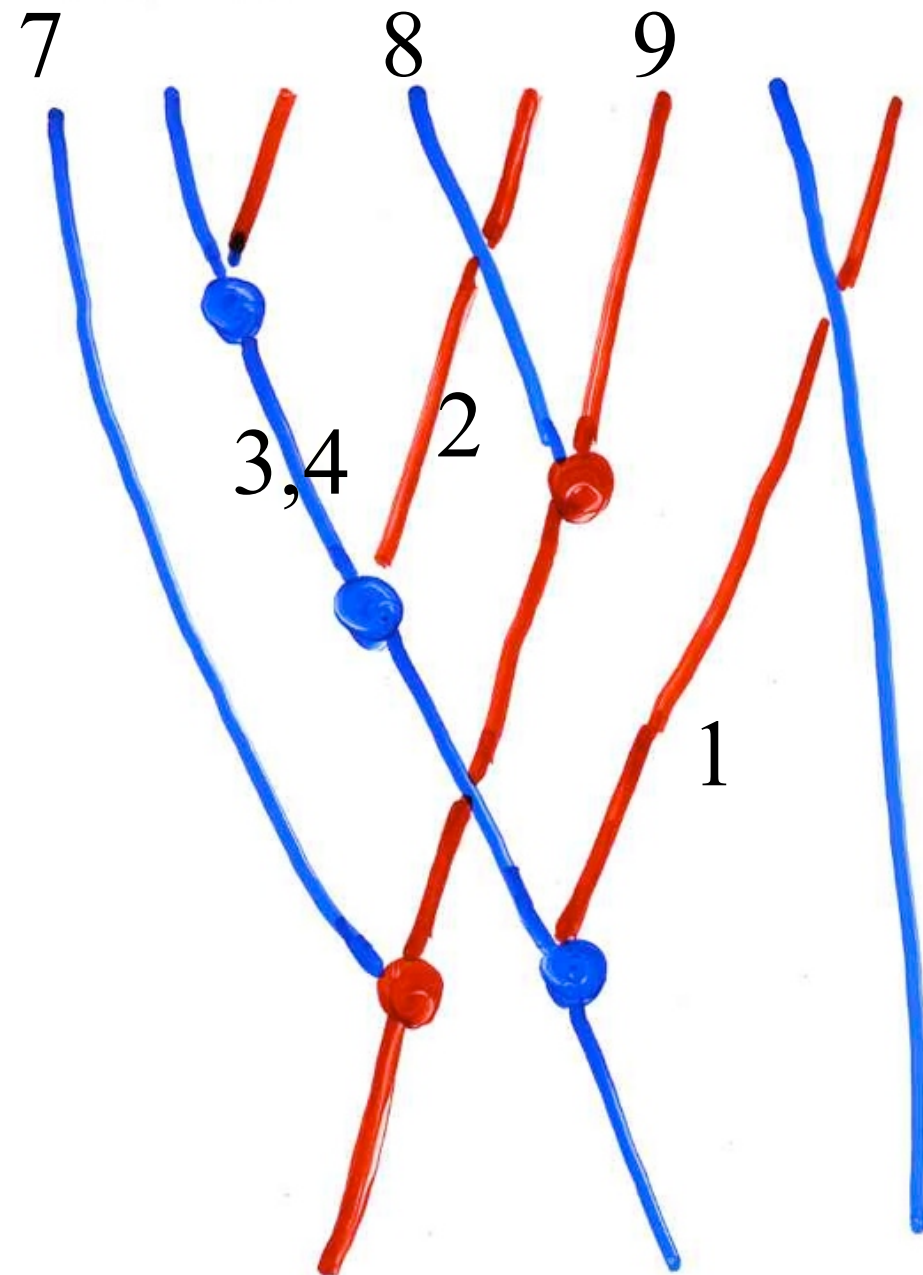
1,2,3,4

5

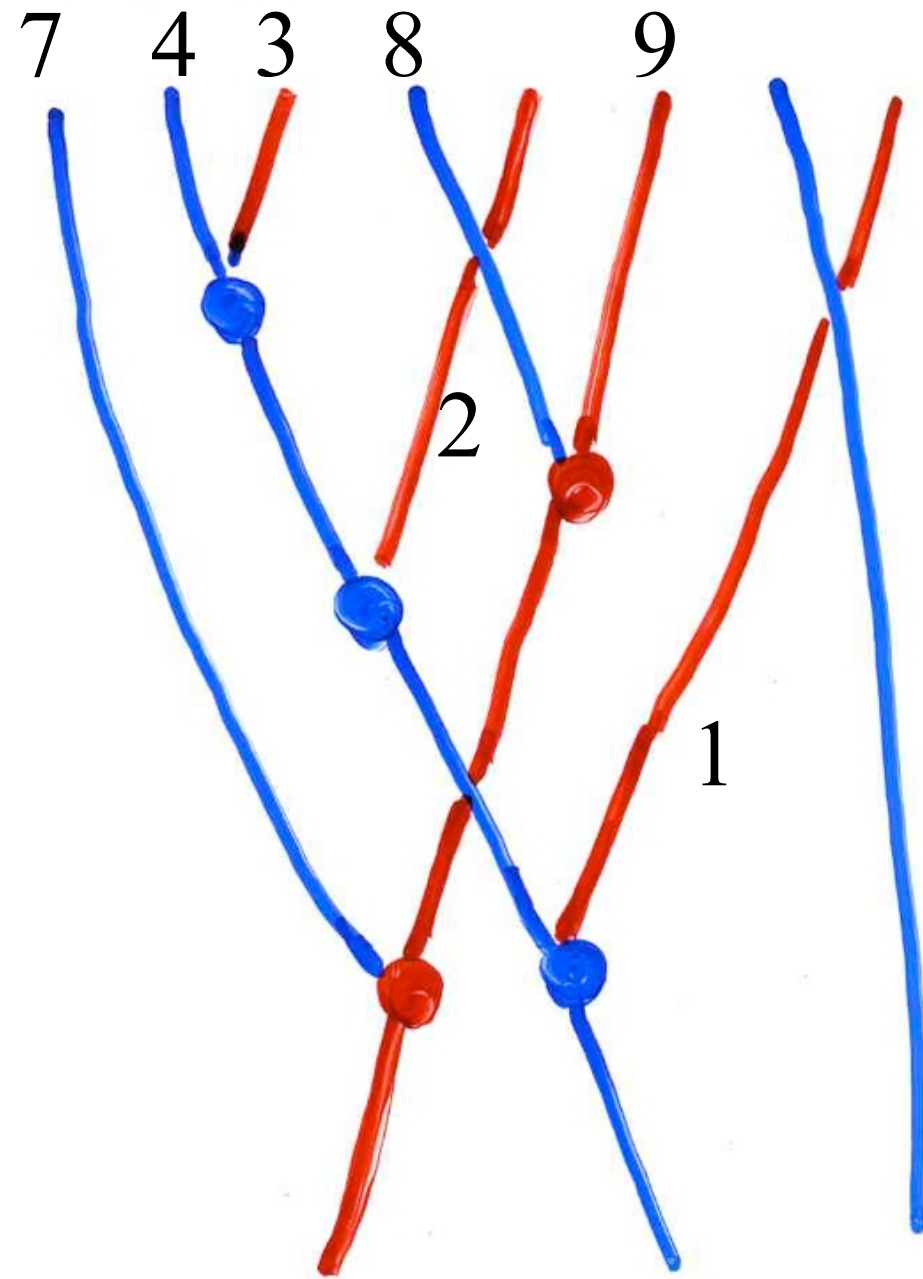
6



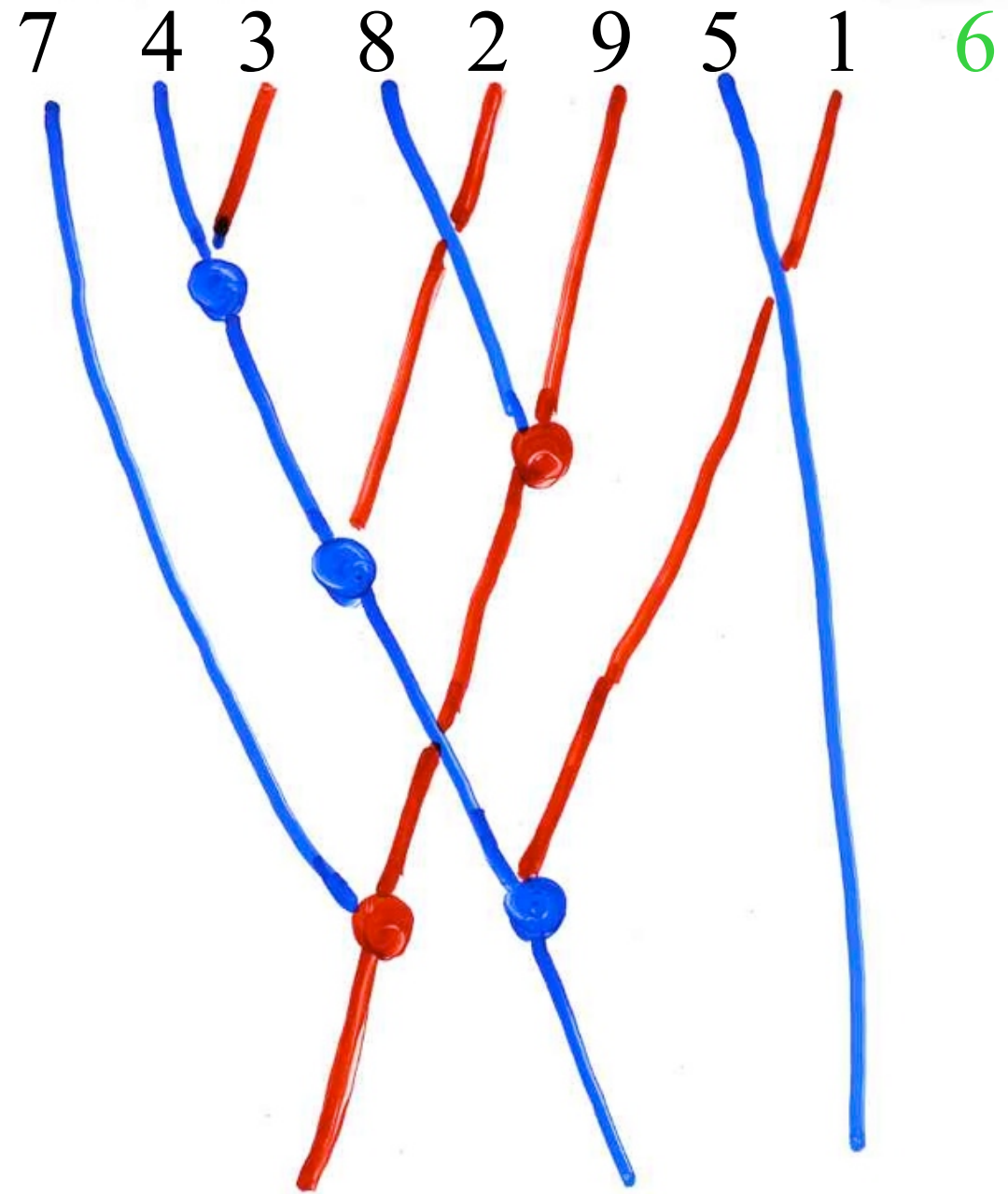
5 6



5      6



5 6



this bijection was constructed  
from a combinatorial representation  
of the PASEP algebra

and using the methodology  
of the «Cellular Ansatz»

# "The cellular Ansatz"

Physics

"normal ordering"

$$UD = DU + \text{Id}$$

Weyl-Heisenberg

$$DE = qED + E + D$$

PASEP

dynamical systems in physics  
stationary probabilities

quadratic algebra  $Q$

commutations  
rewriting rules

planarization

combinatorial  
objects  
on a 2d lattice

bijections

rooks placements

permutations

alternative tableaux

RSK



pairs of Tableaux Young

permutations

Laguerre histories

representation  
by operators

data structures  
"histories"  
orthogonal  
polynomials

Q-tableaux

for the PASEP algebra

$$DE = qED + E + D$$

representation with operators  
related to the combinatorial theory  
of orthogonal polynomials  
and data structures in computer science

J. Françon 1976  
data structure histories

"histoires de fichiers"

24

17

10

8

24

17

← 12

10

8

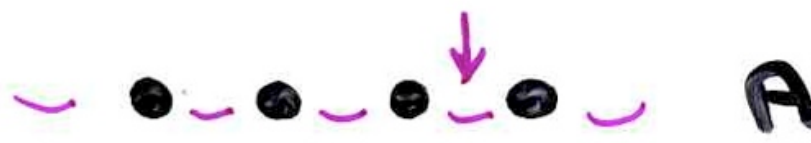
## Operations primitives

A

ajout

S

suppression

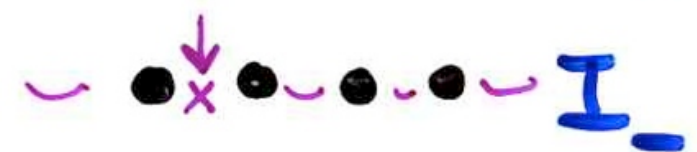


I<sub>+</sub>

I<sub>-</sub>

interrogation

positive  
negative



## Primitive operations

for “dictionnaries” data structure:

add or delete any elements, asking questions (with positive or negative answer)

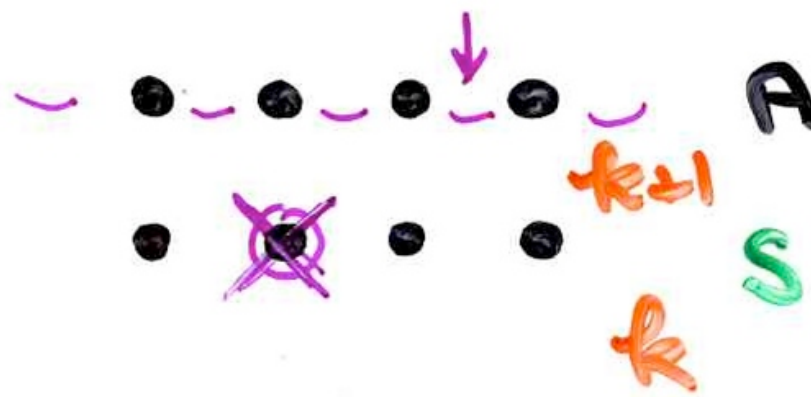
## Opérations primitives

A

ajout

S

suppression



number of choices for each primitive operations

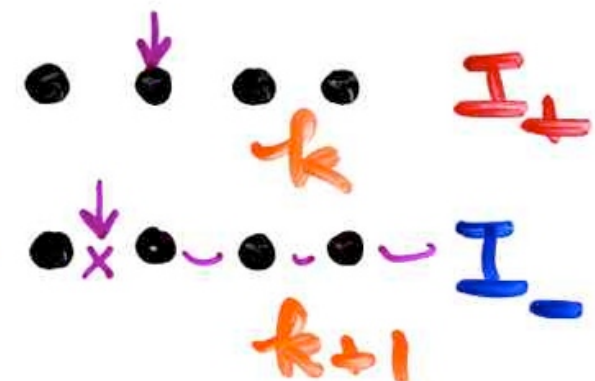
I<sub>+</sub>

I<sub>-</sub>

interrogation

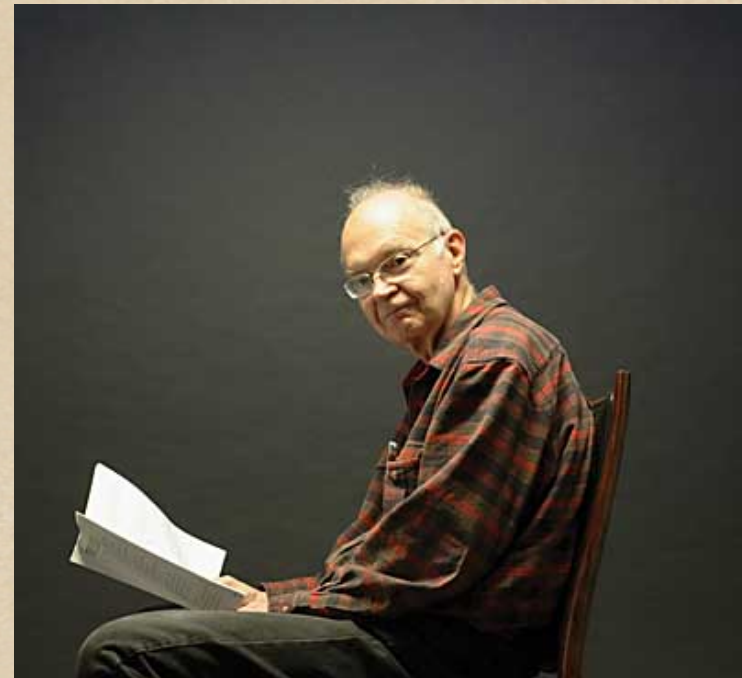
positive  
negative

n<sup>o</sup> de  
choix



$$\begin{cases} D = A + I_- \\ E = S + I_+ \end{cases}$$

data structure  
integrated cost



D. Knuth

P. Flajolet

Calcul du coût intégré  
d'une structure de données  
pour une séquence aléatoire  
d'opérations primitives

Françon, Flajolet, Vuillemin (1980, ...),  
connaissant le coût moyen  
d'une opération primitive.

representation  
of the  
operators  
E and D

$$DE = ED + E + D$$

V

vector space

generated by B basis

B

alternating

words two letters  $\{0, 0\}$   
of  $00$  or  $00\}$

(no occurrences

4

operators

A, S, J, K

4 operators  $A, S, J, K$ ,  $u \in B$

$$\langle u | A = \sum_{\substack{\text{letter } o \\ \text{of } u}} v, \quad v \text{ obtained by:} \\ o \rightarrow o \bullet o$$

$$\langle u | S = \sum_{\substack{o \\ \text{of } u}} v \quad v \text{ obtained by:} \\ o \rightarrow \bullet \\ (\text{and } oo \rightarrow \bullet \quad ooo \rightarrow \bullet)$$

$$\langle u | J = \sum_{\substack{o \\ \text{of } u}} v \quad v, \quad o \rightarrow \bullet o \\ (\text{and } oo \rightarrow \bullet)$$

$$\langle u | K = \sum_{\substack{o \\ \text{of } u}} v \quad v, \quad o \rightarrow o \bullet \\ (\text{and } oo \rightarrow \bullet)$$

---

$$\bullet \circ \bullet \circ \bullet | S = \bullet \circ \bullet + \circ \bullet$$

Lemma.

$$AS = SA + J + K$$

$$AK = KA + A$$

$$JS = SJ + S$$

$$JK = KJ$$

$$D = A + J$$

$$E = S + K$$

$$D = A + J$$

$$E = S + K$$

$$DE = (A+J)(S+K)$$

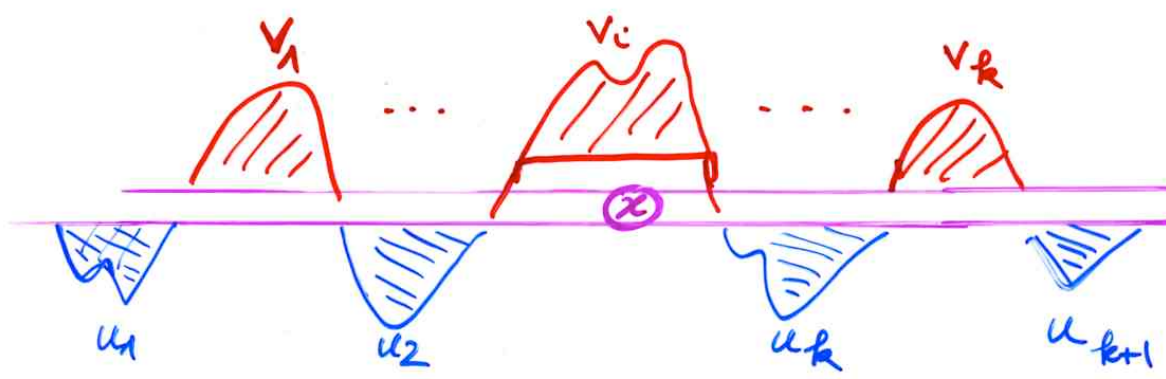
$$= AS + AK + JS + JK$$

$$= (SA + KA + SJ + KJ) + J + K + A + S$$

$$(S+K)(A+J)$$

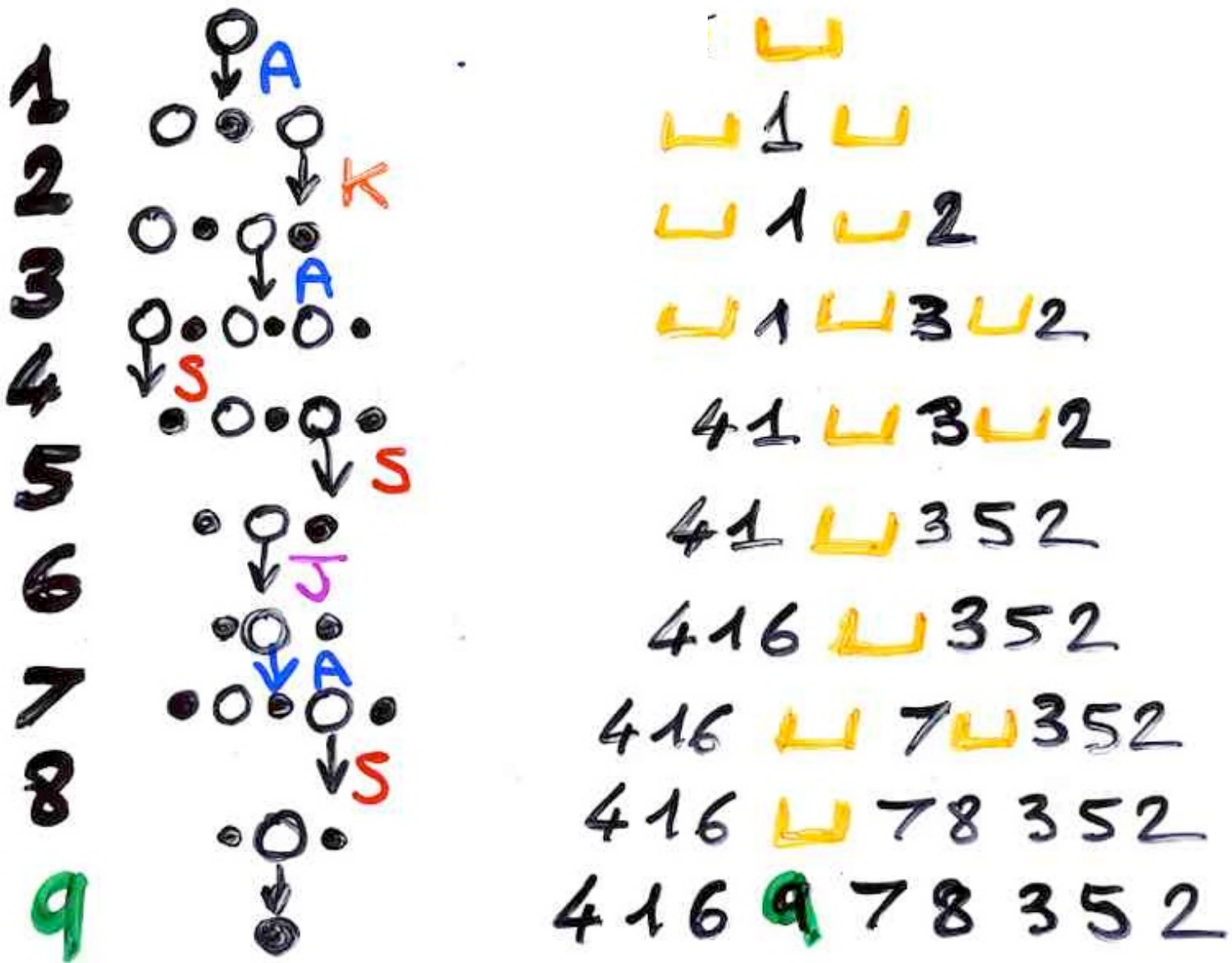
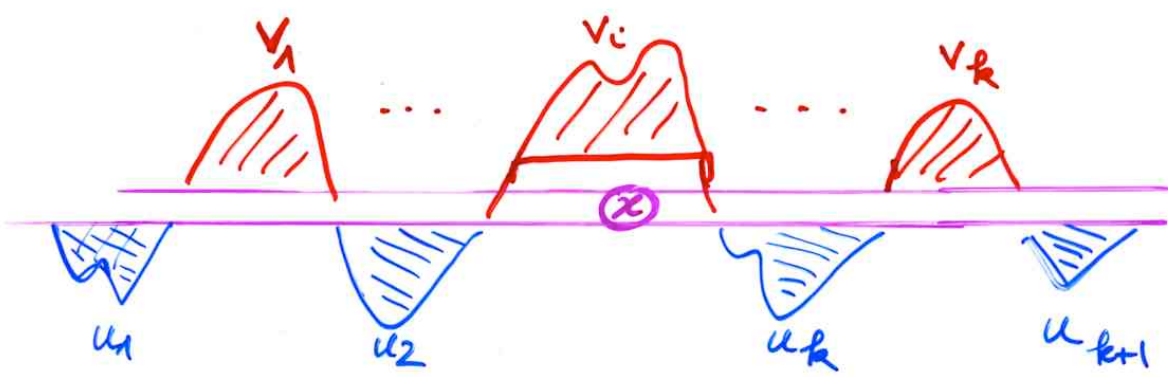
$$E + D$$

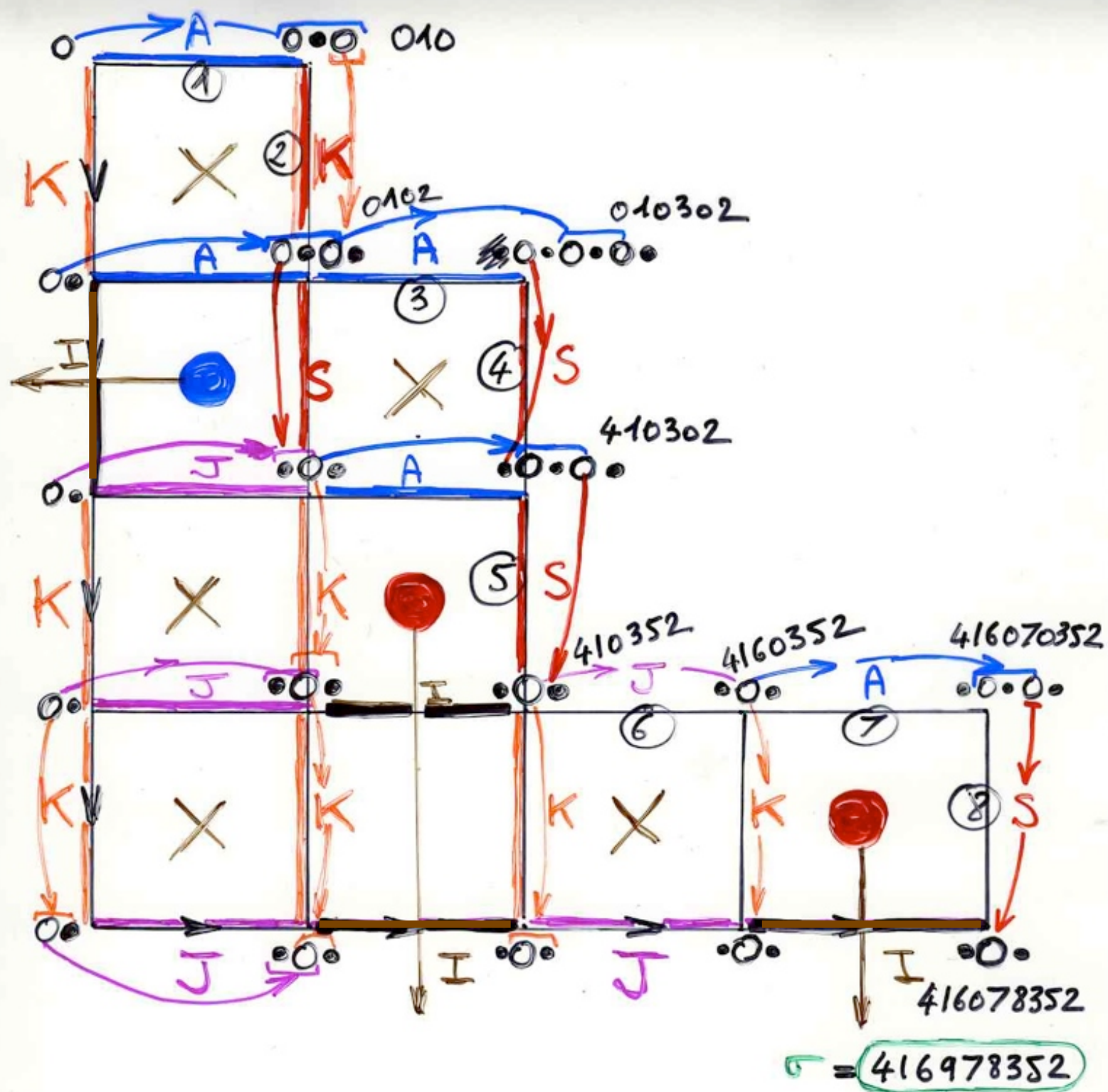
$$ED$$



1  
2  
3  
4  
5  
6  
7  
8  
9

1  
1 1  
1 1 2  
1 1 3 2  
4 1 1 3 2  
4 1 1 3 5 2  
4 1 6 1 3 5 2  
4 1 6 1 7 1 3 5 2  
4 1 6 1 7 8 3 5 2  
4 1 6 1 7 8 3 5 2





# "The cellular Ansatz"

Physics

"normal ordering"

$$UD = DU + \text{Id}$$

Weyl-Heisenberg

$$DE = qED + E + D$$

PASEP

dynamical systems in physics  
stationary probabilities

quadratic algebra  $Q$

commutations  
rewriting rules

planarization

combinatorial  
objects  
on a 2d lattice

bijections

rooks placements

permutations

alternative tableaux

RSK



pairs of Tableaux Young

permutations

Laguerre histories

representation  
by operators

data structures  
"histories"  
orthogonal  
polynomials

Q-tableaux

# "The cellular Ansatz"

Physics

"normal ordering"

$$UD = DU + \text{Id}$$

Weyl-Heisenberg

$$DE = qED + E + D$$

PASEP

dynamical systems in physics  
stationary probabilities

quadratic algebra  $Q$

commutations  
rewriting rules

planarization

combinatorial  
objects  
on a 2d lattice

bijections

rooks placements

permutations

alternative tableaux

tree-like tableaux

reverse Q-tableaux

Q-tableaux

the XYZ algebra

ASM, (alternating sign matrices)

FPL (Fully packed loops)

tilings, non-crossing paths

planar  
automata

RSK automata

reverse planar  
automata

representation  
by operators

data structures  
"histories"  
orthogonal  
polynomials

RSK

pairs of Tableaux Young

permutations

Laguerre histories



Laguerre histories

The FV bijection

Françon-XV 1978

Bijection

Permutations

$n+1$

Histoires de Laguerre ( $\gamma_c$ , f)

n

Bijection

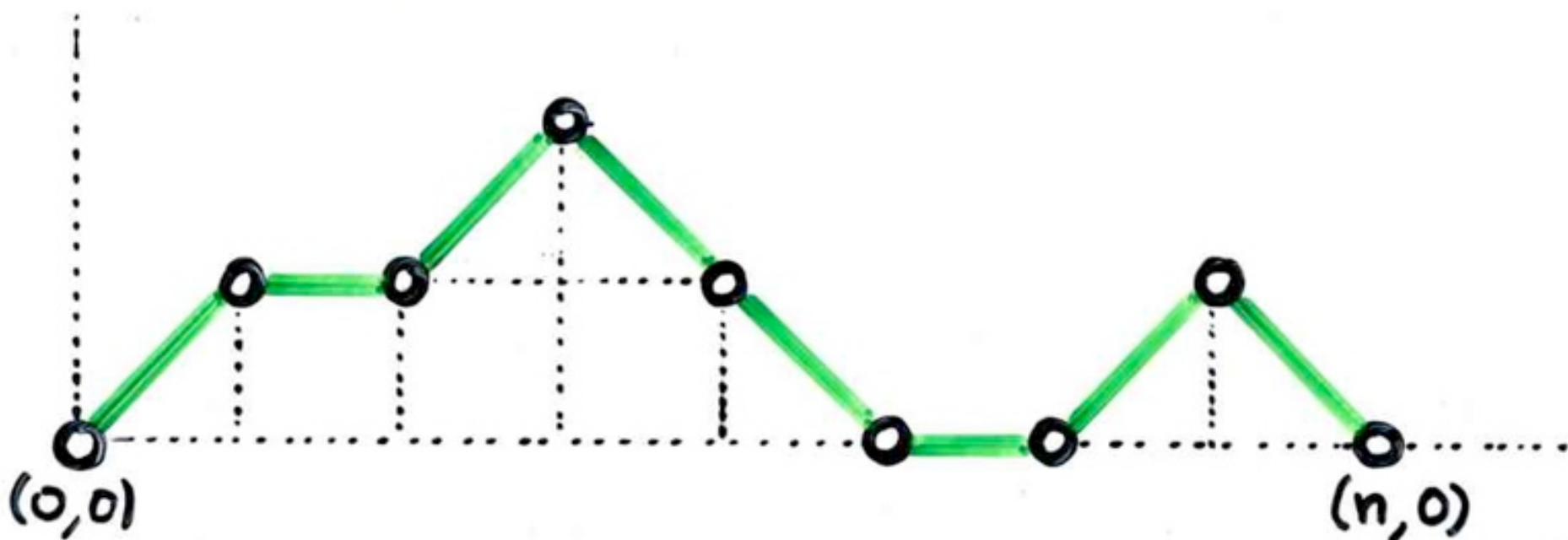
Permutations

$n+1$

Histoires de Laguerre ( $\gamma_c$ ,  $f$ )

$n$

Chemin de  
Motzkin  
 $n \in$



Bijection

Permutations

$n+1$

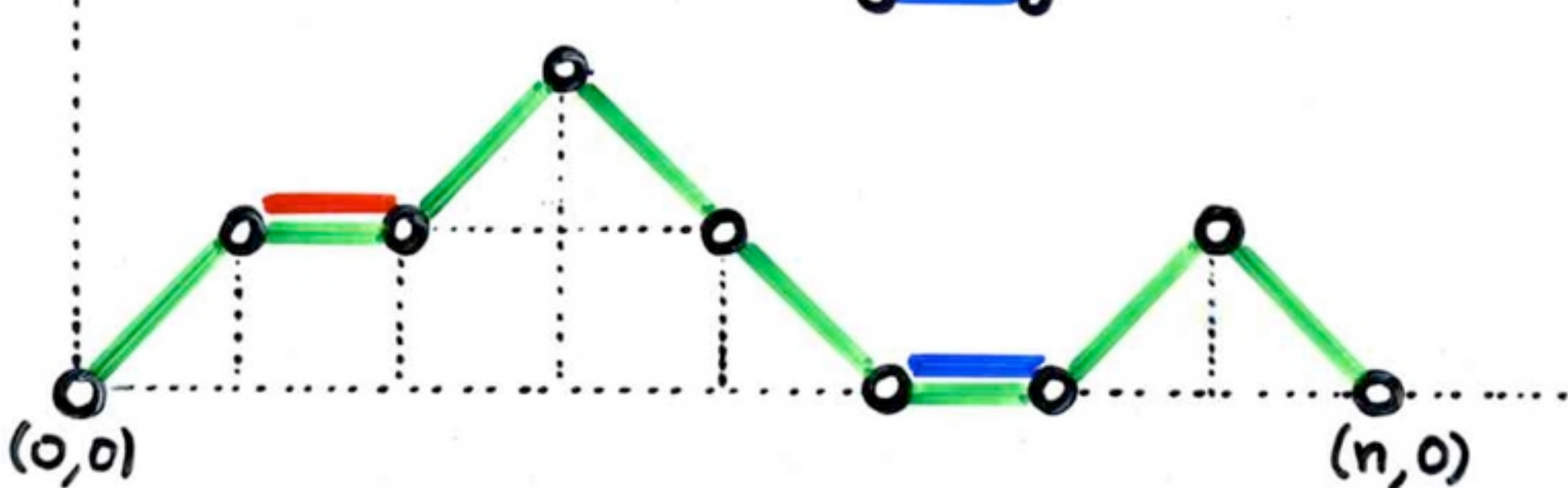
Histoires de Laguerre

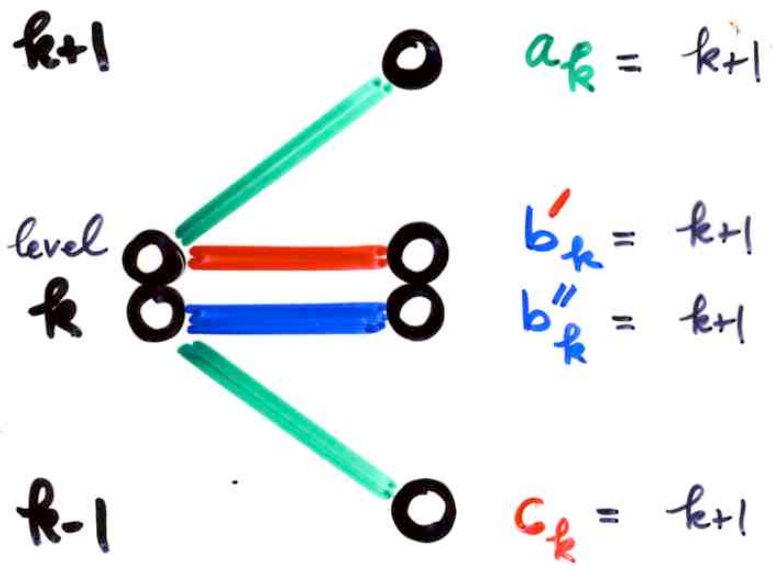
( $\chi_c$ ,  $f$ )

$n$

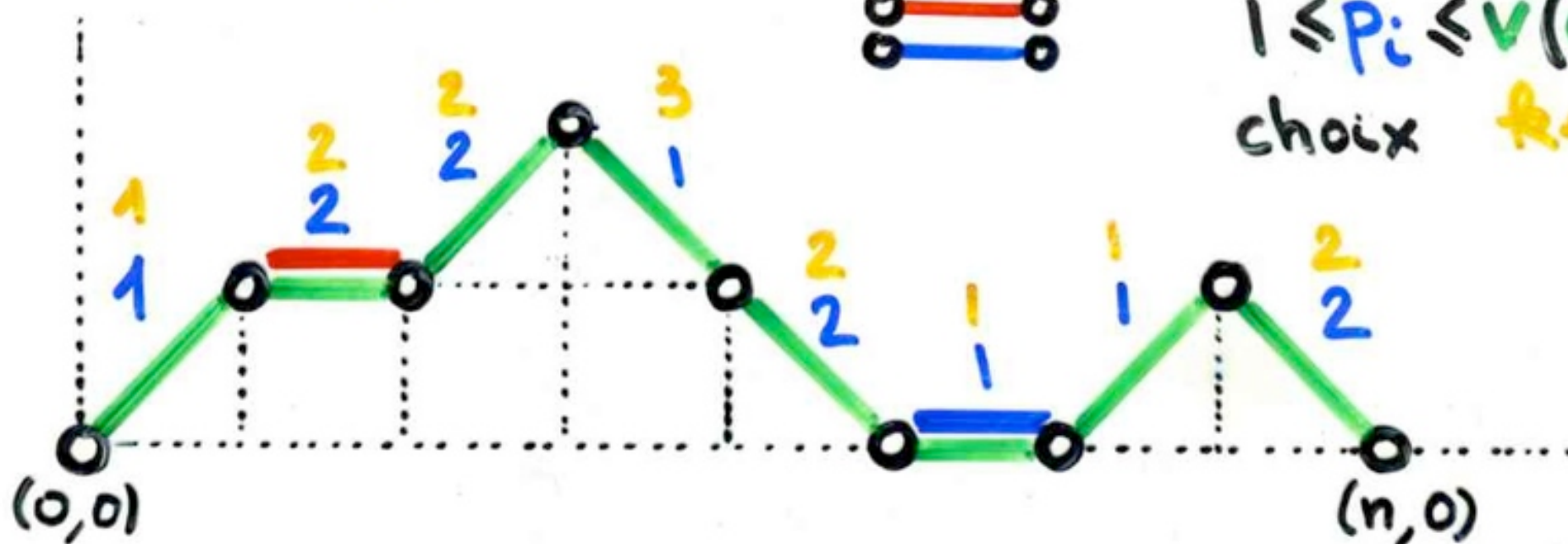
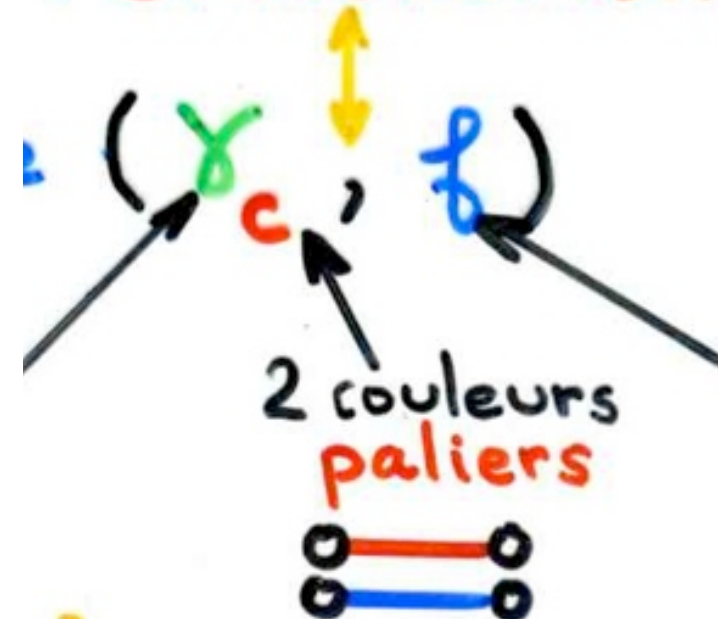
Chemin de  
Motzkin  
 $n \in \mathbb{N}$

2 couleurs  
paliers





## Permutations



# Bijection

histoires  
de  
Laguerre

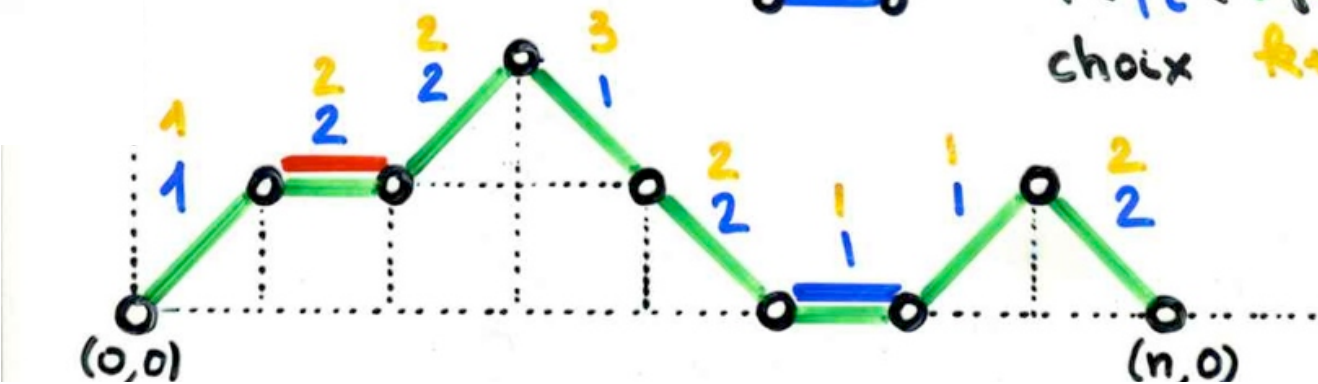
$$(\omega; p_1, \dots, p_n) \leftrightarrow$$

permutations  
 $(n+1)!$

$$f = (\omega_c; (p_1, \dots, p_n))$$



$1 \leq p_i \leq v(\omega_i)$   
choix  $k+1$



$x$	$\omega_c$	pos	v
1		1	1
2		2	2
3		2	2
4		1	3
5		2	2
6		1	1
7		1	1
8		2	2
9	•		

$\sqcup$   
 $\sqcup 1 \sqcup$   
 $\sqcup 1 \sqcup 2$   
 $\sqcup 1 \sqcup 3 \sqcup 2$   
 $41 \sqcup 3 \sqcup 2$   
 $41 \sqcup 3 5 2$   
 $416 \sqcup 3 5 2$   
 $416 \sqcup 7 \sqcup 3 5 2$   
 $416 \sqcup 7 8 3 5 2$   
 $416 9 7 8 3 5 2 = \text{G}$   
 $\in \text{G}_{n+1}$

(formal)      orthogonal  
                  polynomials

# Orthogonal polynomials

Def.  $\{P_n(x)\}_{n \geq 0}$

orthogonal iff

$P_n(x) \in \mathbb{K}[x]$

$\exists f: \mathbb{K}[x] \rightarrow \mathbb{K}$

linear functional

- |  |                      |
|--|----------------------|
| $\left\{ \begin{array}{l} (i) \quad \deg(P_n(x)) = n \\ (ii) \quad f(P_k P_l) = 0 \quad \text{for } k \neq l \geq 0 \\ (iii) \quad f(P_k^2) \neq 0 \quad \text{for } k \geq 0 \end{array} \right.$ | $(\forall n \geq 0)$ |
|--|----------------------|

$$f(x^n) = \mu_n \quad (n \geq 0)$$

moments

$$f(PQ) = \int_a^b P(x) Q(x) d\mu$$

measure

combinatorial interpretation  
of the moments

## Thm. (Favard)

- $\{P_n(x)\}_{n \geq 0}$  sequence of monic polynomials,  $\deg(P_n) = n$
- $\{b_k\}_{k \geq 0}$ ,  $\{\lambda_k\}_{k \geq 1}$  coeff. in  $\mathbb{K}$

orthogonality  $\iff$

$$P_{k+1}(x) = (x - b_k) P_k(x) - \lambda_k P_{k-1}(x) \quad (\forall k \geq 1)$$

3 terms linear recurrence relation

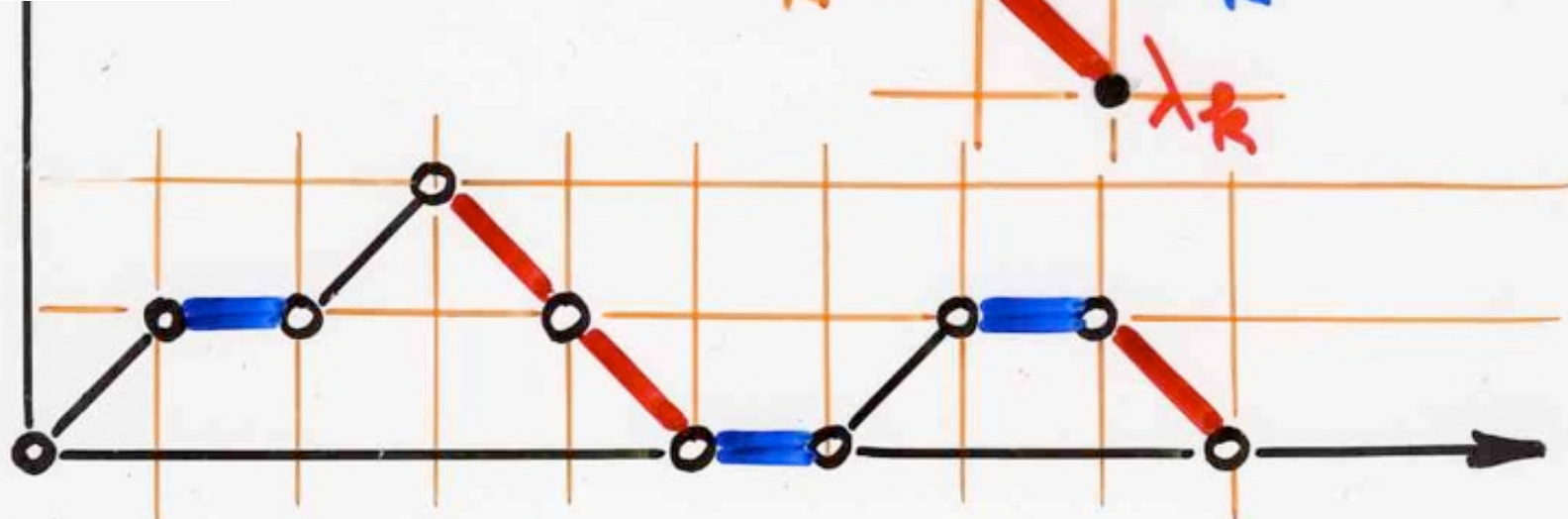
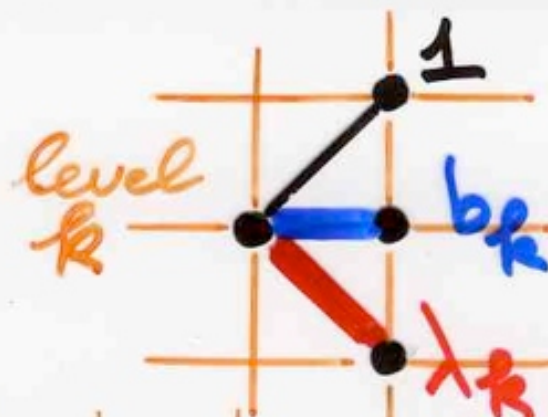


$$\{b_k\}_{k \geq 0}$$

$$\{\lambda_k\}_{k \geq 1}$$

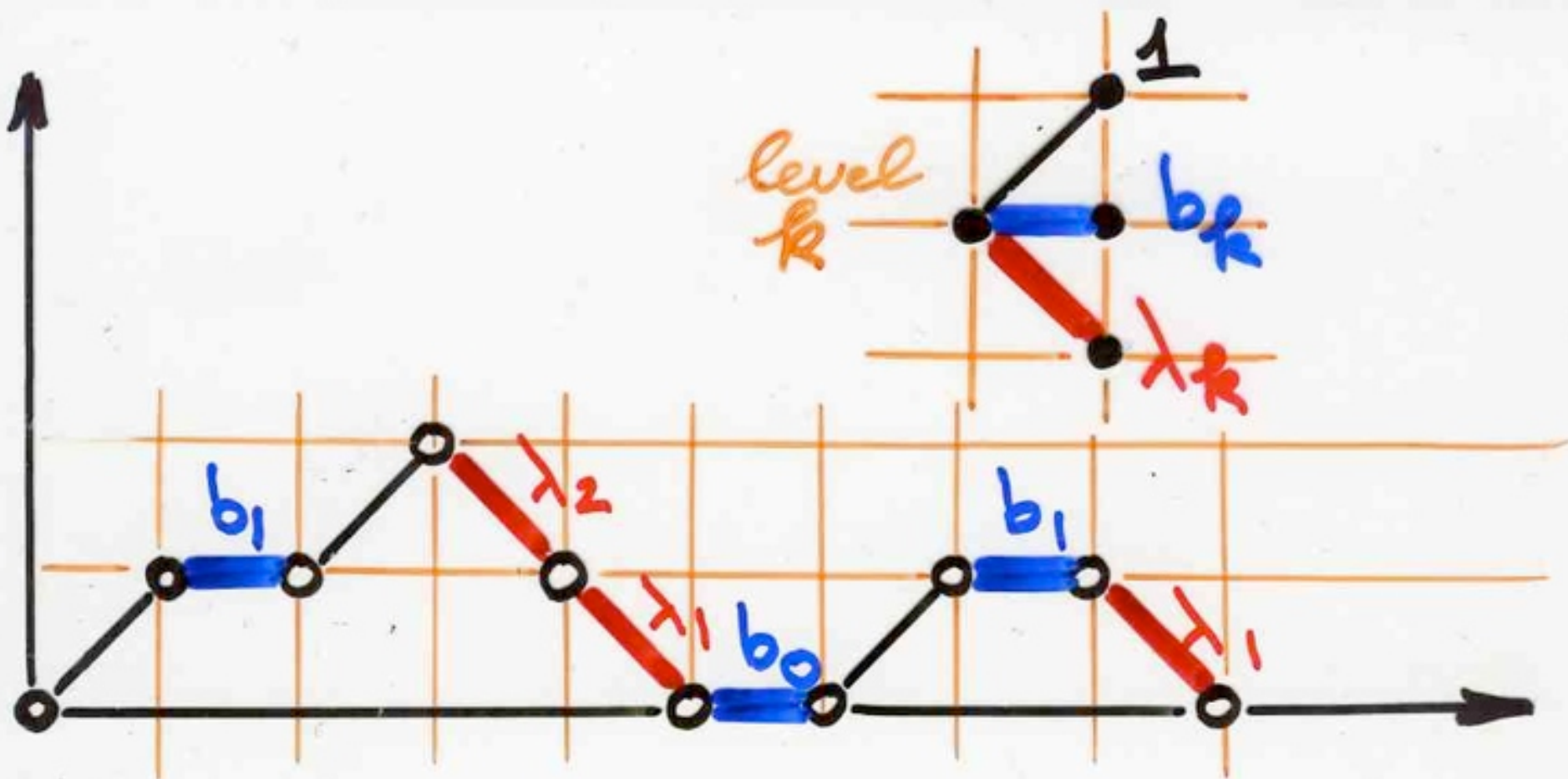
$b_k, \lambda_k \in \mathbb{K}$  ring

valuation ✓



$\omega$  Motzkin path

# valuation



$\omega$  Motzkin path

$$v(\omega) = b_0 b_1^2 \lambda_1^2 \lambda_2$$

$$f(x^n) = \mu_n \quad (n \geq 0)$$

moments

$$\mu_n = \sum_{\omega} v(\omega)$$

Motzkin path

$$|\omega| = n$$

Laguerre histories  
and  
Laguerre polynomials

$$P_{k+1}(x) = (x - b_k) P_k(x) - \lambda_k P_{k-1}(x)$$

$$P_0 = 1 \quad P_1 = x - b_0$$

$$\mu_n = (n+1)!$$

$$\begin{cases} b_k = 2k+2 \\ \lambda_k = k(k+1) \end{cases}$$

Laguerre  
polynomial

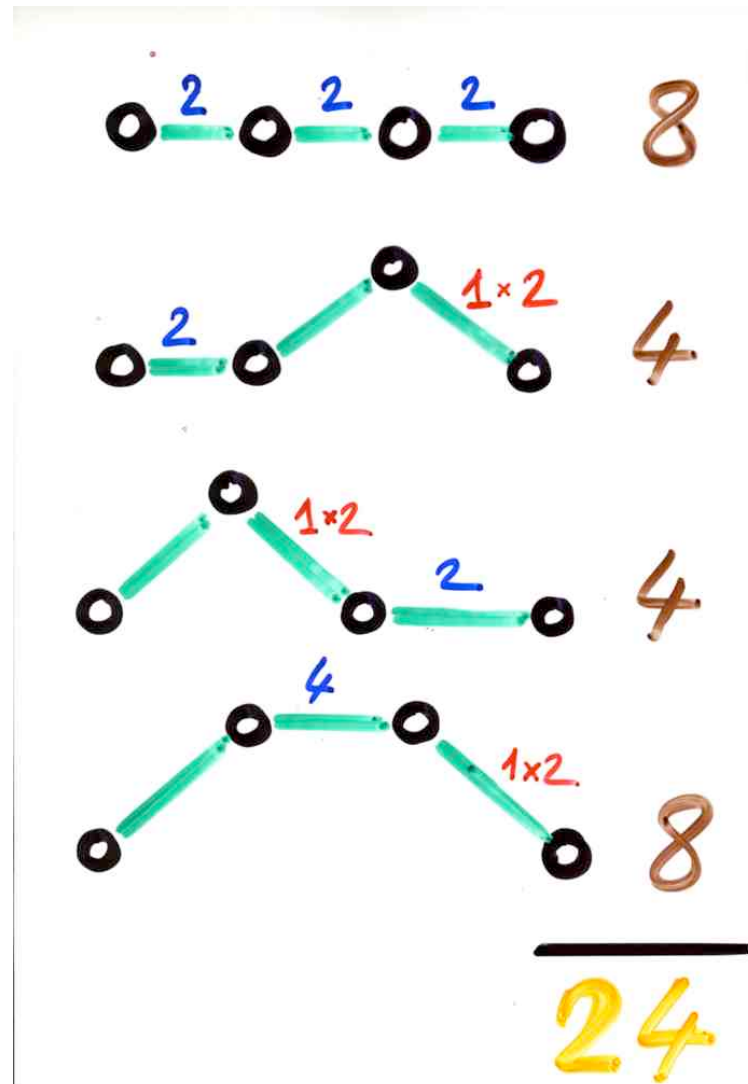
$$J(t) = \frac{1}{1 - 2t - \cancel{1 \cdot 2t^2}} \frac{\cancel{1 - 4t - 2 \cdot 3t^2}}{\dots}$$

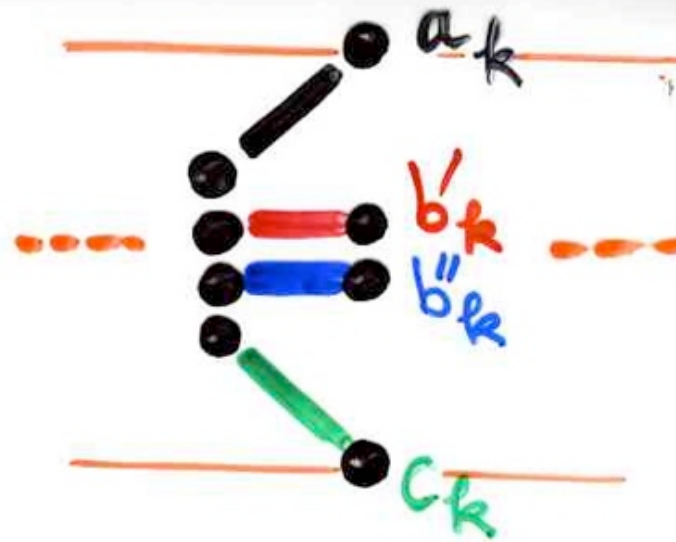
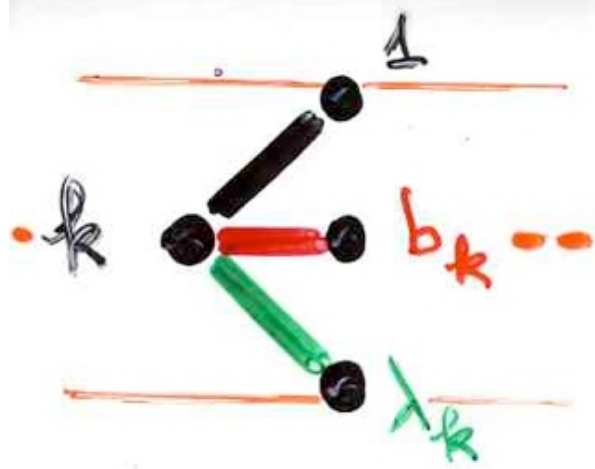
# Laguerre $L_n^{(1)}(x)$

moment  $\mu_n = (n+1)!$

$$b_k = 2k+2$$

$$\lambda_k = k(k+1)$$





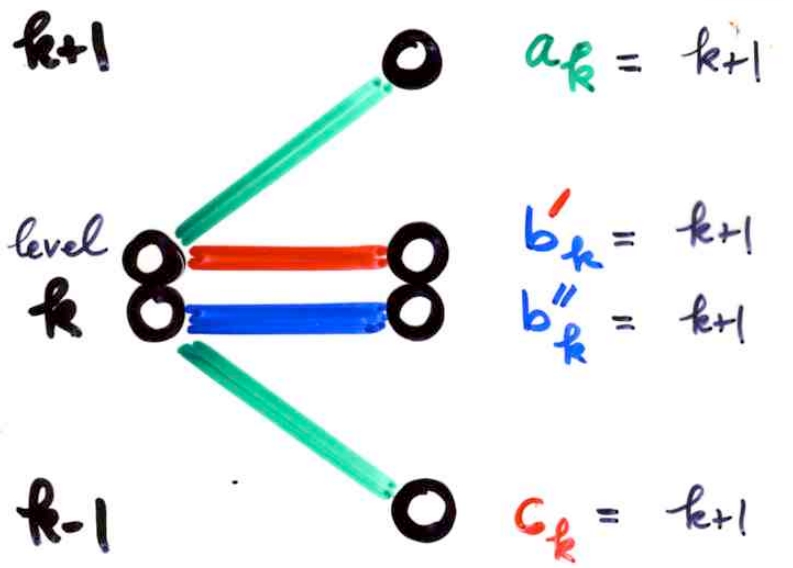
$$b_k = b'_k + b''_k$$

$$a_{k-1} c_k = \lambda_k$$

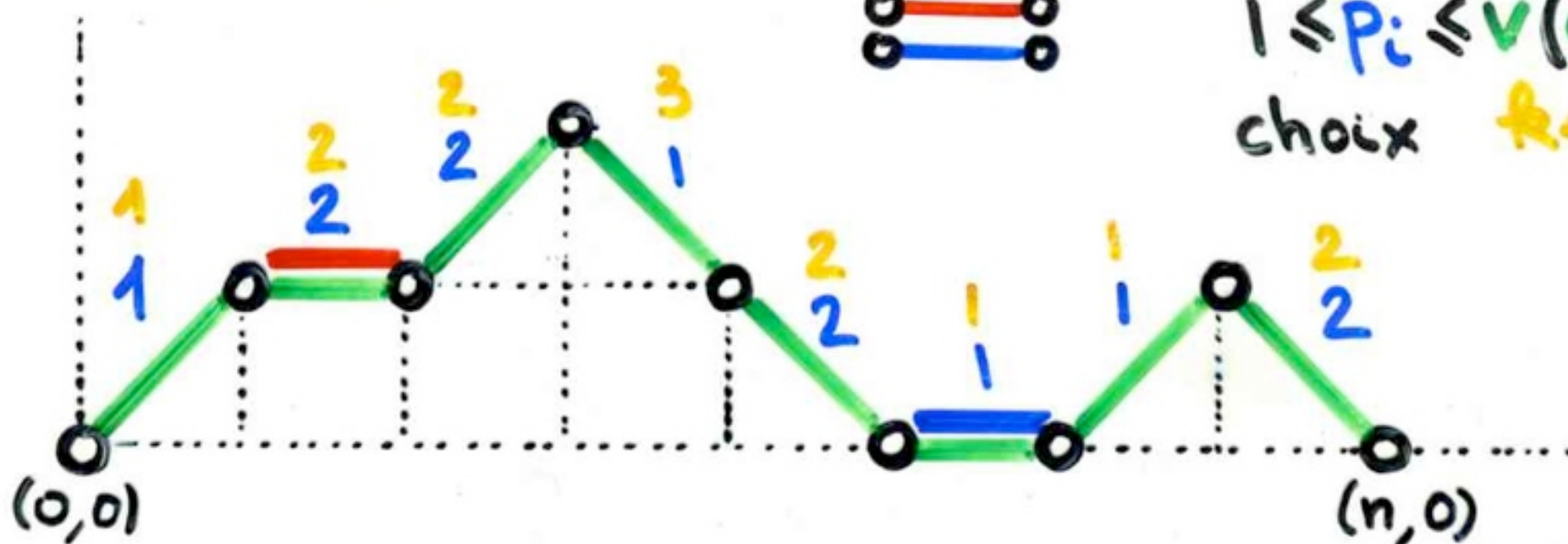
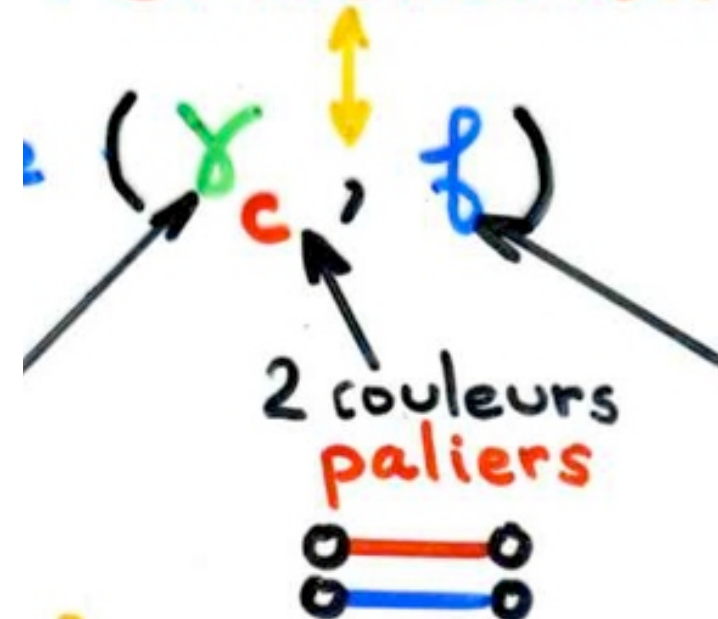
Laguerre  $L_n^{(1)}(x)$

$$\mu_n = (n+1)!$$

$$\begin{aligned}a_k &= k+1 \\b'_k &= k+1 \\b''_k &= k+1 \\c_k &= k+1\end{aligned}$$



## Permutations



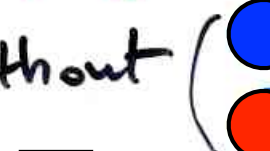
3 parameters

Cor. The stationary probability associated to the state  $\tau = (\tau_1, \dots, \tau_n)$  (PASEP)

is  $\text{proba}_{\tau}(\tau; \alpha, \beta) = \frac{1}{Z_n} \sum_{\tau} q^{\ell(\tau)} \alpha^{-f(\tau)} \beta^{-u(\tau)}$

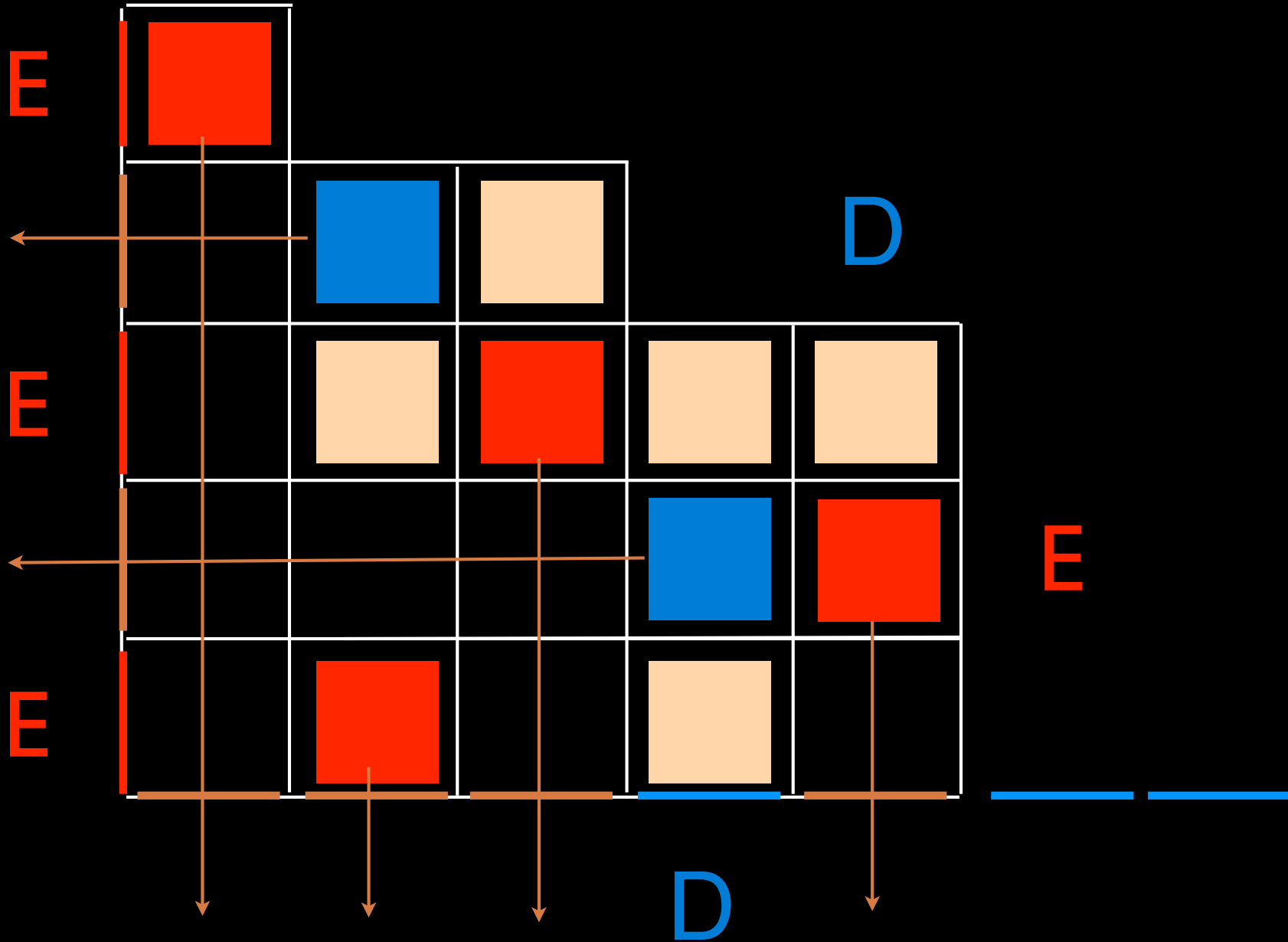
alternative tableaux  
profile  $\tau$

$\begin{cases} f(\tau) \\ u(\tau) \\ \ell(\tau) \end{cases}$  nb of rows  
 nb of columns without cell



permutation tableau

S. Corteel, L. Williams  
(2007) (2008) (2009)



total order

{1, 2, ..., n}

$\sigma = 7 \ 2 \ 3 \ 9 \ 6 \ 8 \ 5 \ 1 \ 4$

word

left-to-right  
right-to-left

minimum elements

$\sigma = 7 \ 2 \ 3 \ 9 \ 6 \ 8 \ 5 \ 1 \ 4$

left-to-right  
right-to-left

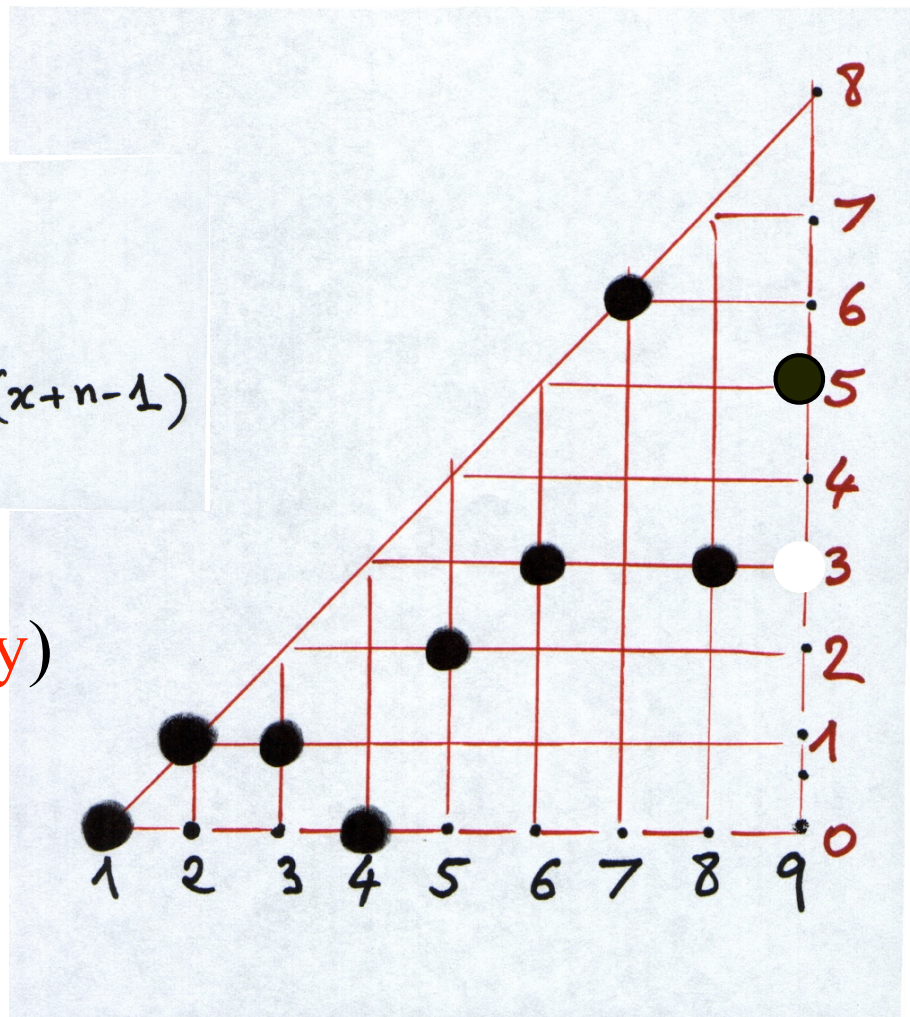
## minimum elements

$$\sigma = \boxed{7} \boxed{2} 3 \ 9 \ 6 \ 8 \ 5 \boxed{1} \boxed{4}$$

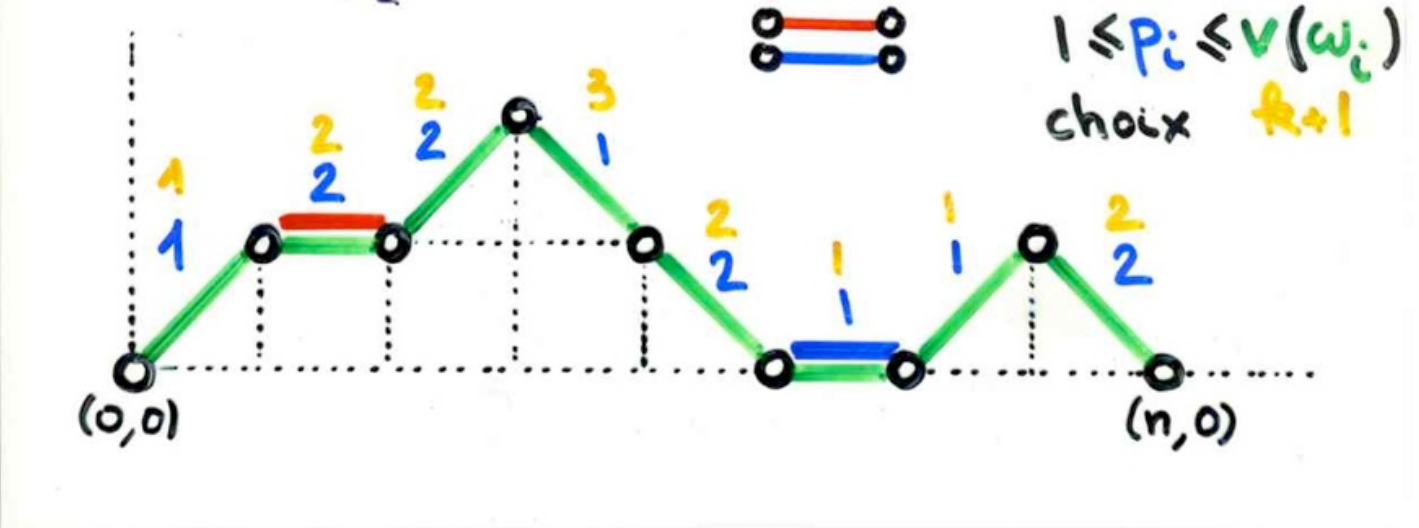
Stirling numbers  $S_{n,k}$

$$\sum_{k>1} \lambda_{n,k} x^k = x(x+1) \dots (x+n-1)$$

$$xy(x+y)(x+1+y)\dots(x+n-2+y)$$



“q-analogue”  
of Laguerre  
histories



choices function

1	2	3	4	5	6	7	8
1	2	2	1	2	1	1	2
0	1	1	0	1	0	0	1

q-Laguerre :  $q^4$

█  
 █ 1 █  
 █ 1 █ 2  
 █ 1 █ 3 █ 2  
 4 1 █ 3 █ 2  
 4 1 █ 3 5 2  
 4 1 6 █ 3 5 2  
 4 1 6 █ 7 █ 3 5 2  
 4 1 6 █ 7 8 3 5 2  
 4 1 6 9 7 8 3 5 2 =  $\frac{G}{\epsilon G}$   
 n+1

# $q$ -Laguerre

$$L_n^{(\beta)}(x; q) \quad \left\{ \begin{array}{l} b_{k,q}^{(\beta)} = [k]_q + [k+1; \beta]_q \\ \lambda_{k,q}^{(\beta)} = [k]_q \cdot [k; \beta]_q \\ [k; \beta]_q = \beta + q + q^2 + \cdots + q^{k-1} \end{array} \right.$$

$\beta = \alpha + 1$

$$\mu_n = \frac{1}{(1-q)^n} \sum_{k=0}^n (-1)^k \left( \binom{2n}{n-k} - \binom{2n}{n-k-2} \right) \left( \sum_{i=0}^k i^{(k+1-i)} q^i \right)$$

Corteel, Josuat-Vergès y  
Prellberg, Rubey (2008)

general PASEP


 Orthogonal polynomials  
 Sasamoto (1999)  
 Blythe, Evans, Colaiori, Eosler (2000)

$\alpha, \beta, q$        $\gamma = \delta = 1$   
 q-Hermite polynomial

$$D = \frac{1}{1-q} + \frac{1}{\sqrt{1-q}} \hat{a}$$

$$E = \frac{1}{1-q} + \frac{1}{\sqrt{1-q}} \hat{a}^+$$

$$\hat{a} \hat{a}^+ - q \hat{a}^+ \hat{a} = 1$$

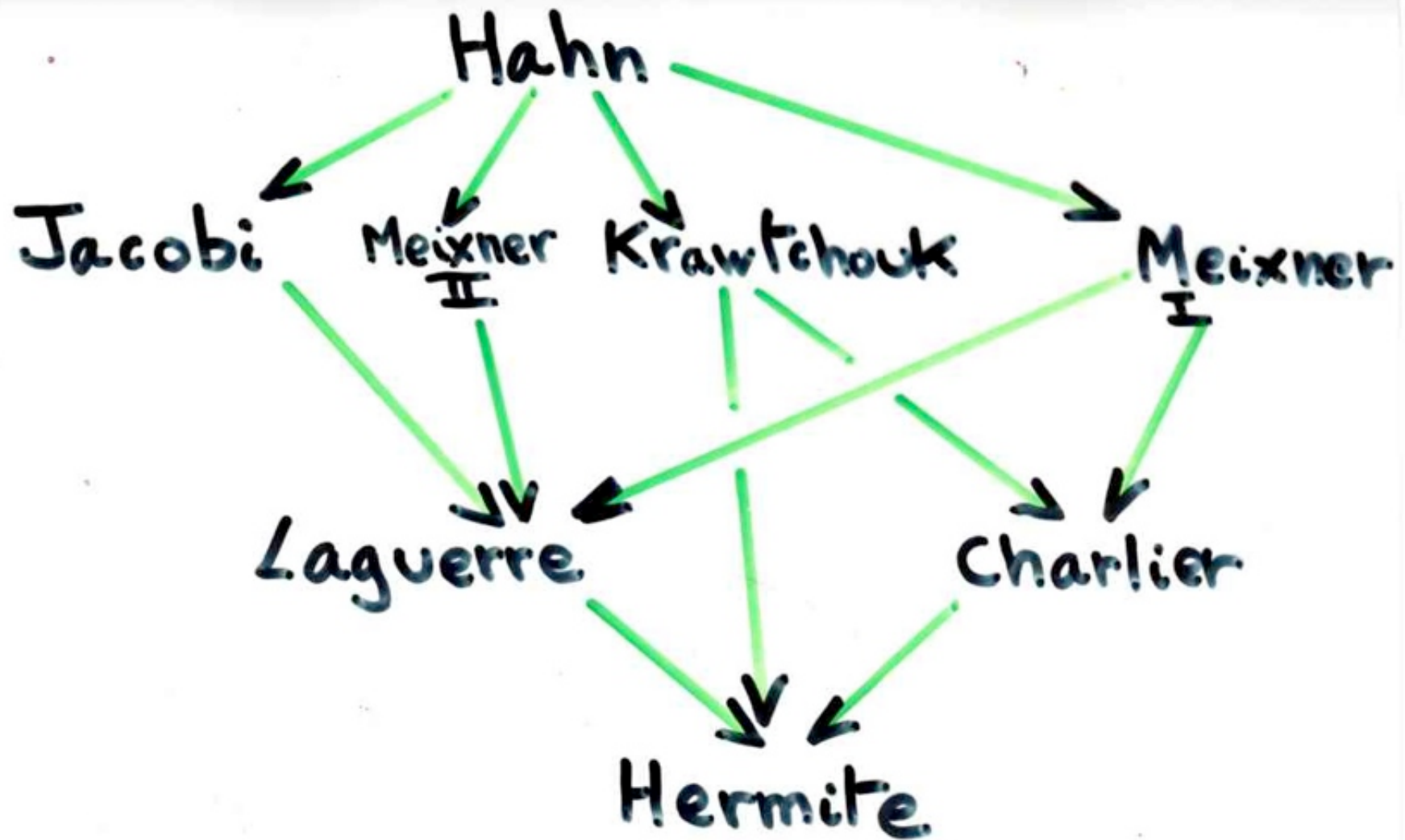

 Uchiyama, Sasamoto, Wadati (2003)  
 $\alpha, \beta, \gamma, \delta, q$

Askey-Wilson polynomials

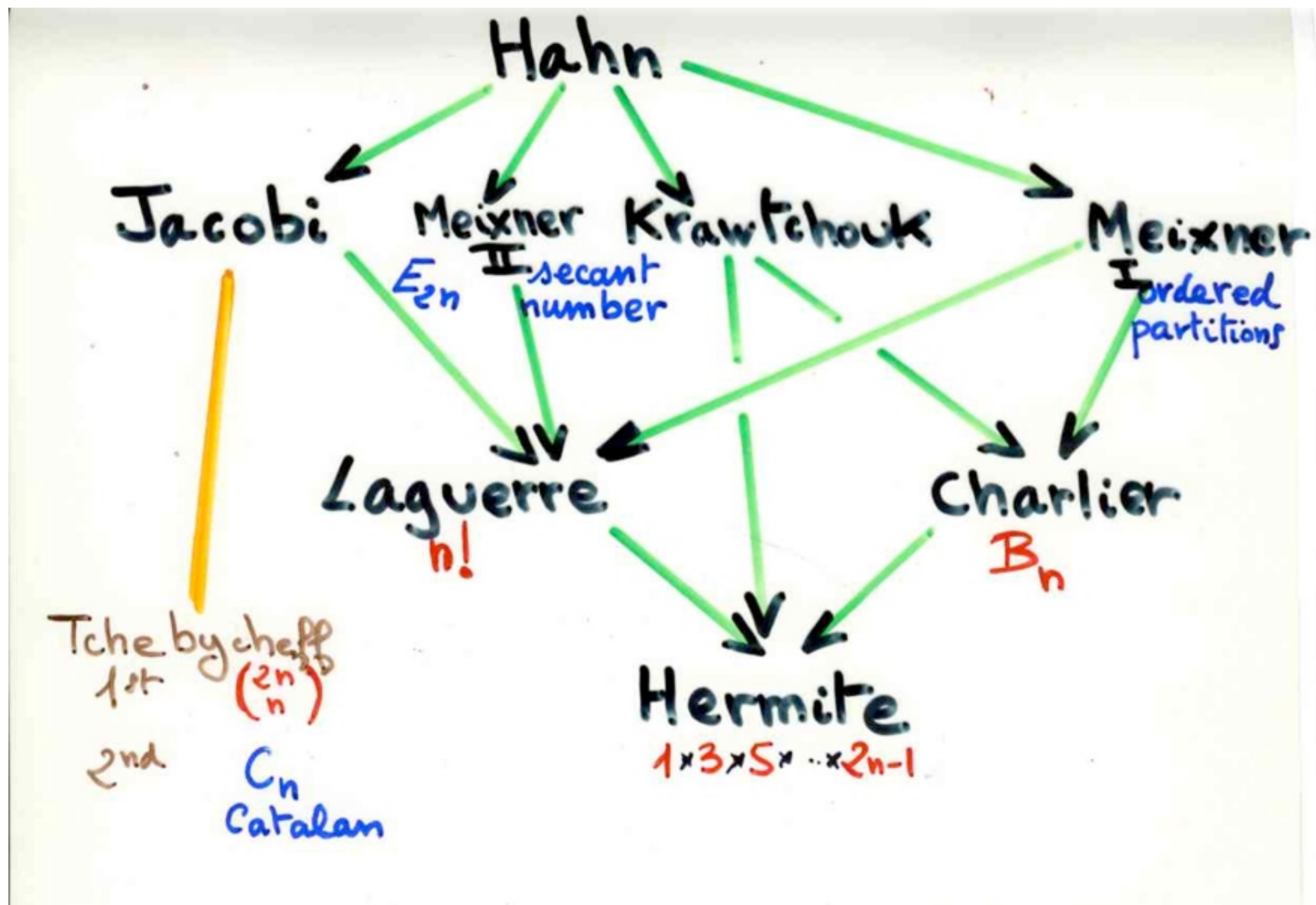
Askey tableau



# Askey-Wilson



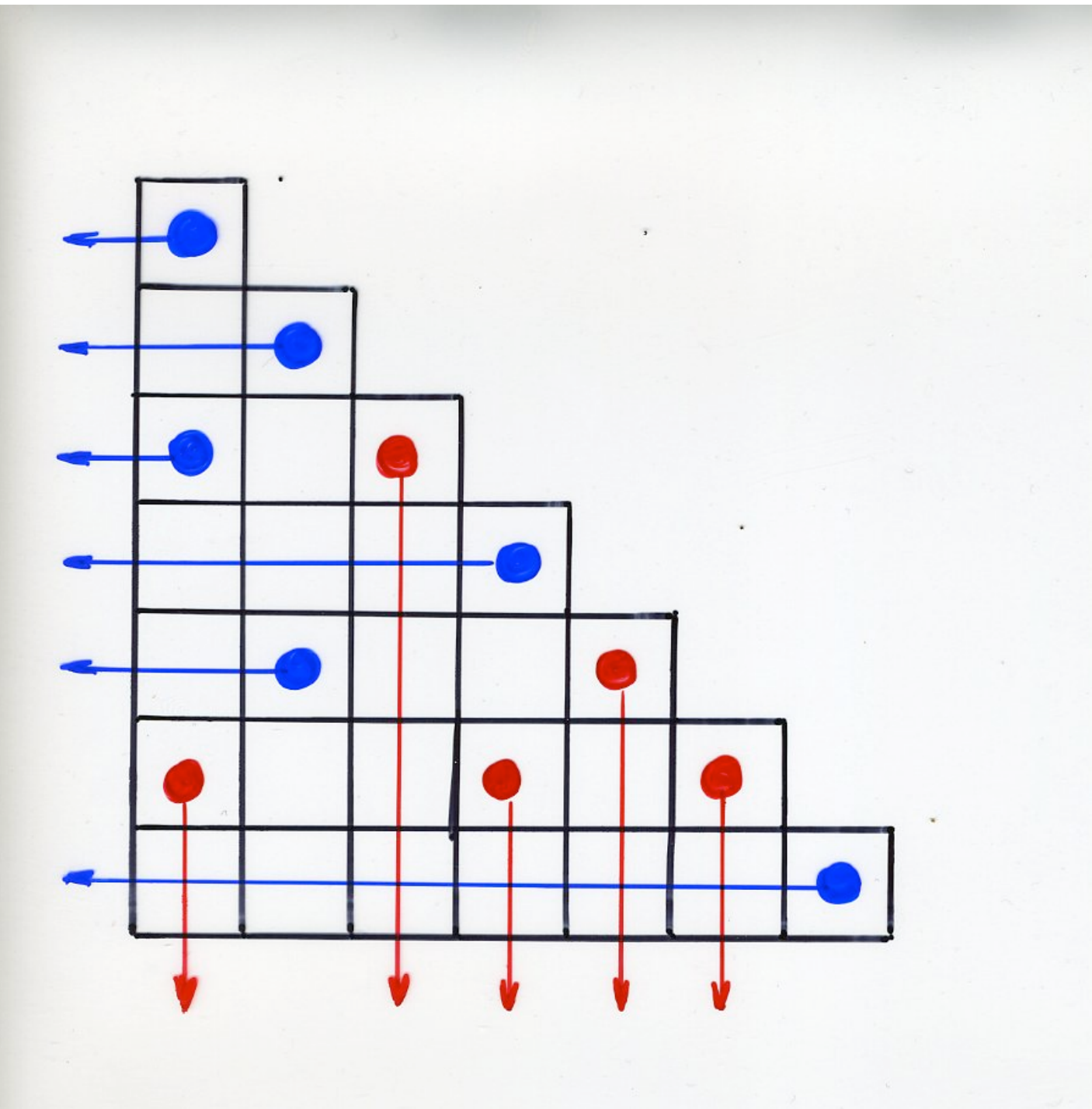
# Askey-Wilson

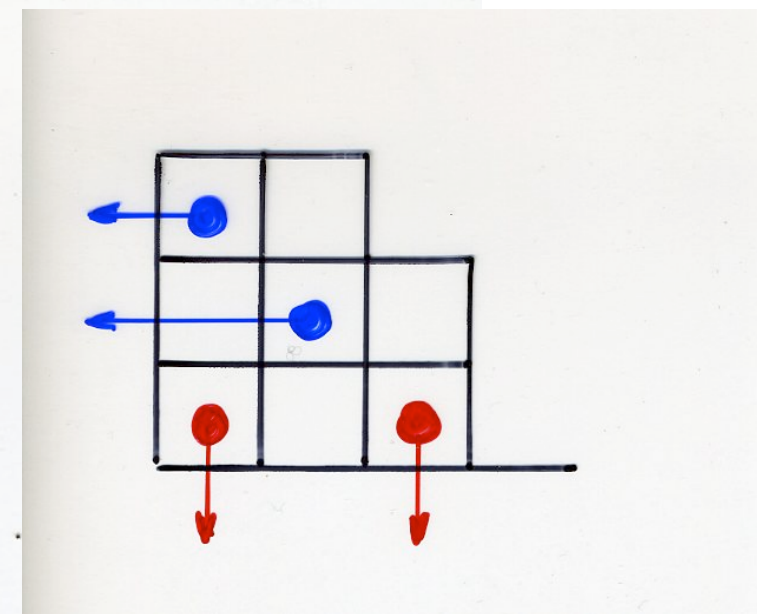
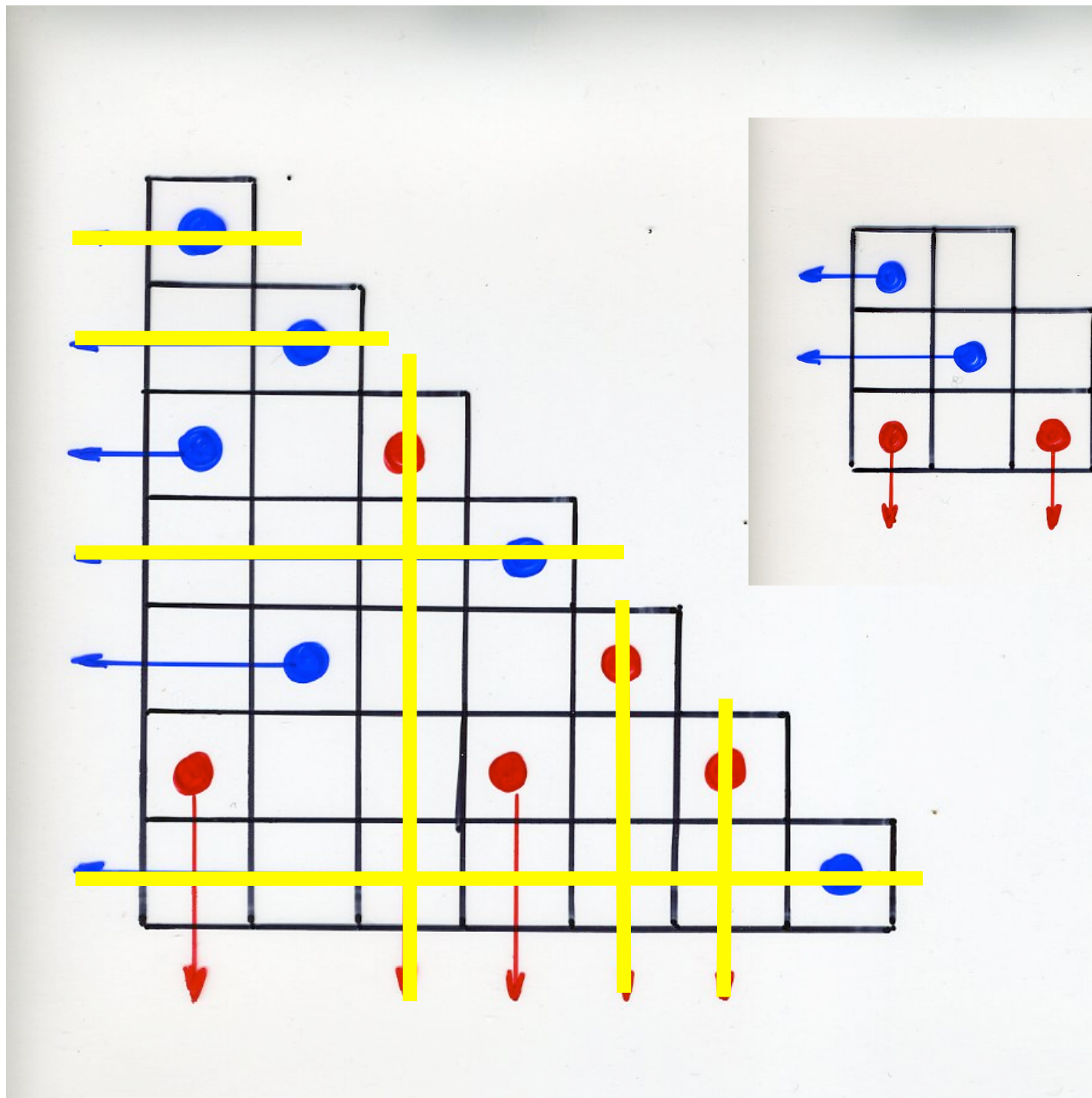


# staircase tableaux

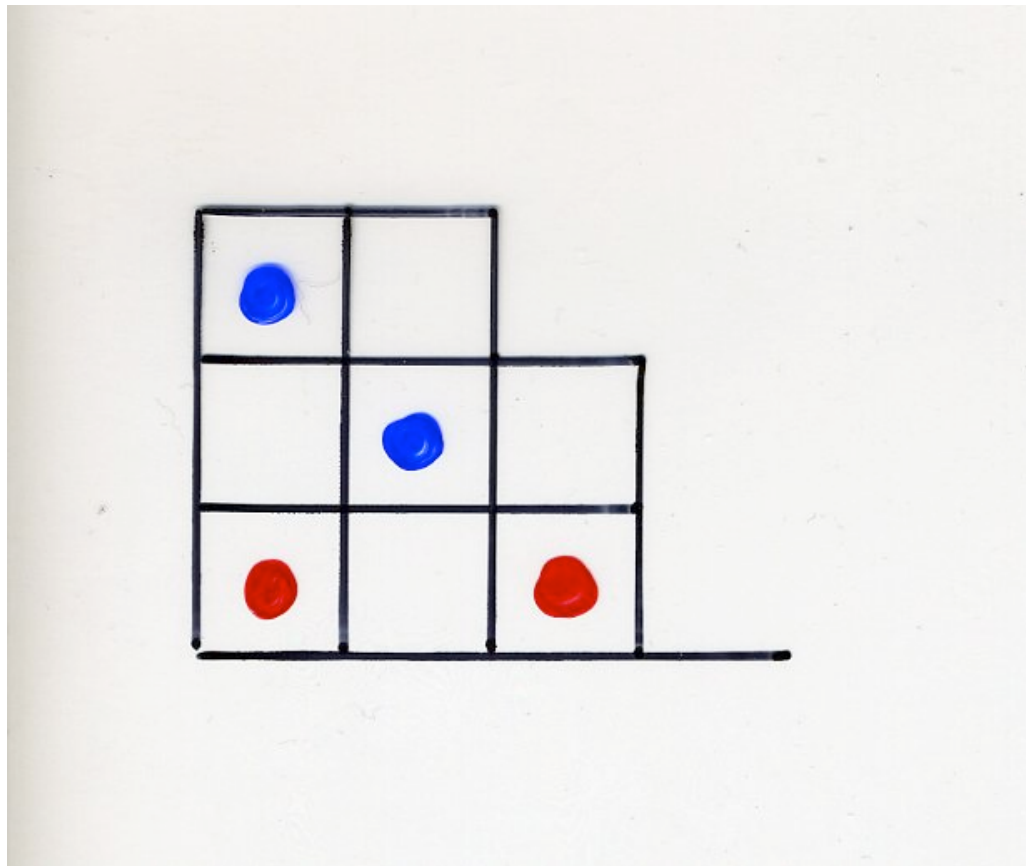
Corteel, Williams, 2009

Corteel, Stanley, Stanton, Williams, 2010

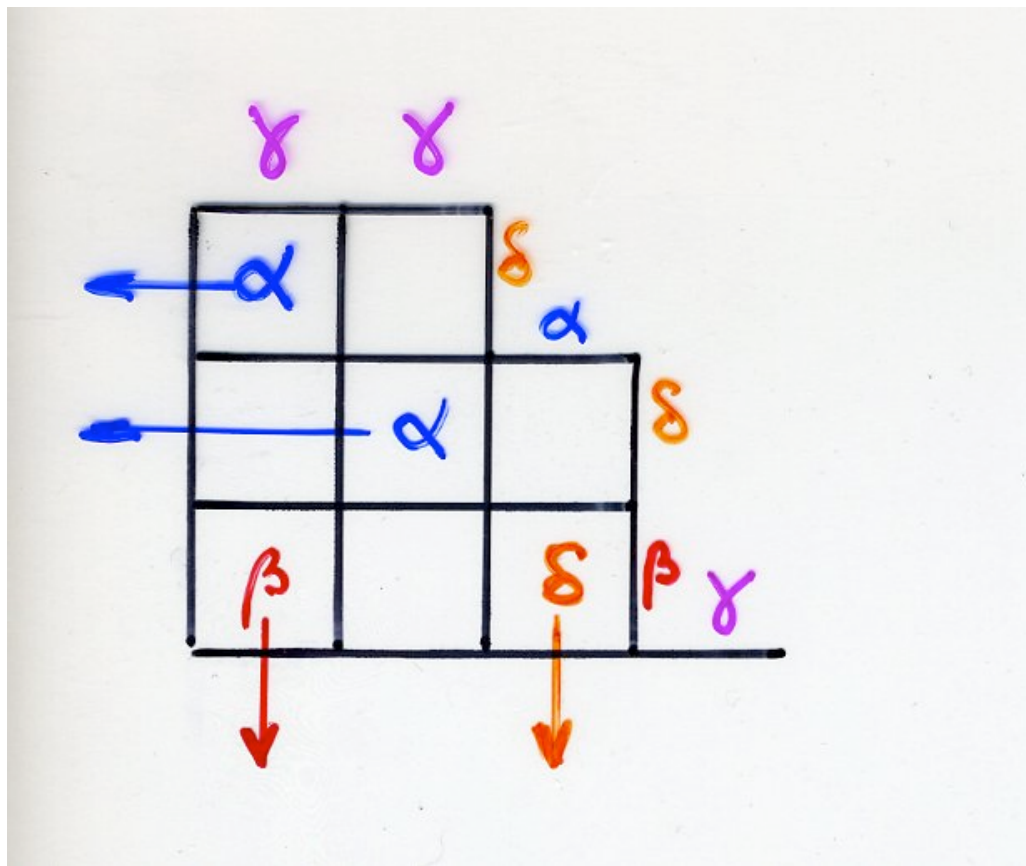




nb of 2-colored  
alternative tableaux =  $2^n \cdot n!$



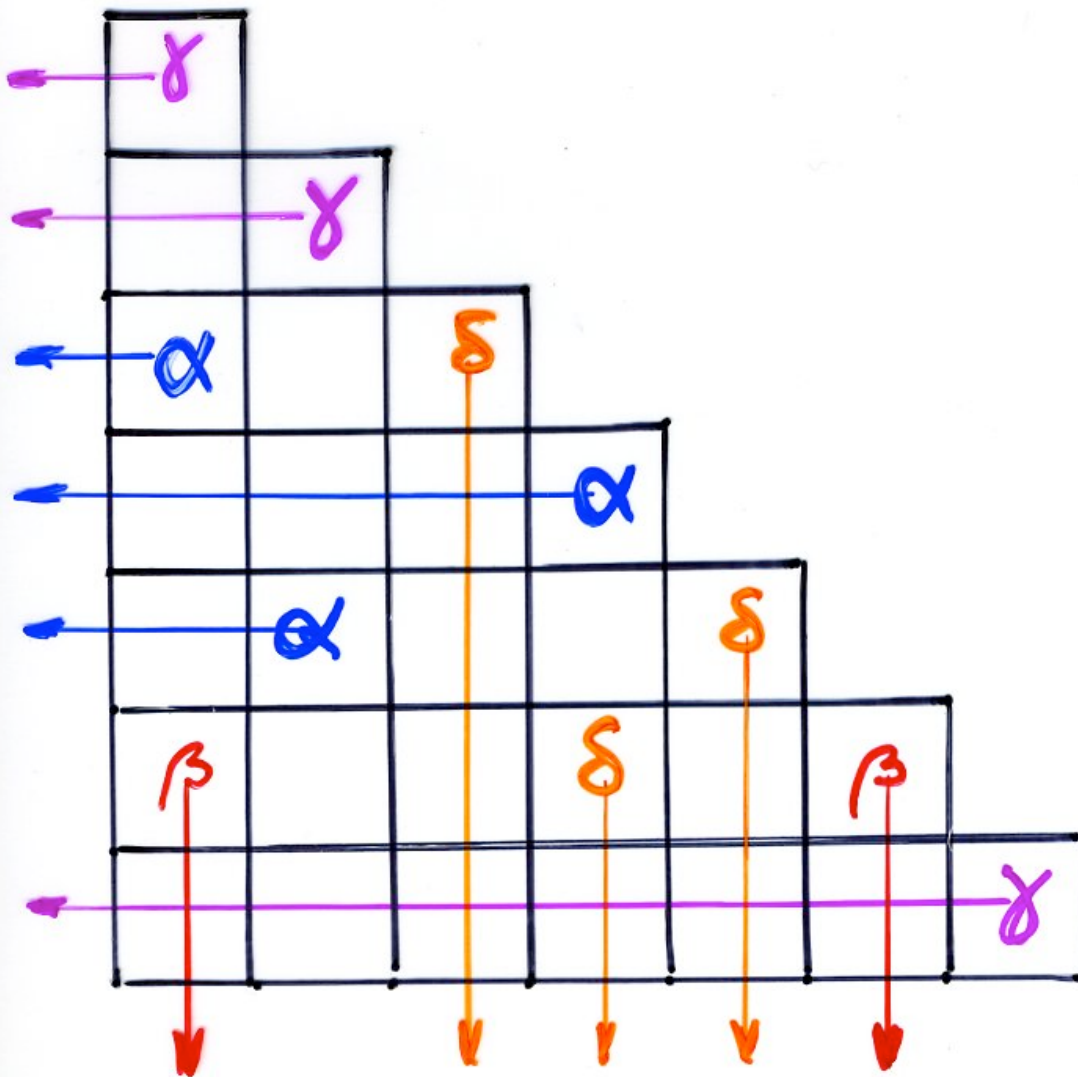
$$\text{nb of 2-colored} \\ \text{alternative tableaux} = 2^n \cdot n!$$

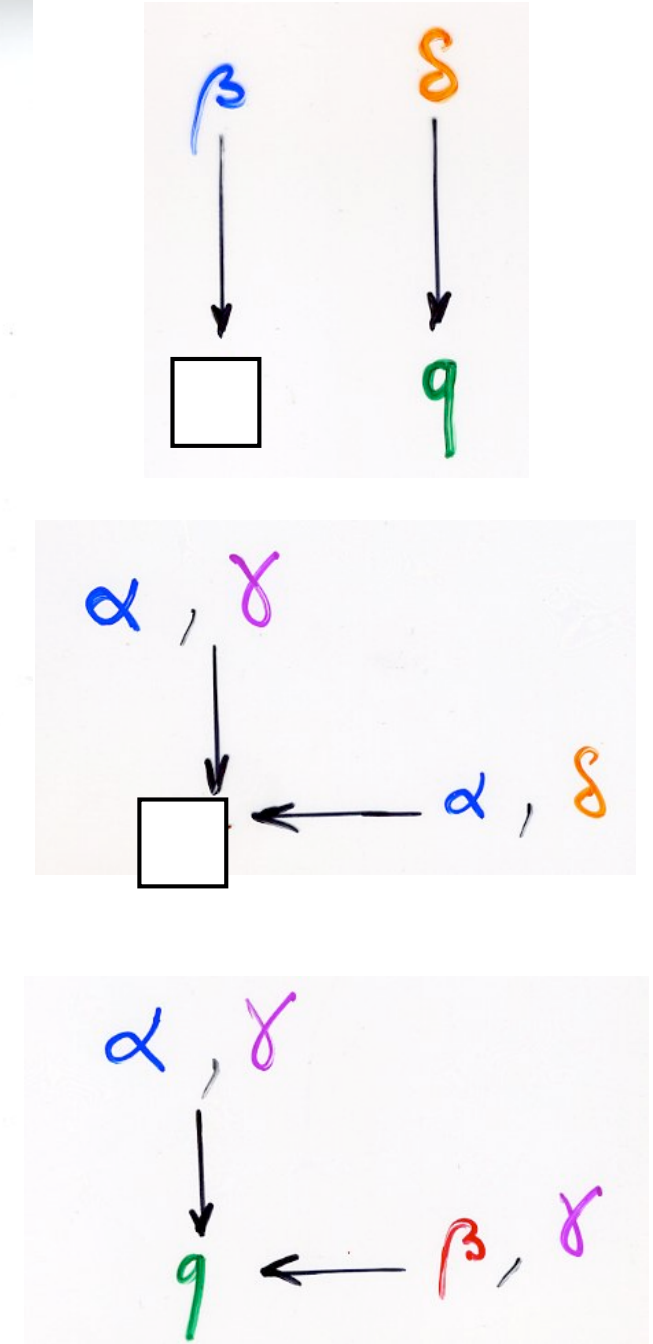
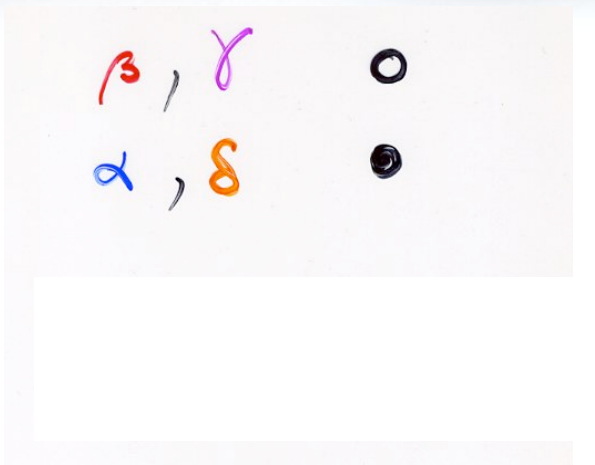
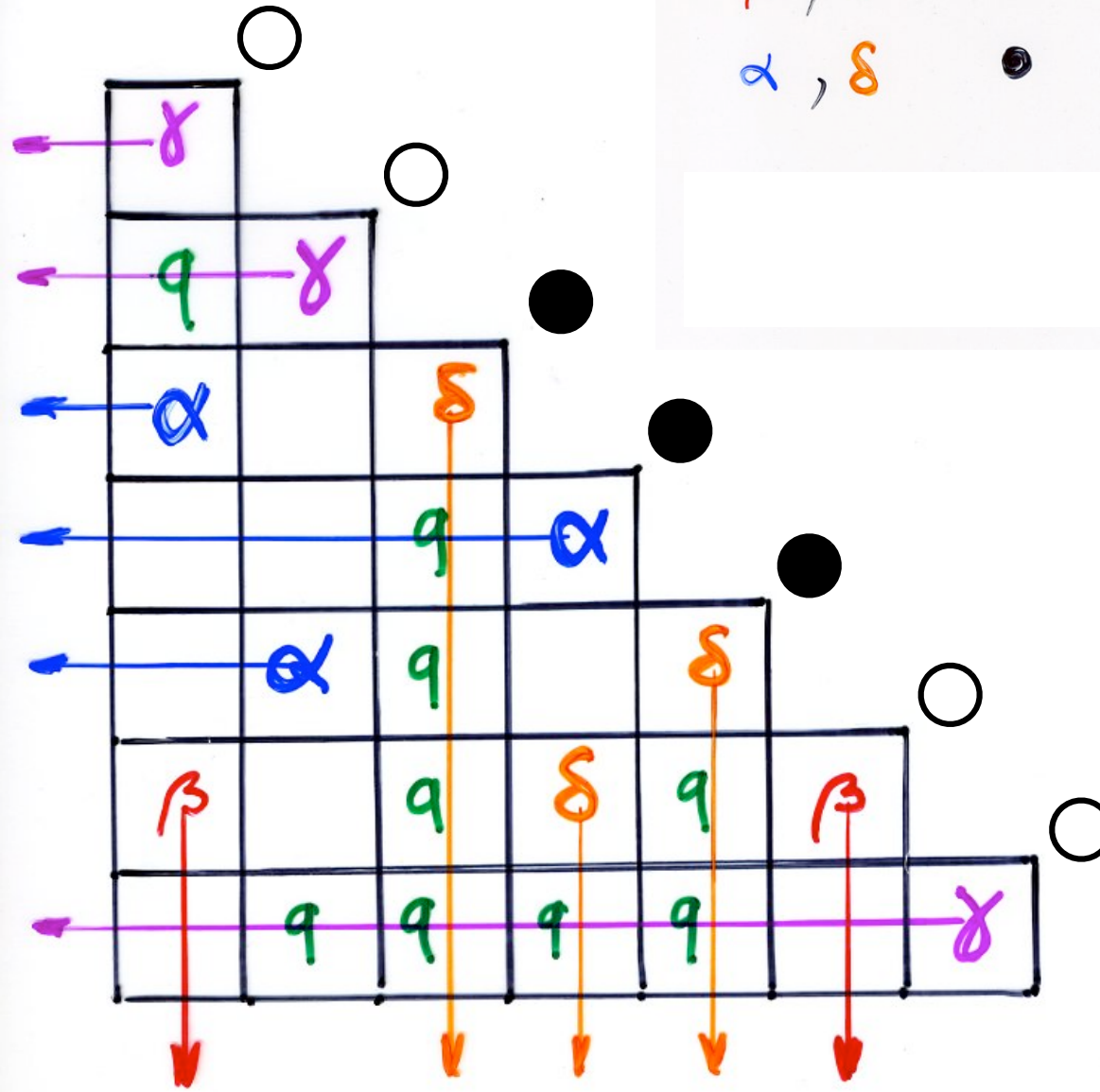


$$\text{nb of staircase} \\ \text{tableaux} = 4^n \cdot n!$$

staircase

tableaux





steady state  
probability  
PASEP

$$\frac{1}{Z_n} Z_\tau (\alpha, \beta, \gamma, \delta; q)$$

$$Z_n = \sum_{\tau} Z_\tau$$

$\tau = (\tau_1, \dots, \tau_n)$   
state

relation with moments of Askey-Wilson polynomials

Corteel, Williams, 2009

Corteel, Stanley, Stanton, Williams, 2010

# The cellular Ansatz

From quadratic algebra  $Q$   
to combinatorial objects ( $Q$ -tableaux)  
and bijections

# "The cellular Ansatz"

Physics

"normal ordering"

$$UD = DU + \text{Id}$$

Weyl-Heisenberg

$$DE = qED + E + D$$

PASEP

quadratic algebra  $Q$

commutations

rewriting rules

planarisation

combinatorial  
objects  
on a 2d lattice

representation  
by operators

bijections

towers placements

permutations

alternative tableaux

RSK

pairs of Tableaux Young

permutations

Laguerre histories

$Q$ -tableaux

ex: ASM,

(alternating sign matrices)

FPL(fully packed loops)

tilings, 8-vertex

?

planar  
automata

Koszul algebras  
duality

# website Xavier Viennot

main website [www.xavierviennot.org](http://www.xavierviennot.org)

page «exposés»:

**The combinatorics of some exclusion model in physics**

IIT Madras (Indian Institute of Technology), March 2, 2012      slides (14,7 Mo)

secondary website: Courses [cours.xavierviennot.org](http://cours.xavierviennot.org)

- course IIT Bombay 2013 (20 hours)

Thank you !

Genocchi sequence  
of a permutation

Def- Genocchi sequence of a permutation

$$\sigma = \sigma(1) \dots \sigma(n)$$

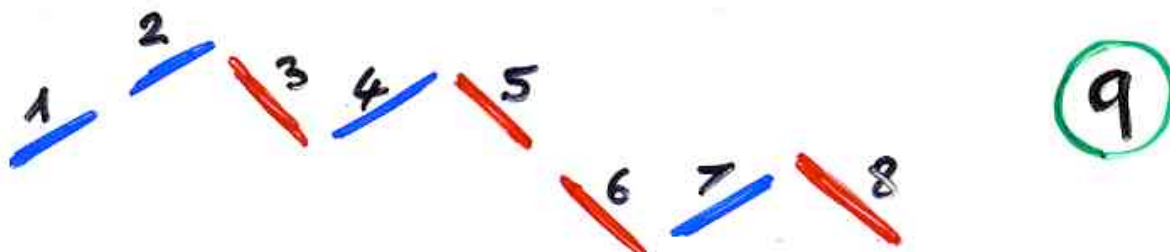
$$G(\sigma) = z_1 \dots z_{n-1}$$

$$z_x = \begin{cases} a & (\text{ascent}) \\ d & (\text{descent}) \end{cases} \quad x = \sigma(i) \quad \begin{matrix} \text{"value"} & \text{"index"} \end{matrix} \quad \begin{matrix} < \sigma(i+1) \\ > \sigma(i+1) \end{matrix}$$

$1 \leq x \leq n-1$

convention :  $\sigma(n+1) = 0$       ( $\sigma(n)$  is a descent)

ex :  $\sigma = (8 \textcolor{red}{\cancel{5}} \textcolor{blue}{\cancel{3}} \textcolor{red}{\cancel{2}} \textcolor{blue}{\cancel{7}} \textcolor{blue}{\cancel{9}} \textcolor{black}{1} \textcolor{blue}{\cancel{4}} \textcolor{red}{\cancel{6}})$

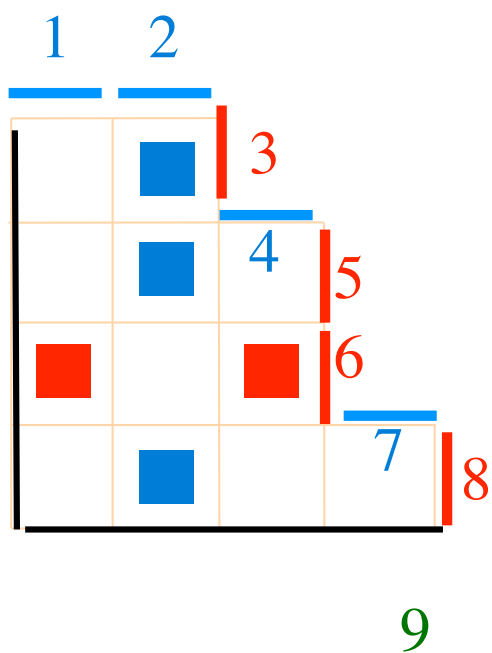


## $\sigma$ permutation

(valeur)  $x \begin{cases} \text{avance} \\ \text{recul} \end{cases}$ ssi (indice)  $x \begin{cases} \text{montée} \\ \text{descente} \end{cases}$

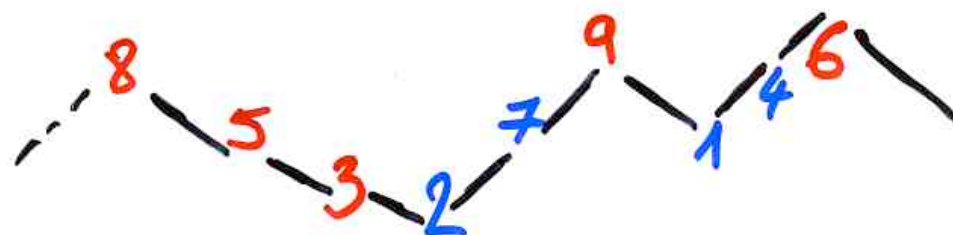
$$\begin{aligned}\sigma(x) &< \sigma(x+1) \\ \sigma(x) &> \sigma(x+1)\end{aligned}$$

convention :  $\sigma(n)$  descente



$$\sigma = (1 \ 2 \ 3 \ 4 \ 5 \ 6 \ 7 \ 8 \ 9) \quad \begin{matrix} 1 & 2 & 3 & 4 & 5 & 6 & 7 & 8 & 9 \\ \cancel{7} & 4 & 3 & 8 & \cancel{2} & 9 & 5 & 1 & 6 \end{matrix}$$

$$\sigma^{-1} = (1 \ 2 \ 3 \ 4 \ 5 \ 6 \ 7 \ 8 \ 9) \quad \begin{matrix} 1 & 2 & 3 & 4 & 5 & 6 & 7 & 8 & 9 \\ 8 & 5 & 3 & 2 & 7 & 9 & 1 & 4 & 6 \end{matrix}$$



“Genocchi shape” of a permutation

alternating sequence      dadad...ada

Prop - (Dumont, 1974)

The nb of permutations on  $\{1, 2, \dots, 2n\}$  having an alternating Genocchi sequence is the Genocchi numbers  $G_{2n+2}$

nombres de Genocchi

$$G_{2n} = 2(2^{2n}-1) B_{2n}$$

Bernoulli

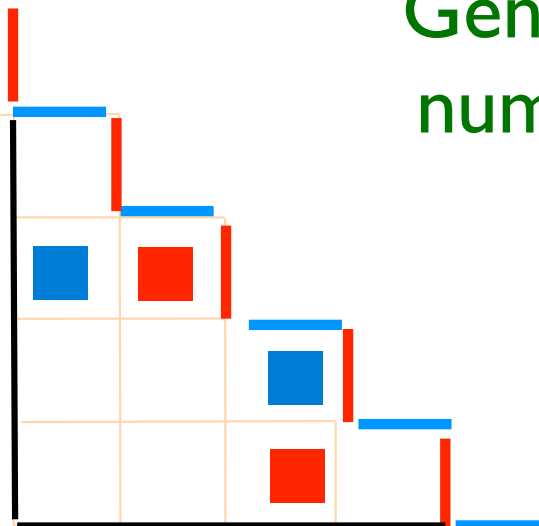
$$2^{2n} G_{2n+2} = (n+1) T_{2n+1}$$

nombres de  
Genocchi

$$G_{2n} = 2(2^{2n}-1) B_{2n}$$

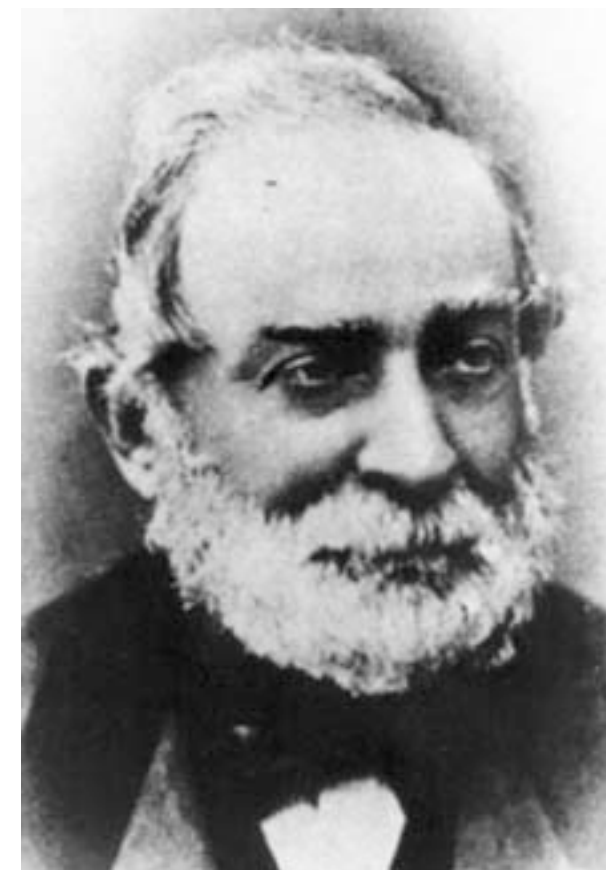
Bernoulli

$$2^{2n} G_{2n+2} = (n+1) T_{2n+1}$$



Genocchi  
numbers

alternating shape



Angelo Genocchi  
1817 - 1889

Hinc igitur calculo instituto reperietur:

$$A = 1$$

$$B = 1$$

$$C = 3$$

$$D = 17$$

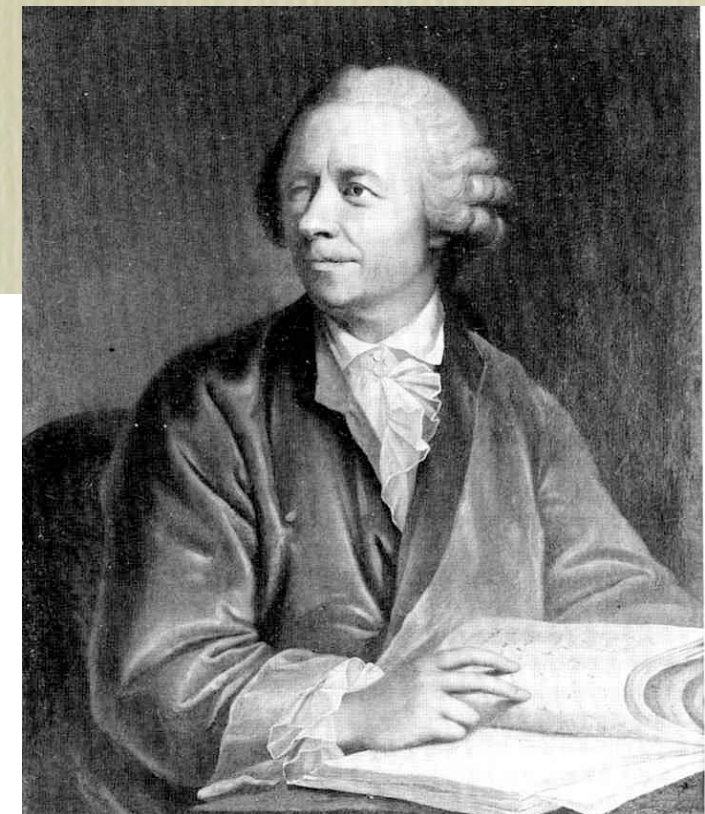
$$E = 155 = 5 \cdot 31$$

$$F = 2073 = 691 \cdot 3$$

$$G = 38227 = 7 \cdot 5461 = 7 \cdot \frac{127 \cdot 129}{3}$$

$$H = 929569 = 3617 \cdot 257$$

$$I = 28820619 = 43867 \cdot 9 \cdot 73 \quad \&c.$$



**BORDEAUX 1.** Le professeur Donald Knuth consacre sa vie à la programmation informatique, considérée comme un art. Il vient d'être sacré docteur honoris causa à Bordeaux

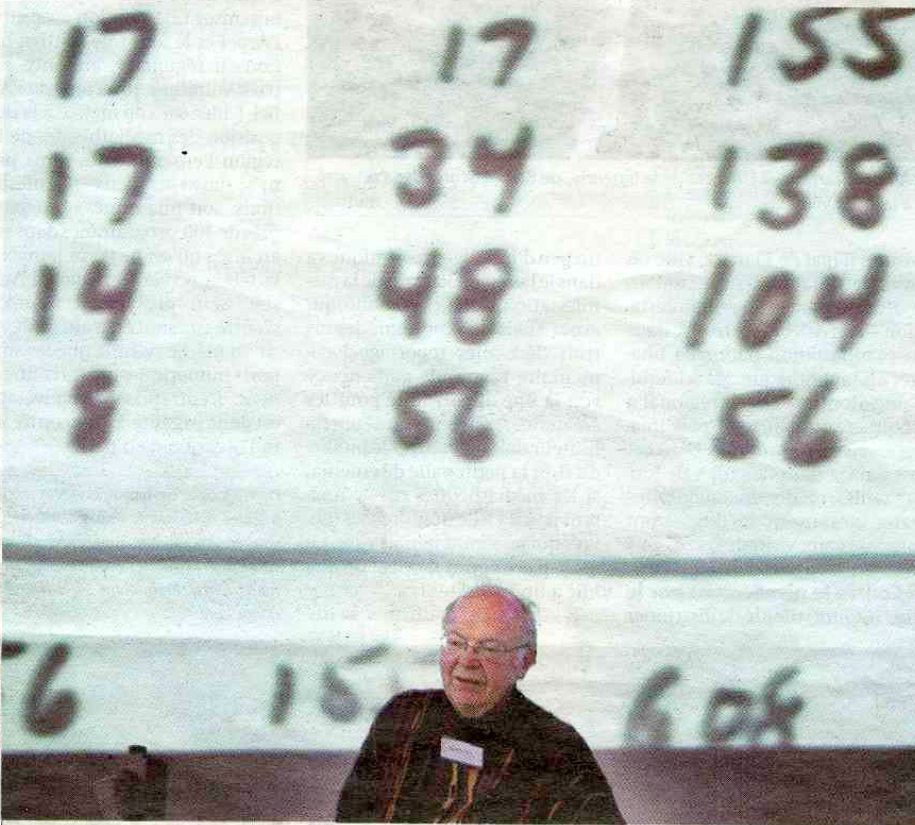
# L'ermite de l'informatique

par Bernard Broustet

**U**ne sommité de l'informatique mondiale a séjourné en Gironde ces derniers jours. Donald Knuth, 69 ans, a été sacré mardi docteur honoris causa de l'université Bordeaux 1, après avoir été lundi au centre d'une journée d'échanges qui réunissait une bonne partie du gratin français et européen de la recherche en informatique (1).

Depuis son premier contact, il y a un demi-siècle, avec un monumental et dinosaure IBM 650, Donald Knuth n'a cessé d'être habité par la passion de l'informatique. Physicien, puis mathématicien de formation, ce géant affable et modeste a voué sa vie à ce qu'il appelle « l'art de la programmation informatique ». Car, à ses yeux, plus qu'une technique, c'est une forme d'activité qui requiert à la fois rigueur, intuition et sens esthétique. Les programmes informatiques réussis ont une sorte de beauté à laquelle même les non-spécialistes peuvent être sensibles.

**Une encyclopédie.** Au long de sa carrière académique (pour l'essentiel à l'université californienne de Stanford), Donald Knuth a fait preuve d'une grande fécondité, en jouant notamment un rôle essentiel dans le développement de langages toujours utilisés par la communauté des mathématiciens. Mais, à 55 ans, le professeur Knuth a décidé de prendre sa retraite de Stanford. Il trouve que les fonctions administratives sont trop absorbantes pour lui permettre de mener à bien l'œuvre entamée à la fin des années 60 sous le titre de « Art of computer programming », sorte d'encyclopédie de l'algorithme et de la programmation informatique.



Donald Knuth, à Bordeaux, le 29 octobre. À 69 ans, il animait une journée d'échanges avec le gratin européen de la recherche en informatique

PHOTO LAURENT THEILLET

que. Donald Knuth a publié, il y a quelque temps déjà, les trois premiers volumes de cette gigantesque somme, traduite en russe, en japonais, en polonais, etc. mais pas en français. Le quatrième tome est pour bientôt. Et Donald Knuth se dit décidé à poursuivre sa tâche tant qu'il en aura la force. Ses ouvrages, dont les ventes cumulées au fil des ans approchent le million d'exemplaires, visent essentiellement les informaticiens et créateurs de programmes. Une communauté cer-

tes minoritaire à travers le monde, mais qui se trouve investie d'une mission considérable. En quelques décennies, l'écriture informatique a aidé à résoudre d'innombrables problèmes. « Mais il y en a tant d'autres qui attendent des solutions, notamment dans le domaine médical », affirme le professeur émérite de Stanford.

**Un chèque de 2,56 dollars.** Pour mener à bien sa tâche, Donald Knuth s'est imposé une vie

écrive par courrier ordinaire ou par fax, dont il prend parfois connaissance avec des mois de retard. Il s'oblige, en revanche, à tenir aussi scrupuleusement que possible sa promesse d'envoyer un chèque de 2,56 dollars à tout lecteur ayant détecté une erreur dans un de ses livres. Par ailleurs, pour se détendre, il pratique l'orgue, appris dans sa prime jeunesse auprès de son père qui partagea sa vie entre la musique et l'enseignement.

**L'orgue de Sainte-Croix.** Donald Knuth n'est pas fermé aux choses de ce monde. Sur son site Internet, à la rubrique « Questions qui ne me sont pas fréquemment posées », il demande entre autres : « Pourquoi mon pays a-t-il le droit d'occuper l'Irak ? ». « Pourquoi mon pays ne soutient-il pas une Cour internationale de justice ? » Mais cet homme de conscience ne se veut pas militant, pas plus qu'il n'aspire au vedettariat et à la richesse. « Beaucoup de gens, dit-il, ont tendance à considérer que l'informatique, c'est surtout des histoires de business, d'entreprise. Ce n'est pas mon cas. » Sortant de sa semi-reclusion, Donald Knuth s'est donc laissé convaincre d'accepter les hommages de l'université de Bordeaux, après celles de Harvard, d'Oxford, de Tübingen. Il a eu le coup de foudre pour la beauté et l'agrément de la ville. Et il n'oubliera sans doute pas de sitôt l'orgue illustre de l'église Sainte-Croix (2), sur lequel il a eu le honneur d'exercer son talent.

(1) Ces journées étaient organisées par le Laboratoire bordelais de recherche en informatique (Labri).

(2) Thierry Semenoux, professeur d'orgue au conservatoire de Bordeaux, a joué dans ce domaine un rôle de cicéronne auprès de Donald Knuth.